

П-168

АЗӘРБАЙЧАН ССР ЕЛМЛӘР АКАДЕМИЈАСЫ
АКАДЕМИЯ НАУК АЗЕРБАЙДЖАНСКОЙ ССР

МӘРУЗӘЛӘР ДОКЛАДЫ

ТОМ ХХ ЧИЛД

4

АЗӘРБАЙЧАН ССР ЕЛМЛӘР АКАДЕМИЈАСЫ НӘШРИЈАТЫ
ИЗДАТЕЛЬСТВО АКАДЕМИИ НАУК АЗЕРБАЙДЖАНСКОЙ ССР

Бакы—1964—Баку

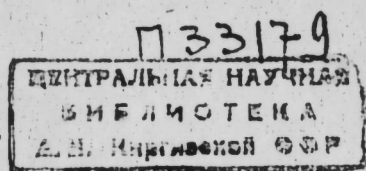
П-168

АЗЭРБАЙЧАН ССР ЕЛМЛЭР АКАДЕМИЯСЫ
АКАДЕМИЯ НАУК АЗЕРБАЙДЖАНСКОЙ ССР

МЭ'РҮЗЭЛЭР ДОКЛАДЫ

ТОМ ХХ ЧИЛД

№ 4



АЗЭРБАЙЧАН ССР ЕЛМЛЭР АКАДЕМИЯСЫ НЭШРИЈАТЫ
ИЗДАТЕЛЬСТВО АКАДЕМИИ НАУК АЗЕРБАЙДЖАНСКОЙ ССР
БАКЫ—1964—БАКУ

С. Я. ЯКУЗОВ

ИССЛЕДОВАНИЕ ЗАДАЧИ КОШИ ДЛЯ ЭВОЛЮЦИОННЫХ
УРАВНЕНИЙ ГИПЕРБОЛИЧЕСКОГО ТИПА

(Представлено академиком АН Азербайджанской ССР З. И. Халиловым)

В статье исследуется уравнение

$$\frac{d^2u(t)}{dt^2} + Au(t) = f(t, u(t)) \quad (1)$$

с начальными условиями

$$u(0) = u_0, \quad u'(0) = u_1, \quad (2)$$

где $u(t)$ — искомая вектор-функция со значениями из банахова пространства E , A — замкнутый оператор в E .

Исследование задачи (1) — (2) проводится методом теории полугрупп [5]. Решением задачи (1) — (2) будем называть дважды непрерывно дифференцируемую на $[0, T]$ функцию $u(t)$, удовлетворяющую при каждом $t \in [0, T]$ уравнению (1) и начальным условиям (2) и обладающую, кроме того, тем свойством, что функции $Au(t)$ и $A^{1/2} \frac{du(t)}{dt}$ непрерывны на $[0, T]$. Под $A^{1/2}$ мы понимаем любой квадратный корень из оператора A , т. е. $A^{1/2} \cdot A^{1/2} = A$.

При помощи замены $V(t) = \frac{du(t)}{dt}$ и $W(t) = A^{1/2} u(t)$ задача (1) — (2) сводится к эквивалентной задаче первого порядка, которая в топологическом произведении $E^2 = E \times E$ записывается в виде

$$\frac{d\bar{U}(t)}{dt} + \bar{A} \bar{U}(t) = F(t, \bar{U}(t)), \quad (3)$$

$$\bar{U}(0) = \bar{U}_0,$$

где $\bar{U}(t) = \begin{pmatrix} W(t) \\ V(t) \end{pmatrix}$, $F(t, \bar{U}(t)) = \begin{pmatrix} 0 & -\frac{1}{2} W(t) \\ f(t, A^{-1/2} W(t)) \end{pmatrix}$, $\bar{U}_0 = \begin{pmatrix} A^{1/2} u_0 \\ u_1 \end{pmatrix}$

и

$$\bar{A} = \begin{pmatrix} 0 & -A^{1/2} \\ A^{1/2} & 0 \end{pmatrix}.$$

РЕДАКЦИОННАЯ КОЛЛЕГИЯ: З. И. Халилов (главный редактор), Ш. А. Азизбеков, В. Р. Волобуев, Д. М. Гусейнов, И. А. Гусейнов, М. А. Дадашзаде (зам. главного редактора), М. А. Далин, Ч. М. Джуварлы, С. М. Кулиев, М. Ф. Нагиев (зам. главного редактора), М. А. Топчибашев, Г. Г. Зейналов (ответственный секретарь).

Адрес: г. Баку, Коммунистическая, 10. Редакция «Докладов Академии наук Азербайджанской ССР».

Если $iA^{\frac{1}{2}}$ порождает группу ограниченных операторов в E , то можно показать, что \bar{A} тоже порождает группу ограниченных операторов в E^2 и имеет место формула

$$e^{-i\bar{A}} = \begin{pmatrix} \cos tA^{\frac{1}{2}}, & \sin tA^{\frac{1}{2}}, \\ -\sin tA^{\frac{1}{2}}, & \cos tA^{\frac{1}{2}} \end{pmatrix},$$

где $\cos tA^{\frac{1}{2}} = \frac{e^{itA^{\frac{1}{2}}} + e^{-itA^{\frac{1}{2}}}}{2}$, $\sin tA^{\frac{1}{2}} = \frac{e^{itA^{\frac{1}{2}}} - e^{-itA^{\frac{1}{2}}}}{2i}$.

Далее к задаче (3) применяются результаты работ [3, 6, 7].

1. Обозначим через S_0 некоторый шар пространства E с центром в $A^{\frac{1}{2}}u_0$.

Теорема 1. Пусть выполнены следующие условия.

1. Оператор $A^{\frac{1}{2}}$ действует в E , имеет всюду плотную область определения $D(A^{\frac{1}{2}})$ и существуют такие постоянные M и $\omega > 0$, что

$$\| [R(i\lambda, A^{\frac{1}{2}})]^n \| \leq \frac{M}{(|\lambda| - \omega)^n}$$

для всех действительных λ , удовлетворяющих неравенству $|\lambda| > \omega$, и для всех целых положительных n^* ;

2) $u_0 \in D(A)$, $u_1 \in D(A^{\frac{1}{2}})$;

3) Оператор $f(t, A^{-\frac{1}{2}}u)^{**}$ на $[0, T] \times S_0$ имеет непрерывные по совокупности переменных частные производные $f'_t(t, A^{-\frac{1}{2}}u)$ и $f'_u(t, A^{-\frac{1}{2}}u)$ (производная понимается в смысле Фреше), удовлетворяющие по и условию Липшица ($f'_t(t, A^{-\frac{1}{2}}u)$ — по норме пространства E , $f'_u(t, A^{-\frac{1}{2}}u)$ — по норме пространства линейных операторов над E).

Тогда существует и притом единственное решение задачи (1)–(2) на некотором отрезке $[0, t_0] \subset [0, T]$, которое может быть найдено методом последовательных приближений.

Замечание. Чтобы доказать нелокальную теорему существования, достаточно установить для решения $u(t)$ априорные оценки $\|A^{\frac{1}{2}}u(t)\| \leq C$ и $\|u'(t)\| \leq C$ на $[0, T]$.

2. Рассмотрим линейное неоднородное уравнение

$$\frac{d^2u(t)}{dt^2} + Au(t) + B(t)u(t) = f(t). \quad (4)$$

Теорема 2. Пусть выполнены условия 1) и 2) теоремы 1. Пусть оператор-функция $B(t)A^{-\frac{1}{2}}$ один раз сильно непрерывно дифференцируема. Пусть вектор-функция $f(t)$ непрерывно дифференцируема.

Тогда задача (4)–(2) имеет и притом единственное решение на $[0, T]$.

В [5] подробно исследована задача Коши для уравнения

$$\frac{d^2u(t)}{dt^2} + Au(t) = f(t), \quad (5)$$

* Условие (1) является необходимым и достаточным условием для того, чтобы $iA^{\frac{1}{2}}$ порождал группу ограниченных операторов [5].

** Предположение обратимости A не ограничивает общности, так как общий случай сводится к первому.

при $f(t) \equiv 0$. Следующая теорема является аналогом теоремы 23.9.4 из [5].

Теорема 3. Пусть выполнены следующие условия:

- 1) оператор A удовлетворяет условию 1) теоремы 1;
- 2) $u_0 \in D(A)$, $u_1 \in D(A^{\frac{1}{2}}) \cap R(A^{\frac{1}{2}})$;

3) вектор-функция $f(t)$ непрерывно дифференцируема на $[0, T]$; существует хотя одна непрерывная вектор-функция $g(t)$, для которой $A^{\frac{1}{2}}g(t) = f(t)$.

Тогда решение задачи (5)–(2) существует и дается формулой:

$$u(t) = \cos tA^{\frac{1}{2}}u_0 + \sin tA^{\frac{1}{2}}z_1 + \int_0^t \sin(t-\tau)A^{\frac{1}{2}}g(\tau)d\tau, \quad (6)$$

где z_1 — любой элемент банахова пространства E , удовлетворяющий условию $A^{\frac{1}{2}}z_1 = u_1$.

3. В качестве приложения рассмотрим в пространстве $L_2(\Omega)$ первую краевую задачу для уравнения гиперболического типа

$$\frac{\partial^2 u(t, x)}{\partial t^2} + L(x, D)u(t, x) = f(t, x, u, D_x u, \dots, D_x^n u) \quad (7)$$

при граничных условиях

$$u \Big|_{\Gamma} = \frac{\partial u}{\partial n} \Big|_{\Gamma} = \dots = \frac{\partial^{m-1} u}{\partial n^{m-1}} \Big|_{\Gamma} = 0 \quad (8)$$

и начальных условиях

$$u|_{t=0} = u_0(x), \quad u'|_{t=0} = u_1(x). \quad (9)$$

Здесь

$$L(x, D)u(x) = (-1)^m \sum_{|\alpha|, |\beta| < m} D^\alpha A^{\beta}(x) D^\beta u(x)$$

эллиптический, (т. е. $\sum_{|\alpha|, |\beta| = m} A^{\beta}(x) \xi^\beta \geq \alpha \sum_k \xi_k^m, \alpha > 0$) симметричный (по Лагранжу) оператор;

$\kappa \leq m-n$, если число пространственных переменных $2n-1$ и $n \leq m$; Если же число пространственных переменных $2n$ и $n < m$, то $\kappa \leq m-n-1$.

Применяя результаты работ [1, 2, 4], а также теоремы этой статьи, доказывается существование и единственность решения задачи (7)–(8)–(9), если функция $f(t, x, v_0, v_1, \dots, v_s)$ имеет производные по t и v_i ($i=0, s$), непрерывные в топологическом произведении $[0, T] \times \bar{\Omega} \times \Delta (|v| \leq R)$, (R — любое положительное число) и удовлетворяющие по v_i ($i=0, s$) условию Липшица с константой, зависящей лишь от R .

ЛИТЕРАТУРА

1. Глушко В. П. Крейн С. Г. ДАН СССР, 1958, т. 122, № 6. 2. Гусева О. В. ДАН СССР, 1955, т. 102, № 6. 3. Красносельский М. А., Крейн С. Г., Соболевский П. Е. ДАН СССР, 1956, 111, № 1–4. Ладыженская О. А. ДАН СССР, 1951, т. 79, № 5. 5. Хилле Э., Филипс Р. Функциональный анализ и полугруппы, ИЛ, 1962. 6. Като Т. Journ. Math. Soc. Japan, 5, № 2, 1953. 7. Phillips R. S. Trans. of the Am. Math. Soc., 74, № 2, 1953.

Институт математики и механики

Поступило 29. II 1964

*) В частности, из формулы (6) можно получить известную формулу Даламбера:

$$u(t, x) = \frac{u_0(x+t) + u_0(x-t)}{2} + \frac{1}{2} \int_{x-t}^{x+t} u_1(y) dy + \frac{1}{2} \int_{x-t}^t \int_{x-t+\tau}^t f(\tau, y) dy d\tau,$$

которая представляет собой решение задачи Коши для неоднородного волнового уравнения.

ХҮЛАСӘ

Мәгәләдә E банах фәзасында

$$\frac{d^2u(t)}{dt^2} + Au(t) = f(t, u(t))$$

мәсәләси тәдгиг едилүү, нарадакы A банах фәзасында гапалы опера тордур. $V(t) = \frac{du}{dt}$ вә $W(t) = A^{1/2}u(t)$ өвөзләмәси васитәсилэ (1)–(2) мәсәләси $E \times E$ топологи ясасында

$$\begin{aligned} \frac{d\bar{u}}{dt} + \bar{A}\bar{u} &= F(t, \bar{u}) \\ \bar{u}(0) &= \bar{u}_0, \end{aligned} \quad (3)$$

мәсәләсүнә кәтирилир. $iA^{1/2}$ оператору E фәзасында груп јарадыра, көстәрилир ки, \bar{A} оператору $E \times E$ фәзасында груп јарадыр. (3) мәсәләсүнә мә'лүм тәдгигаттарын иәтичәләри тәтбиг едилмәклә, (1)–(2) мәсәләси өјрәнилир. Алынан абстракт иәтичәләр $L_2(\Omega)$ фәзасында квазихатты ниперболик тип тәнлик үчүн гојулмуш биринчи сәрһәд мәсәләсүн өјрәнмәк үчүн тәтбиг едилүү.

МАТЕМАТИКА

С. Х. ШАТАШВИЛИ

ПРОСТРАНСТВЕННАЯ ОСНОВНАЯ СМЕШАННАЯ ЗАДАЧА
ТЕОРИИ УСТАНОВИВШИХСЯ УПРУГИХ КОЛЕБАНИЙ¹

(Представлено академиком АН Азербайджанской ССР З. И. Халиловым)

§ 1. Как известно, дифференциальные уравнения установившихся колебаний упругой среды имеют вид

$$\begin{aligned} \Delta\Phi + \kappa_1^2\Phi &= 0, \quad \Delta\Psi + \kappa_1^2\Psi = 0, \\ \Delta &= \frac{\partial^2}{\partial x^2} + \frac{\partial^2}{\partial y^2} + \frac{\partial^2}{\partial z^2}, \quad \kappa_1^2 = \frac{\omega^2\rho}{\lambda + 2\mu}, \quad \kappa_2^2 = \frac{\omega^2\rho}{\mu}, \end{aligned} \quad (1)$$

где $\Phi(x, y, z)$ и $\Psi(x, y, z)$ потенциалы соответственно продольного и поперечного колебаний, λ и μ —так называемые постоянные Ламе, ρ —плотность упругой среды,—не уменьшая общности, будем считать ее равной единице и наконец, ω —частота колебаний среды.

Обозначим через S простую замкнутую и достаточно гладкую поверхность, ограничивающую конечную область T . Начало декартовой системы координат возьмем в точке границы, обозначаемой ниже через $Q_0(\xi_0, \eta_0, \zeta_0)$; ось O_z совместим с направлением внешней нормали к поверхности S в этой точке. При этом, оси абсцисс и ординат будут расположены в касательной плоскости к поверхности S в той же точке. Допустим, что поверхность S состоит из двух каких-либо частей S_1 и S_2 так, что $S = S_1 + S_2 + L$, где достаточно гладкая кривая L является общей границей открытых поверхностей S_1 и S_2 .

Рассматриваемая задача состоит в отыскании решения уравнений (1) при условии, что на одной части поверхности S , например на S_1 , задан вектор внешнего напряжения, а на другой ее части—на S_2 —вектор смещения.

Согласно изложенному отыскиваемое решение уравнений (1) должно удовлетворять на границе S следующим краевым условиям²:

$$\chi_1 \left(2 \frac{\partial^2 \Phi}{\partial \xi_0 \partial \zeta_0} - \frac{\partial^2 \Psi_1}{\partial \xi_0 \partial \eta_0} + \frac{\partial^2 \Psi_2}{\partial \xi_0^2} - \frac{\partial^2 \Psi_2}{\partial \zeta_0^2} + \frac{\partial^2 \Psi_3}{\partial \eta_0 \partial \zeta_0} \right) +$$

¹ Настоящая работа была доложена на объединенном заседании кафедр Высшей математики и теоретической механики ГПИ им. В. И. Ленина в октябре 1963 г.

² Через Ψ_i ($i=1, 2, 3$) обозначены проекции вектора $\vec{\Psi}(x, y, z)$ соответственно по координатным осям x , y и z .

$$\begin{aligned}
& + \chi_2 \left(\frac{\partial \Phi}{\partial \xi_0} + \frac{\partial \Psi_3}{\partial \eta_0} - \frac{\partial \Psi_2}{\partial \zeta_0} \right) = f_1(Q_0), \\
& \chi_1 \left(2 \frac{\partial^2 \Phi}{\partial \eta_0 \partial \xi_0} + \frac{\partial^2 \Psi_2}{\partial \xi_0 \partial \eta_0} + \frac{\partial^2 \Psi_1}{\partial \zeta_0^2} - \frac{\partial^2 \Psi_1}{\partial \eta_0^2} - \frac{\partial^2 \Psi_3}{\partial \xi_0 \partial \zeta_0} \right) + \\
& + \chi_2 \left(\frac{\partial \Phi}{\partial \eta_0} + \frac{\partial \Psi_1}{\partial \xi_0} - \frac{\partial \Psi_3}{\partial \zeta_0} \right) = f_2(Q_0), \\
& \chi_1 \left\{ 2 \left(\frac{\partial^2 \Phi}{\partial \zeta_0^2} + \frac{\partial^2 \Psi_2}{\partial \xi_0 \partial \eta_0} - \frac{\partial^2 \Psi_1}{\partial \eta_0 \partial \zeta_0} \right) + (2\kappa_1^2 - \kappa_2^2)\Phi \right\} + \\
& + \chi_2 \left(\frac{\partial \Phi}{\partial \zeta_0} + \frac{\partial \Psi_2}{\partial \xi_0} - \frac{\partial \Psi_1}{\partial \eta_0} \right) = f_3(Q_0),
\end{aligned} \tag{2}$$

где χ_1 и χ_2 суть разрывные функции точек $Q_0(\xi_0, \eta_0, \zeta_0)$ поверхности S и равны

$$\chi_1 = \begin{cases} 1, & \text{если } Q \in S_1, \\ 0, & \text{если } Q \in S_2, \end{cases} \quad \chi_2 = \begin{cases} 0, & \text{если } Q_0 \in S'_1, \\ 1, & \text{если } Q_0 \in S'_2, \end{cases}$$

$f_i(Q_0)$ ($i=1, 2, 3$) заданные функции непрерывные в смысле Гельдера будут принимать задаваемые значения внешнего напряжения или смещения в зависимости от того, принадлежит точка $Q_0(\xi_0, \eta_0, \zeta_0)$ части поверхности S_1 или S_2 .

Ниже, следуя способу, предложенному Д. И. Шерманом [1], и учитывая результаты, содержащиеся в статьях [2, 3, 4], наряду с некоторыми другими дополнительными соображениями, мы строим элементарную систему решений (систему потенциалов), приводящую задачу (1) и (2) к системе сингулярных интегральных уравнений для поверхности с краями. Теория такой системы сингулярных интегральных уравнений с достаточной полнотой разработана в трудах А. В. Бицадзе [5], С. Г. Михлина [6] и Т. Г. Гегелия [7].

§ 2. Решение граничной задачи (1) и (2) будем искать в следующем виде:

$$\begin{aligned}
\Phi(x, y, z) = & \frac{A}{2\pi} \int \int \left[\left\{ \frac{\partial f^{(1)}(R)}{\partial x} - \frac{\partial J_1}{\partial x} \right\} \mu_1(Q) + \left\{ \frac{\partial f^{(1)}(R)}{\partial y} - \frac{\partial J_1}{\partial y} \right\} \mu_2(Q) + \right. \\
& + \left. \left\{ \frac{\partial f^{(1)}(R)}{\partial z} + \frac{\partial J_1}{\partial z} \right\} \mu_3(Q) \right] dS + \frac{1}{2\pi} \int \int \left[\left\{ A_1 \frac{\partial^2 f^{(1)}(R)}{\partial x \partial z} + \frac{\partial^2 J_3}{\partial x \partial z} \right\} \mu_1(Q) + \right. \\
& + \left. \left\{ A_1 \frac{\partial^2 f^{(1)}(R)}{\partial y \partial z} + \frac{\partial^2 J_3}{\partial y \partial z} \right\} \mu_2(Q) + \left\{ A_1 \frac{\partial^2 f^{(1)}(R)}{\partial z^2} + f^{(1)}(R) \right\} \mu_3(Q) \right] dS, \\
\Psi_1(x, y, z) = & \frac{A}{2\pi} \int \int \left\{ \frac{\partial f^{(2)}(R)}{\partial z} \mu_2(Q) - \frac{\partial f^{(2)}(R)}{\partial y} \mu_3(Q) \right\} dS - \\
& - \frac{A_1}{2\pi} \int \int \left[\frac{\partial^2 f^{(2)}(R)}{\partial x \partial y} \mu_1(Q) + \left\{ \frac{\partial^2 f^{(2)}(R)}{\partial y^2} + \kappa_1^2 f^{(2)}(R) \right\} \mu_2(Q) + \frac{\partial^2 f^{(2)}(R)}{\partial y \partial z} \mu_3(Q) \right] dS,
\end{aligned}$$

$$\Psi_2(x, y, z) = \frac{A}{2\pi} \int \int \left[\left\{ \frac{\partial f^{(2)}(R)}{\partial x} \mu_3(Q) - \frac{\partial f^{(2)}(R)}{\partial z} \mu_1(Q) \right\} dS + \right. \tag{3}$$

$$\left. + \frac{A_1}{2\pi} \int \int \left[\left\{ \frac{\partial^2 f^{(2)}(R)}{\partial x^2} + \kappa_1^2 f^{(2)}(R) \right\} \mu_1(Q) + \frac{\partial^2 f^{(2)}(R)}{\partial x \partial y} \mu_2(Q) + \frac{\partial^2 f^{(2)}(R)}{\partial x \partial z} \mu_3(Q) \right] dS \right]$$

$$\begin{aligned}
\Psi_3(x, y, z) = & \frac{A}{2\pi} \int \int \left[\left\{ \frac{\partial f^{(2)}(R)}{\partial y} - 2 \frac{\partial J_2}{\partial y} \right\} \mu_1(Q) - \left\{ \frac{\partial f^{(2)}(R)}{\partial x} - 2 \frac{\partial J_2}{\partial x} \right\} \mu_2(Q) \right] dS + \\
& + \frac{1}{2\pi} \int \int \left[\left\{ \frac{\partial^2 J_4}{\partial y \partial z} \mu_1(Q) - \frac{\partial^2 J_4}{\partial x \partial z} \mu_2(Q) \right\} dS \right],
\end{aligned}$$

где $\mu_i(Q)$ ($i=1, 2, 3$) — неизвестные плотности, подлежащие определению, для краткости введены обозначения

$$f^{(1)}(R) = \frac{e^{ik_j R}}{R}, \quad J_j = \frac{\kappa_j^2}{2} \int_N^\infty \frac{J_0(r\rho) e^{z\sqrt{r^2 - \kappa_j^2}}}{\rho \sqrt{r^2 - \kappa_j^2}} d\rho, \quad (j=1, 2)$$

$$J_3 = \frac{1}{2}(2B_1 - 1) \int_N^\infty \frac{J_0(r\rho) e^{z\sqrt{r^2 - \kappa_1^2}}}{\rho \sqrt{r^2 - \kappa_1^2}} d\rho, \quad J_4 = (2B_1 - 1) \int_N^\infty \frac{J_0(r\rho) e^{z\sqrt{r^2 - \kappa_2^2}}}{\rho \sqrt{r^2 - \kappa_2^2}} d\rho, \quad (N > 0, Z > 0),$$

$$R = \sqrt{(x-\xi)^2 + (y-\eta)^2 + (z-\zeta)^2}, \quad r = \sqrt{(x-\xi)^2 + (y-\eta)^2}, \\
A = \frac{1}{\kappa_1^2 - \kappa_2^2}, \quad A_1 = \frac{2}{\kappa_1^2 - \kappa_2^2}, \quad B_1 = -\frac{\kappa_1^2 - \kappa_2^2}{\kappa_1^2 - \kappa_2^2},$$

$J_0(r\rho)$ — функция Бесселя первого рода нулевого порядка; при этом $Q(\xi, \eta, \zeta)$ — переменная точка, принадлежащая поверхности S .

Очевидно, функции (3) являются однозначными решениями уравнений (1).

Подставим функции (3) в граничные условия (2), и затем устремим $P(x, y, z)$ к некоторой точке $Q_0(\xi_0, \eta_0, \zeta_0)$ поверхности S (не принадлежащей кривой L), используя далее известные в теории потенциала формулы предельного перехода, получим после некоторых вычислений и элементарных упрощений следующую систему сингулярных интегральных уравнений:

$$\begin{aligned}
& \beta_j \mu_j(Q_0) + \sum_{l=1}^3 \int \int \left[K_l^{(j)}(Q; Q_0) + R_l^{(j)}(Q; Q_0; \omega) \right] \mu_l(Q) dS + \\
& + \sum_{l=1}^3 \int \int D_l^{(j)}(Q; Q_0; \omega) \mu_l(Q) dS = f_j(Q_0), \quad (j=1, 2, 3)
\end{aligned} \tag{4}$$

где $R_l^{(j)}(Q; Q_0; \omega)$ и $D_l^{(j)}(Q; Q_0; \omega)$ ($l, j=1, 2, 3$) ядра типа Фредгольма соответственно на поверхностях S_2 и S_1 , и, кроме того, целые функции параметра ω (не представляет труда выписать их значения); ядра же $K_l^{(j)}(Q; Q_0)$ ($l, j=1, 2, 3$) имеют вид

$$\begin{aligned}
K_1^{(j)}(Q; Q) &= \frac{3}{R_0} \frac{\partial R_0}{\partial \xi_0} \left\{ 1 + 3B_1 - 10B_1 \left(\frac{\partial R_0}{\partial \xi_0} \right)^2 \right\} \frac{d}{dn} \frac{1}{R_0}, \\
K_2^{(j)}(Q; Q_0) &= -\frac{30B_1}{R_0} \frac{\partial R_0}{D\xi_0} \frac{\partial R_0}{\partial \eta_0} \frac{\partial R_0}{\partial \zeta_0} \frac{d}{dn} \frac{1}{R_0}, \\
K_3^{(j)}(Q; Q_0) &= \frac{3}{R_0} \frac{\partial R_0}{\partial \xi_0} \frac{\partial R_0}{\partial \xi_0} \left\{ (\kappa_2^2 A_1 + 4B_1) - 10B_1 \left(\frac{\partial R_0}{\partial \xi_0} \right)^2 \right\} \frac{d}{dn} \frac{1}{R_0} + \kappa_2^2 A_1 \frac{\partial}{\partial \xi_0} \frac{1}{R_0}, \\
K_1^{(2)}(Q; Q_0) &= -\frac{30B_1}{R_0} \frac{\partial R_0}{\partial \xi_0} \frac{\partial R_0}{\partial \eta_0} \frac{\partial R_0}{\partial \zeta_0} \frac{d}{dn} \frac{1}{R_0}, \\
K_2^{(2)}(Q; Q_0) &= \frac{3}{R_0} \frac{\partial R_0}{\partial \zeta_0} \left\{ 1 + 3B_1 - 10B_1 \left(\frac{\partial R_0}{\partial \eta_0} \right)^2 \right\} \frac{d}{dn} \frac{1}{R_0}, \\
K_3^{(2)}(Q; Q_0) &= \frac{3}{R_0} \frac{\partial R_0}{\partial \eta_0} \left\{ \kappa_2^2 A_1 + 4B_1 - 10B_1 \left(\frac{\partial R_0}{\partial \zeta_0} \right)^2 \right\} \frac{d}{dn} \frac{1}{R_0} + \kappa_2^2 A_1 \frac{\partial}{\partial \eta_0} \frac{1}{R_0}, \\
K_1^{(3)}(Q; Q_0) &= \frac{3}{R_0} \frac{\partial R_0}{\partial \xi_0} \left\{ (2\kappa_1^2 - \kappa_2^2) A_1 + 4B_1 - 10B_1 \left(\frac{\partial R_0}{\partial \xi_0} \right)^2 \right\} \frac{d}{dn} \frac{1}{R_0} + B_1 \frac{\partial}{\partial \xi_0} \frac{1}{R_0}, \\
K_2^{(3)}(Q; Q_0) &= \frac{3}{R_0} \frac{\partial R_0}{\partial \eta_0} \left\{ (2\kappa_1^2 - \kappa_2^2) A_1 + 4B_1 - 10B_1 \left(\frac{\partial R_0}{\partial \eta_0} \right)^2 \right\} \frac{d}{dn} \frac{1}{R_0} + B_1 \frac{\partial}{\partial \eta_0} \frac{1}{R_0}, \\
K_3^{(3)}(Q; Q_0) &= \frac{6}{R_0} \frac{\partial R_0}{\partial \zeta_0} \left(5B_1 - \kappa_1^2 A_1 - 5B_1 \frac{\partial R_0}{\partial \zeta_0} \right) \frac{d}{dn} \frac{1}{R_0}, \\
\beta_1 &= \begin{cases} \frac{2\mu}{\lambda+2\mu}, & \text{если } Q_0 \in S_2, \\ 1, & \text{если } Q_0 \in S_1, \end{cases} \quad \beta_2 = \begin{cases} \frac{2(\lambda+2\mu)}{\lambda+3\mu}, & \text{если } Q_0 \in S_2, \\ 1, & \text{если } Q_0 \in S_1, \end{cases} \\
\beta_3 &= \begin{cases} -\frac{\lambda+3\mu}{\lambda+\mu}, & \text{если } Q_0 \in S_2, \\ , & \text{если } Q_0 \in S_1, \end{cases} \quad R_0 = \sqrt{(\xi_0 - \xi)^2 + (\eta_0 - \eta)^2 + (\zeta_0 - \zeta)^2}.
\end{aligned}$$

Вообще говоря уравнения (4) образуют систему сингулярных интегральных уравнений на открытой поверхности S_2 , теория которой дана Т. Н. Гегелия [7].

Символический определитель упомянутой системы [6] имеет вид:

$$\begin{aligned}
\det \Delta &= \begin{vmatrix} \beta_1, & 0, & -2ik_2^2 A_1 \cos(x_i^a R_0) \\ 0, & \beta_2, & -2ik_2^2 A_1 \cos(y_i^a R_0) \\ -2iB_1 \cos(x_i^a R_0), & -2iB_1 \cos(y_i^a R_0), & \beta_3 \end{vmatrix} = \\
&= \frac{4(\lambda+\mu)(\lambda+2\mu)}{(\lambda+3\mu)^3} \left\{ 3\mu + 4(\lambda+\mu) \cos^2(x_i^a R_0) \right\} > 0.
\end{aligned} \tag{6}$$

Итак, символический определитель $\det \Delta \neq 0$. Отсюда вытекают следующие важные выводы:

1. Для системы интегральных уравнений (4) справедливы все теоремы Нетера.

2. Существует линейный оператор, приводящий систему (4) к уравнениям Фредгольма.

В дальнейшем нами будет продолжено исследование выведенной системы сингулярных интегральных уравнений.

ЛИТЕРАТУРА

1. Шерман Д. И. Изв. АН Арм. ССР*, 1963, XVI, 4. 2. Шаташвили С. Х. ДАН СССР*, 1950, т. XXI, № 2, 3. Шаташвили С. Х. ПММ, т. XV, вып. 5, 1951. 4. Шаташвили С. Х. Труды ГПИ*, 1962. 5. Бицадзе А. В. ДАН СССР*, 1953, 93, № 4. 6. Михлин С. Г. Многомерные сингулярные интегралы и интегральные уравнения. М., 1962. 7. Гегелия Т. Н. ДАН СССР*, 1961, т. 141, № 4.

Кафедра высшей математики
Груз. Политехн. ин-та им.
В. И. Ленина

Поступило 6. I 1964

С. Х. Шаташвили

Гәрарлашмыш еластики рәгс нәзәријәсинин әсас гарышыг фәза мәсәләси

ХУЛАСӘ

Мәгаләдә сәттинин бир һиссәсindә јердәйишмә вектору, дикәр һиссәсindә исә кәркинлик вектору верилмиш еластики мүһитин, гәрарлашмыш рәгсини характеристизә едән [1] тәнликләр системиниң һәллиңе баъхылыр.

Мәсәлә Д. И. Шерман үсулуна вә мүәллифин мә'лум нәтичәләриңе әсасланараq, Михлин вә Кекелија тәрәфидән өjrәнилмиш сингулар интеграл тәнликләр системинә кәтирилмишdir.

Нәтичәдә дә мә'лум олмушдур ки [4], интеграл тәнликләр системи үчүн Нетерин бүтүн теоремләри доғрудур вә елә бир хәтти оператор вардыр ки [4], систем тәнликләрини Фредгольм тәнликләринә кәтирир.

И. И. ИБРАГИМОВ

НЕРАВЕНСТВА ДЛЯ ЦЕЛЫХ ФУНКЦИЙ КОНЕЧНОЙ
СТЕПЕНИ В МЕТРИКЕ ОБОБЩЕННОГО ПРОСТРАНСТВА ЛЕБЕГА

Пусть p_1, \dots, p_n —различные числа, не меньшие единицы, и $\Lambda_{p_1, \dots, p_n}^{(n)}(R_n)$ —класс измеримых в евклидовом пространстве (R_n) функций $f(x_1, \dots, x_n)$, удовлетворяющих условиям:

$$\|f\|_{p_1, \dots, p_n}^{(n)} = \left\| \dots \left\{ \dots \left(\|f\|_{p_1} \dots \|_{p_k} \right) \dots \right\|_{p_n} \right\| < +\infty \quad (1)$$

В частности, в трехмерном случае, $\|f\|_{p_1, p_2, p_3}$ имеет вид:

$$\|f\|_{p_1, p_2, p_3}^{(3)} = \left\{ \int_{-\infty}^{\infty} \left[\int_{-\infty}^{\infty} \left(\int_{-\infty}^{\infty} |f(x_1, x_2, x_3)|^{p_1} dx_1 \right)^{p_2/p_1} dx_2 \right]^{p_3/p_2} dx_3 \right\}^{1/p_3} < +\infty \quad (2)$$

Очевидно, класс $\Lambda_{p_1, \dots, p_n}^{(n)}(R_n)$, называемый обобщенным классом Лебега совпадает с обычным классом $L_p^{(n)}(-\infty, \infty)$ при $p_1 = p_2 = \dots = p_n = p$.

Пусть p_1, p_2, \dots, p_n —различные числа, не меньшие единицы, и $W_{v_1, \dots, v_n}^{(p_1, \dots, p_n)}$ —означает класс целых функций $g(z_1, \dots, z_n)$ степени $\leq (v_1, \dots, v_n)$, принадлежащих пространству $\Lambda_{p_1, \dots, p_n}^{(n)}(R_n)$. Заметим, что в случае $p_1 = p_2 = \dots = p_n = p$ класс $W_{v_1, \dots, v_n}^{(p_1, \dots, p_n)}$ совпадает с классом $W_{v_1, \dots, v_n}^{(p)} (p \geq 1)$ (см. [1] стр. 38). В одномерном случае, для целых функций $g(z)$ из класса $W_v^{(p)} (p \geq 1)$ (см. [1] стр. 38) имеет место неравенство:

$$\|g(x)\|_p \leq \left(\frac{s^p}{\pi} \right)^{\frac{1}{p}} \|g\|_p, \quad (3)$$

где $1 \leq p < p^* \leq \infty$ и $s = \left[-\frac{p}{2} \right]$ —наименьшее целое число, не мень-

шее, чем $\frac{p}{2}$.

Неравенство (3) для тригонометрического полинома

$$T(x) = \sum_{k=-n}^n C_k e^{ikx}$$

порядка $\leq n$ имеет вид [2]:

$$\|T\|_{p^1} \leq \left(\frac{2sn+1}{2\pi} \right)^{\frac{1}{p} - \frac{1}{p^1}} \cdot \|T\|_p \quad (4)$$

где $s = \left[-\frac{p}{2} \right]$, $\|T\|_p = \left(\int_{-\infty}^{\infty} |T(x)|^p dx \right)^{1/p}$.

В многомерном случае, для целых функций $g(z_1, \dots, z_n) \in W_{v_1, \dots, v_n}^{(p)}$ и для тригонометрических полиномов $T_{n_1, \dots, n_k}(x_1, \dots, x_k)$ вместо неравенств (3) и (4) имеем, соответственно, неравенства (см. [3–4]):

$$\|g\|_{p^1}^{(n)} \leq \prod_{k=1}^n \left(\frac{s_k v_k}{\pi} \right)^{\frac{1}{p} - \frac{1}{p^1}} \cdot \|g\|_p^{(n)} \quad (5)$$

и

$$\|T_{n_1, \dots, n_k}\|_{p^1}^{(k)} \leq \prod_{j=1}^k \left(\frac{2sn_j+1}{2\pi} \right)^{\frac{1}{p} - \frac{1}{p^1}} \cdot \|T_{n_1, \dots, n_k}\|_p^{(k)}, \quad (6)$$

где $1 \leq p < p' \leq \infty$ являющиеся уточнением соответствующих неравенств С. М. Никольского [6].

Задача настоящей заметки* заключается в том, чтобы установить связь между различными нормами $\|g\|_{p_1, \dots, p_n}^{(n)}$ и $\|g\|_{p_1, \dots, p_n}^{(n)}$ целой функции $g(z_1, \dots, z_n)$ из класса $W_{v_1, \dots, v_n}^{(p_1, \dots, p_n)}$, где $p_1, \dots, p_n, p'_1, \dots, p'_n$ – различные числа, не меньшие единицы и $1 \leq p_k < p'_k \leq \infty$ ($k=1, 2, \dots, n$)

Теорема 1. Если p_1, p_2, \dots, p_n различные числа, не меньшие единицы, и целая функция $g(z_1, \dots, z_n)$ из класса $W_{v_1, \dots, v_n}^{(p_1, \dots, p_n)}$, то имеем:

$$\max_{-\infty < x_1, \dots, x_n < +\infty} |g(x_1, \dots, x_n)| \leq \prod_{k=1}^n \left(\frac{s_k v_k}{\pi} \right)^{\frac{1}{p_k}} \cdot \|g\|_{p_1, \dots, p_n}^{(n)}, \quad (7)$$

где $s_k = \left[-\frac{p_k}{2} \right]$ ($k=1, 2, \dots, n$) – наименьшее целое число, не меньшее, чем $p_{k/2}$.

Для простоты проведем доказательство в трехмерном случае ($n=3$). Применяя неравенство (3) при $p'=\infty$ к функции $g(z_1, z_2, z_3) \in W_{v_1, v_2, v_3}^{(p_1, p_2, p_3)}$ по одному из переменных, при фиксированных значениях остальных переменных, получим:

$$|g(x_1, x_2, x_3)| \leq \left(\frac{s_3 v_3}{\pi} \right)^{\frac{1}{p_3}} \left(\int_{-\infty}^{\infty} |g(x_1, x_2, x_3)|^{p_3} dx_3 \right)^{\frac{1}{p_3}} \quad (8)$$

$$|g(x_1, x_2, x_3)| \leq \left(\frac{s_2 v_2}{\pi} \right)^{\frac{1}{p_2}} \left(\int_{-\infty}^{\infty} |g(x_1, x_2, x_3)|^{p_2} dx_2 \right)^{\frac{1}{p_2}} \quad (9)$$

* Подобная задача в классе тригонометрических полиномов $T_{n_1, \dots, n_k}(x_1, \dots, x_k)$ рассмотрена нашим аспирантом Н. М. Сабзиевым.

$$|g(x_1, x_2, x_3)| \leq \left(\frac{s_1 v_1}{\pi} \right)^{\frac{1}{p_1}} \left(\int_{-\infty}^{\infty} |g(x_1, x_2, x_3)|^{p_1} dx_1 \right)^{\frac{1}{p_1}} \quad (10)$$

Из неравенств (8) и (9) следует, что

$$|g(x_1, x_2, x_3)| \leq \left(\frac{s_3 v_3}{\pi} \right)^{\frac{1}{p_3}} \left(\frac{s_2 v_2}{\pi} \right)^{\frac{1}{p_2}} \left\{ \int_{-\infty}^{\infty} \left[\int_{-\infty}^{\infty} |g|^{p_2} dx_2 \right]^{\frac{p_3}{p_2}} dx_3 \right\}^{\frac{1}{p_3}},$$

Отсюда и из неравенства (10) находим:

$$\begin{aligned} & |g(x_1, x_2, x_3)| \leq \\ & \leq \left(\frac{s_3 v_3}{\pi} \right)^{\frac{1}{p_3}} \left(\frac{s_2 v_2}{\pi} \right)^{\frac{1}{p_2}} \cdot \left(\frac{s_1 v_1}{\pi} \right)^{\frac{1}{p_1}} \cdot \left\{ \int_{-\infty}^{\infty} \left[\int_{-\infty}^{\infty} \left(\int_{-\infty}^{\infty} |g|^{p_1} dx_1 \right)^{\frac{p_2}{p_1}} dx_2 \right]^{\frac{p_3}{p_2}} dx_3 \right\}^{\frac{1}{p_3}}, \\ & |g(x_1, x_2, x_3)| \leq \\ & \leq \prod_{k=1}^3 \left(\frac{s_k v_k}{\pi} \right)^{\frac{1}{p_k}} \left\{ \int_{-\infty}^{\infty} \left[\int_{-\infty}^{\infty} \left(\int_{-\infty}^{\infty} |g(x_1, x_2, x_3)|^{p_1} dx_1 \right)^{\frac{p_2}{p_1}} dx_2 \right]^{\frac{p_3}{p_2}} dx_3 \right\}^{\frac{1}{p_3}}. \end{aligned}$$

Итак, неравенство (7) доказано.

Теорема 2. Если $g(z_1, \dots, z_n) \in W_{v_1, \dots, v_n}^{(p_1, \dots, p_n)}$ и $p_1 \geq p_2 \geq \dots \geq p_n \geq 1$, то справедливо неравенство

$$\|g(x_1, \dots, x_n)\|_{p_1, \dots, p_n}^{(n)} \leq \prod_{j=k+1}^m \left(\frac{v_j s_j}{\pi} \right)^{\frac{1}{p_j}} \cdot \|g(x_1, \dots, x_n)\|_{p_1, p_2, \dots, p_m}^{[m]} \quad (11)$$

при любых k и m , где $1 \leq k < m \leq n$, и

$$s_j = \left[-\frac{p_j}{2} \right] \quad (j=1, 2, \dots, n).$$

Доказательство. Мы ограничимся доказательством неравенства (11) в двух частных случаях, так как приведенное рассуждение остается в силе и в общем случае.

1) Пусть $k=1$ и $m=2$. Очевидно, в силу неравенства (9) имеем:

$$\begin{aligned} & \|g(x_1, \dots, x_n)\|_{p_1}^{(1)} = \left(\int_{-\infty}^{\infty} |g(x_1, \dots, x_n)|^{p_1} dx_1 \right)^{\frac{1}{p_1}} \leq \\ & \leq \left(\frac{v_2 s_2}{\pi} \right)^{\frac{1}{p_2}} \left(\int_{-\infty}^{\infty} \left[\int_{-\infty}^{\infty} |g(x_1, \dots, x_n)|^{p_2} dx_2 \right]^{\frac{p_1}{p_2}} dx_1 \right)^{\frac{1}{p_1}} \quad (12). \end{aligned}$$

Заметим, что для функции

$$\psi(x_1, \dots, x_n) = |g(x_1, \dots, x_n)|^{p_2}$$

в предположении, что $p' = \frac{p_1}{p_2}$ имеем место обобщенное неравенство Минковского:

$$\left(\int_{-\infty}^{\infty} \left[\int_{-\infty}^{\infty} \psi(x_1, \dots, x_n) dx_2 \right]^{p'} dx_1 \right)^{\frac{1}{p'}} \leq \int_{-\infty}^{\infty} \left[\int_{-\infty}^{\infty} |\psi|^{p'} dx_2 \right]^{\frac{1}{p'}} dx_1 \quad (13)$$

или

$$\left(\int_{-\infty}^{\infty} \left[\int_{-\infty}^{\infty} |g(x_1, \dots, x_n)|^{p_2} dx_2 \right]^{\frac{p_1}{p_2}} dx_1 \right)^{\frac{p_2}{p_1}} \leq \int_{-\infty}^{\infty} \left[\int_{-\infty}^{\infty} |g|^{p_1} dx_2 \right]^{\frac{p_2}{p_1}} dx_1$$

Благодаря этому, из неравенства (12) следует неравенство (11) при $k=1$ и $m=2$.

2) Пусть далее, $k=2$ и $m=3$. В этом случае, в силу (8) имеем:

$$\begin{aligned} \|g(x_1, \dots, x_n)\|_{p_1, p_2}^{(2)} &= \left(\int_{-\infty}^{\infty} \left[\int_{-\infty}^{\infty} |g(x_1, \dots, x_n)|^{p_1} dx_1 \right]^{\frac{p_2}{p_1}} dx_2 \right)^{\frac{1}{p_2}} \leq \\ &\leq \left(\frac{v_3 s_3}{\pi} \right)^{\frac{1}{p_2}} \left(\int_{-\infty}^{\infty} \left[\int_{-\infty}^{\infty} \left\{ \int_{-\infty}^{\infty} |g(x_1, \dots, x_n)|^{p_2} dx_3 \right\}^{\frac{p_1}{p_2}} dx_1 \right]^{\frac{p_2}{p_1}} dx_2 \right)^{\frac{1}{p_2}} \quad (14) \end{aligned}$$

Применяя обобщенное неравенство Минковского (13) к функции

$$\psi(x_1, \dots, x_n) = |g(x_1, \dots, x_n)|^{p_2},$$

при $p' = \frac{p_1}{p_3}$, находим:

$$\left(\int_{-\infty}^{\infty} \left\{ \int_{-\infty}^{\infty} |g(x_1, \dots, x_n)|^{p_2} dx_3 \right\}^{\frac{p_1}{p_3}} dx_1 \right)^{\frac{p_2}{p_1}} \leq \int_{-\infty}^{\infty} \left(\int_{-\infty}^{\infty} |g|^{p_1} dx_1 \right)^{\frac{p_2}{p_1}} dx_3$$

Благодаря этому, неравенство (14) примет вид:

$$\begin{aligned} \|g(x_1, \dots, x_n)\|_{p_1, p_2}^{(2)} &\leq \\ &\leq \left(\frac{v_3 s_3}{\pi} \right)^{\frac{1}{p_2}} \left(\int_{-\infty}^{\infty} \left[\int_{-\infty}^{\infty} \left\{ \int_{-\infty}^{\infty} |g(x_1, \dots, x_n)|^{p_1} dx_1 \right\}^{\frac{p_2}{p_1}} dx_3 \right]^{\frac{p_1}{p_3}} dx_2 \right)^{\frac{1}{p_2}}, \quad (15) \end{aligned}$$

Применяя еще раз неравенство (13) к функции

$$\psi(x_2, \dots, x_n) = \left(\int_{-\infty}^{\infty} |g(x_1, \dots, x_n)|^{p_1} dx_1 \right)^{\frac{p_2}{p_1}}$$

при $p' = \frac{p_2}{p_3}$ находим:

$$\begin{aligned} &\left(\int_{-\infty}^{\infty} \left[\int_{-\infty}^{\infty} \left\{ \int_{-\infty}^{\infty} |g|^{p_1} dx_1 \right\}^{\frac{p_2}{p_1}} dx_3 \right]^{\frac{p_2}{p_3}} dx_2 \right)^{\frac{1}{p_2}} \leq \\ &\leq \left(\int_{-\infty}^{\infty} \left[\int_{-\infty}^{\infty} \left\{ \int_{-\infty}^{\infty} |g|^{p_1} dx_1 \right\}^{\frac{p_2}{p_1}} dx_2 \right]^{\frac{p_2}{p_3}} dx_3 \right)^{\frac{1}{p_2}}. \end{aligned}$$

Благодаря этому, из неравенства (15) следует неравенство (11) при $k=2$ и $m=3$.

Наконец, для установления зависимости в виде неравенства между различными нормами $\|g\|_{p_1, \dots, p_n}^{(n)}$ и $\|g\|_{p_1, \dots, p_n}^{(n)}$, где $p_1, \dots, p_n, q_1, \dots, q_n$ — различные числа, не меньшие единицы и $p_k < q_k$ ($k=1, 2, \dots, n$), не уменьшая общности задачи, предположим, что $p_k > p_2 \geq \dots \geq p_1 > 1$.

Теорема 3. Если $p_1, p_2, \dots, p_n, q_1, \dots, q_n$ — различные числа, не меньшие единицы, $p_1 \geq p_2 \geq \dots \geq p_n \geq 1$ и $p_k < q_k \leq \infty$ ($k=1, n$) то для целой функции $g(z_1, \dots, z_n)$ из класса $W_{v_1, \dots, v_n}^{(p_1, \dots, p_n)}$ имеет место неравенство:

$$\|g\|_{q_1, \dots, q_n}^{(n)} \leq \prod_{k=1}^n \left(\frac{s_k v_k}{\pi} \right)^{\frac{1}{p_k} - \frac{1}{q_k}} \cdot \|g\|_{p_1, \dots, p_n}^{(n)}, \quad (16)$$

где $s_k = \left\lceil -\frac{p_k}{2} \right\rceil$ — наименьшее целое число, не меньшее, чем $\frac{p_k}{2}$ ($k=1, 2, \dots, n$).

Доказательство. Для простоты рассуждения рассмотрим трехмерный случай ($n=3$).

В силу неравенства (10), из неравенства

$$\int_{-\infty}^{\infty} |g(x_1, x_2, x_3)|^{q_1} dx_1 \leq (\max_{(x_1)} |g|)^{q_1-p_1} \int_{-\infty}^{\infty} |g|^{p_1} dx_1$$

следует, что

$$\begin{aligned} \int_{-\infty}^{\infty} |g|^{q_1} dx_1 &\leq \left(\frac{v_1 s_1}{\pi} \right)^{\frac{q_1-p_1}{p_1}} \left(\int_{-\infty}^{\infty} |g|^{p_1} dx_1 \right)^{\frac{q_1-p_1}{p_1}} \int_{-\infty}^{\infty} |g|^{p_1} dx_1 = \\ &= \left(\frac{v_1 s_1}{\pi} \right)^{\frac{q_1-p_1}{p_1}} \left(\int_{-\infty}^{\infty} |g|^{p_1} dx_1 \right)^{\frac{q_1}{p_1}} \end{aligned}$$

Отсюда находим, что

$$\int_{-\infty}^{\infty} \left(\int_{-\infty}^{\infty} |g|^{q_1} dx_1 \right)^{\frac{q_2}{p_1}} dx_2 \leq \left(\frac{v_1 s_1}{\pi} \right)^{\frac{q_2}{p_1} \left(\frac{1}{p_1} - \frac{1}{q_1} \right)} \int_{-\infty}^{\infty} \left(\int_{-\infty}^{\infty} |g|^{p_1} dx_1 \right)^{\frac{p_2}{p_1}} dx_2 \quad (17)$$

Далее имеем:

$$\int_{-\infty}^{\infty} \left(\int_{-\infty}^{\infty} |g|^{p_1} dx_1 \right)^{\frac{q_2}{p_1}} dx_2 \leq \left(\max_{(x_1)} \int_{-\infty}^{\infty} |g|^{p_1} dx_1 \right)^{\frac{q_2-p_1}{p_1}} \int_{-\infty}^{\infty} \left(\int_{-\infty}^{\infty} |g|^{p_1} dx_1 \right)^{\frac{p_2}{p_1}} dx_2$$

В силу теоремы (2) (в случае $k=1$ и $m=2$) неравенство (17) примет вид:

$$\begin{aligned} &\left(\int_{-\infty}^{\infty} \left[\int_{-\infty}^{\infty} |g|^{q_1} dx_1 \right]^{\frac{q_2}{q_1}} dx_2 \right)^{\frac{1}{q_2}} \leq \\ &\leq \left(\frac{s_1 v_1}{\pi} \right)^{\frac{1}{p_1} - \frac{1}{q_1}} \left(\frac{s_2 v_2}{\pi} \right)^{\frac{1}{p_2} - \frac{1}{q_2}} \left(\int_{-\infty}^{\infty} \left[\int_{-\infty}^{\infty} |g|^{p_1} dx_1 \right]^{\frac{p_2}{p_1}} dx_2 \right)^{\frac{1}{p_2}} \quad (18) \end{aligned}$$

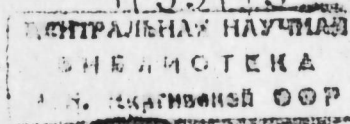
Далее, в силу неравенства (18) имеем:

$$\begin{aligned} \|g\|_{q_1, q_2, q_3}^{(3)} &\leq \prod_{k=1}^3 \left(\frac{s_k v_k}{\pi} \right)^{\frac{1}{p_k} - \frac{1}{q_k}} \left\{ \int_{-\infty}^{\infty} \left[\int_{-\infty}^{\infty} \left(\int_{-\infty}^{\infty} |g|^{p_1} dx_1 \right)^{\frac{p_2}{p_1}} dx_2 \right]^{\frac{p_3}{p_2}} dx_3 \right\}^{\frac{1}{q_3}} \leq \\ &\leq \prod_{k=1}^3 \left(\frac{s_k v_k}{\pi} \right)^{\frac{1}{p_k} - \frac{1}{q_k}} \max_{(x_1)} \int_{-\infty}^{\infty} \left[\int_{-\infty}^{\infty} \left(\int_{-\infty}^{\infty} |g|^{p_1} dx_1 \right)^{\frac{p_2}{p_1}} dx_2 \right]^{\frac{q_3-p_2}{p_2}} dx_3 \cdot \\ &\cdot \left\{ \int_{-\infty}^{\infty} \left[\int_{-\infty}^{\infty} \left(\int_{-\infty}^{\infty} |g|^{p_1} dx_1 \right)^{\frac{p_2}{p_1}} dx_2 \right]^{\frac{p_3}{p_2}} dx_3 \right\}^{\frac{1}{q_3}} \quad (19) \end{aligned}$$

Наконец, в силу теоремы 2 (в случае $k=2$ и $m=3$) неравенство (19) примет вид:

$$\|g\|_{q_1, q_2, q_3}^{(3)} \leq \prod_{k=1}^3 \left(\frac{s_k v_k}{\pi} \right)^{\frac{1}{p_k} - \frac{1}{p_k}} \cdot \|g\|_{p_1, p_2, p_3}^{(3)}.$$

П 33179



Таким образом, неравенство (16) доказано при $n=3$.
Неравенство для тригонометрических полиномов $T(x_1, \dots, x_k)$ порядка $\leq (n_1, \dots, n_k)$, являющееся аналогом неравенства (16); найдено Н. М. Сабзиевым в виде

$$\|T\|_{q_1, \dots, q_k}^{(k)} \leq \prod_{j=1}^k \left(\frac{2s_j n_j + 1}{2\pi} \right)^{\frac{1}{p_j} - \frac{1}{q_j}} \cdot \|T\|_{p_1, \dots, p_k}^{(k)}, \quad (20)$$

где $1 \leq p_j < q_j \leq +\infty$ и $s_j = \left[-\frac{p_j}{2\pi} \right]$ — наименьшее целое число, не меньшее, чем $\frac{p_j}{2}$ ($j=1, 2, \dots, k$).

Примечание. Пусть $\Phi(x_1, \dots, x_k, x_{k+1}, \dots, x_n)$ является тригонометрическим полиномом относительно каждого из переменных x_1, \dots, x_k , соответственно, порядков n_1, \dots, n_k и целой функцией конечной степени относительно каждого из переменных x_{k+1}, \dots, x_n , соответственно, степеней v_1, \dots, v_m ($k+m=n$) и кроме того, удовлетворяет условию:

$$\psi(x_1, \dots, x_k) = \left\{ \int_{-\infty}^{\infty} \dots \left[\int_{-\infty}^{\infty} \left(\int_{-\infty}^{\infty} |\Phi|^{p_1} dx_{k+1} \right)^{\frac{p_2}{p_1}} dx_{k+2} \right]^{\frac{p_3}{p_2}} dx_{k+3} \dots dx_n \right\}^{\frac{1}{p_m}} < +\infty$$

и

$$\Phi \|_{q_1, \dots, q_k, p_1, \dots, p_m}^{(n)} = \left\{ \int_0^{2\pi} \dots \left[\int_0^{2\pi} \left(\int_0^{2\pi} |\psi|^{q_1} dx_1 \right)^{\frac{q_2}{q_1}} dx_2 \right]^{\frac{q_3}{q_2}} dx_3 \dots dx_k \right\}^{\frac{1}{q_k}} < +\infty,$$

где $p_1, \dots, p_m, q_1, \dots, q_k$ ($k+m=n$) — числа, не меньшие единицы. В этом случае, в силу вышеприведенных результатов, при

$1 \leq p_j < p'_j \leq \infty$ ($j=1, \dots, m$) и $1 \leq q_i < q'_i \leq \infty$ ($i=1, 2, \dots, k$) имеет место неравенство:

$$\|\Phi\|_{q_1, \dots, q_k, p_1, \dots, p_m}^{(n)} \leq \prod_{j=1}^k \left(\frac{2s_j n_j + 1}{2\pi} \right)^{\frac{1}{q_j} - \frac{1}{q'_j}} \cdot \prod_{i=1}^m \left(\frac{\lambda_i v_i}{\pi} \right)^{\frac{1}{p_k} - \frac{1}{p'_k}} \cdot \|\Phi\|_{q_1, \dots, q_k, p_1, \dots, p_m}^{(n)},$$

где $s_j = \left[-\frac{q_j}{2} \right]^{l=1}$ и $\lambda_i = \left[-\frac{p_i}{2} \right]$.

ЛИТЕРАТУРА

- Ибрагимов И. И. Экстремальные свойства целых функций конечной степени. Изд. АН Азерб. ССР. Баку, 1962.
- Ибрагимов И. И. ДАН СССР, № 3, т. 121, 1963.
- Ибрагимов И. И. Изв. АН СССР, серия матем., т. 23, 1959.
- Ибрагимов И. И. ДАН СССР, № 6, 1963, т. 128.
- Ибрагимов И. И., Джадаров А. С. ДАН СССР, № 4, 138, 1961.
- Никольский С. М. Труды Мат. ин-та им. В. А. Стеклова АН СССР, т. 38, 1951.

Институт математики и механики

Поступило 4 марта 1963

С. М. ГАДИЕВ, Э. М. СИМКИН

НАПРАВЛЕННЫЙ ГИДРОРАЗРЫВ ЭРОЗИОННОЙ ГИДРОСТРУЕЙ ПЕРЕМЕННОГО ДАВЛЕНИЯ

(Представлено академиком АН Азербайджанской ССР М. М. Алиевым)

В [3] рассматривался вопрос применения погружных бесштанговых насосов для направленного гидоразрыва скважин эрозионной струей жидкости постоянного давления.

Однако разрушение породы воздействием динамических нагрузок является гораздо более эффективным по сравнению со статистическими. В связи с этим, нами проводятся теоретические и экспериментальные исследования в области использования струй переменного давления для направленного гидоразрыва. Такую струю можно создать гидравлическим вибратором, в частности, вибратором золотникового типа.

Обозначим давление в скважине после вибратора $P(t)$, давление струи на выходе из насадка $P_0(t)$. Изменение $P(t)$ и, следовательно, $P(\varphi)$ для механизма золотникового типа (φ — угол поворота ротора) подробно рассматривалось в [5], [2] и приведено на рис. 1. Как видно из этого рисунка, $P(\varphi)$ на природе T_n характеризуется наличием четырех различных участков, в том числе двух участков постоянного давления.

Если считать закон изменения $P(\varphi)$ на сегментах (φ_1, φ_2) и (φ_3, φ_4) параболическим, получим аналитическое выражение зависимости $P(t)$:

$$P(t) = P_{\min} \quad \frac{\varphi_0}{\omega} \leq t \leq \frac{\varphi_1}{\omega} \quad (a)$$

$$P(t) = \left[\omega t \frac{\sqrt{P_{\max}} - \sqrt{P_{\min}}}{\varphi_2 - \varphi_1} - \frac{\varphi_1 \sqrt{P_{\max}} - \varphi_2 \sqrt{P_{\min}}}{\varphi_2 - \varphi_1} \right]^2 \quad \frac{\varphi_1}{\omega} \leq t \leq \frac{\varphi_2}{\omega} \quad (b)$$

$$P(t) = P_{\max} \quad \frac{\varphi_2}{\omega} \leq t \leq \frac{\varphi_3}{\omega} \quad (c)$$

$$P(t) = \left[\omega t \frac{\sqrt{P_{\max}} - \sqrt{P_{\min}}}{\varphi_4 - \varphi_3} - \frac{\varphi_3 \sqrt{P_{\max}} - \varphi_4 \sqrt{P_{\min}}}{\varphi_4 - \varphi_3} \right]^2 \quad \frac{\varphi_3}{\omega} \leq t \leq \frac{\varphi_4}{\omega} \quad (d)$$

где ω — угловая скорость,

$$\omega = \frac{\varphi_4 - \varphi_0}{T_n}$$

Процесс разрушения породы эрозионной струей постоянного давления подробно исследовался в [10] и [3] при следующих условиях: 1) расстояние от насадка до точки углубления в породе считалось монотонной, возрастающей, непрерывной функцией времени; 2) на всем протяжении от насадки до точки углубления в породе струя считалась неразрывной.

В этих условиях процесс разрушения струей постоянного давления описывался дифференциальным уравнением:

$$V_{\text{угл.}} = \frac{dL}{dt} = K_V (V_L - V_n) \quad (1)$$

здесь V_L — скорость струи на расстоянии L от насадки

$V_{\text{угл.}}$ — скорость проникновения струи в породу

V_n — скорость струи, соответствующая энергетическому порогу, ниже которого не происходит проникновения струи в породу

K_V — коэффициент скорости углубления струи в породе, определенный в [10] для струи постоянного давления.

Скорость в точке L струи описывалась соотношением:

$$V_L = \frac{C_V D_0}{L} V_0, \quad (1a)$$

где D_0 — внутренний диаметр насадка

V_0 — скорость истечения из насадка, определяемая по формуле истечения:

$$V_0 = \psi \sqrt{\frac{2g}{\gamma}} (P = P_0) \quad (16)$$

ψ — коэффициент скорости истечения из насадка

γ — удельный вес эрозионной жидкости

C_V — коэффициент скорости струи

Как показано в [10] для струи постоянного давления:

$$V_n = f(h) - C \cdot h, \quad (1b)$$

где C — коэффициент пропорциональности

h — твердость породы по Протодьяконову.

Решение дифференциального уравнения (1) для сегментов (φ_0, φ_1) и (φ_2, φ_3) периода T_n с краевыми условиями: $\varphi = \varphi_0, L = L_0$; $\varphi = \varphi_1, L = L_1$; $\varphi = \varphi_2, L = L_2$; $\varphi = \varphi_3, L = L_3$ не представляет каких-либо затруднений.

Вследствие малости отрезков времени $\Delta t_1 = \frac{\varphi_1 - \varphi_0}{\omega}$ и $\Delta t_2 = \frac{\varphi_3 - \varphi_2}{\omega}$,

приращением проникновения, как показывают наши расчеты, можно на этих сегментах пренебречь. Принимаем таким образом, что основная

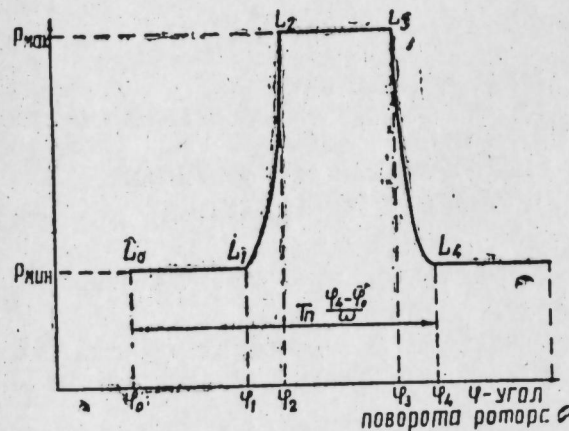


Рис. 1

Зависимость давления после вибратора от угла поворота ротора золотникового механизма.

доли приращения проникновения за период T_n приходится на сегменты (φ_1, φ_2) , (φ_3, φ_4) , где давление струи изменяется.

Если мы к условию неразрывности струи по длине прибавим также условие неразрывности во времени, то в этом случае соотношения (1a), (16), (1b) и дифференциальное уравнение (1), выведенные для струи постоянного давления, применимы и для случая изменяющегося давления. Таким образом, из (16)

$$V_0 = V_0(t) = \psi \sqrt{\frac{2g}{\gamma} [P(t) - P_0(t)]} \quad (1g)$$

Из (1a):

$$V_L = \frac{C_V D_0}{L} V_0(t) \quad (1d)$$

Из (1):

$$V_{\text{угл.}} = \frac{dL}{dt} = K_V (V_L - V_n) \quad (1e)$$

Поскольку, $P_0(t) = \gamma V_0^2(t)$ [3], скорость истечения $V_0(t)$ можно выразить только через давление после вибратора (во всех случаях потерями давления от вибратора в насадок пренебрегаем):

$$V_0(t) = m \sqrt{P(t)}, \quad (1j)$$

$$\text{где } m = \psi \sqrt{\frac{2g}{\gamma(1 - 2g\psi_0^2)}}$$

На рис. 2 показана зависимость скорости истечения из насадка $V_0(t)$ от времени за один период T_n изменения давления, построенная по формуле (1j) и формулам (a), (b), (v), (g).

На этом же рис. 2 зависимость скорости струи V_L от времени на сегменте времени (T_n, T_{n+1}) , если считать, что вследствие малости взятого сегмента, зависимость $L(t)$ линейная.

Из этого рисунка следует, что по мере углубления в породе, колебания скорости струи затухают. Максимальные и минимальные значения скорости струи уменьшаются, как следует из (1e), до значений, не превышающих пороговую скорость V_n .

Поскольку приращением проникновения на сегментах (φ_0, φ_1) и (φ_2, φ_3) можно пренебречь, зависимость проникновения от времени дает решение дифференциального уравнения (1e) для сегментов (φ_1, φ_2) , (φ_3, φ_4) , где скорость струи переменна.

Подстановка (б), (г), (1д) в (1e) дает два дифференциальных уравнения, отражающих процесс разрушения породы на каждом из сегментов (φ_1, φ_2) и (φ_3, φ_4) периода T_n в предположении, что зависимость $P(t)$ на этих сегментах параболическая:

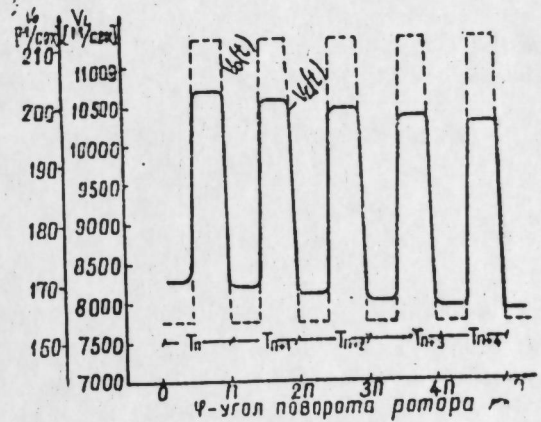


Рис. 2

Зависимость струи и скорости истечения струи из насадки от угла поворота ротора золотникового механизма:

$D_0 = 4 \text{ мм}$, $P_{\max} = 250 \text{ atm}$, $P_{\min} = 150 \text{ atm}$, $T_n = 1/60 \text{ сек}$, порода — гранит.

$$\frac{dL}{dt} = K_V \left[\frac{C_V D_0 m}{L(t)} \left(\omega t \frac{\sqrt{P_{\max}} - \sqrt{P_{\min}}}{\varphi_2 - \varphi_1} - \frac{\varphi_1 \sqrt{P_{\max}} - \varphi_2 \sqrt{P_{\min}}}{\varphi_2 - \varphi_1} \right) - V_n \right]; \quad \frac{\varphi_1}{\omega} \leq t \leq \frac{\varphi_2}{\omega} \quad (2)$$

$$\frac{dL}{dt} = K_V \left[\frac{C_V D_0 m}{L(t)} \left(\omega t \frac{\sqrt{P_{\max}} - \sqrt{P_{\min}}}{\varphi_4 - \varphi_3} - \frac{\varphi_4 \sqrt{P_{\max}} - \varphi_3 \sqrt{P_{\min}}}{\varphi_4 - \varphi_3} \right) - V_n \right]; \quad \frac{\varphi_3}{\omega} \leq t \leq \frac{\varphi_4}{\omega} \quad (3)$$

со следующими краевыми условиями.

Для уравнения (2)

$$\varphi = \varphi_1, L = L_1; \quad \varphi = \varphi_2, L = L_2; \quad (2a)$$

Для уравнения (3)

$$\varphi = \varphi_3, L = L_3; \quad \varphi = \varphi_4, L = L_4. \quad (3a)$$

Уравнения (2) и (3) представляют собой дифференциальные уравнения Абеля второго рода и решаются аналогично.

Найдем решение уравнения (2) с краевыми условиями (2a).

Подстановкой $u(t) = \frac{1}{L(t)}$ его можно привести к дифференциальному уравнению Абеля первого рода:

$$\frac{du}{dt} = k_V V_n u^2(t) - k_V C_V m D_0 \left(\omega t \frac{\sqrt{P_{\max}} - \sqrt{P_{\min}}}{\varphi_2 - \varphi_1} - \frac{\varphi_1 \sqrt{P_{\max}} - \varphi_2 \sqrt{P_{\min}}}{\varphi_2 - \varphi_1} \right) u^3(t) \quad (26)$$

Уравнение (26) подстановкой:

$$z(t) = - \frac{C_V m D_0 \left(\omega t \frac{\sqrt{P_{\max}} - \sqrt{P_{\min}}}{\varphi_2 - \varphi_1} - \frac{\varphi_1 \sqrt{P_{\max}} - \varphi_2 \sqrt{P_{\min}}}{\varphi_2 - \varphi_1} \right) u t}{V_n} \quad ut$$

приводится к уравнению с разделяющимися переменными:

$$\frac{dz}{dt} = \frac{-V_n^2 [z^3(t) + z^2(t) + az(t)] k_V}{C_V D_0 m \left(\omega t \frac{\sqrt{P_{\max}} - \sqrt{P_{\min}}}{\varphi_2 - \varphi_1} - \frac{\varphi_1 \sqrt{P_{\max}} - \varphi_2 \sqrt{P_{\min}}}{\varphi_2 - \varphi_1} \right)} \quad$$

здесь

$$a = \frac{-C_V m D_0 \omega (\sqrt{P_{\max}} - \sqrt{P_{\min}})}{V_n^2 k_V (\varphi_2 - \varphi_1)}.$$

Окончательное решение (2) после подстановки краевых условий (2a) имеет вид:

$$\frac{1}{2} \ln \frac{1 - \frac{V_n L_2}{C_V m D_0 \sqrt{P_{\max}}} - \frac{\omega (\sqrt{P_{\max}} - \sqrt{P_{\min}}) L_2^2}{C_V m k_V (\varphi_2 - \varphi_1) P_{\max}}}{1 - \frac{V_n L_1}{C_V m D_0 \sqrt{P_{\min}}} - \frac{\omega (\sqrt{P_{\max}} - \sqrt{P_{\min}}) L_1^2}{C_V m k_V (\varphi_2 - \varphi_1) P_{\min}}} +$$

$$+ \frac{1}{\sqrt{\Delta}} \operatorname{arcth} \frac{V_n L_1 - 2 C_V m D_0 \sqrt{P_{\min}}}{V_n L_1 \sqrt{\Delta}} - \frac{1}{\sqrt{\Delta}} a_2 \operatorname{erth} \frac{V_n L_2 - 2 C_V m D_0 \sqrt{P_{\max}}}{V_n L_2 \sqrt{\Delta}} = \frac{1}{2} \ln \frac{P_{\min}}{P_{\max}}, \quad (4)$$

где $\Delta = 1 - 4a$.

Вследствие малости $\frac{\varphi_2 - \varphi_1}{\omega}$, значение a и соответственно Δ , как показывают наши расчеты, являются практически очень большой величиной, даже в случае малых перепадов и крепких пород. Учитывая это, величину $\frac{1}{\sqrt{\Delta}}$ можно принять близкой к нулю и соответственно второй и третий члены левой части уравнения (4) не принимать во внимание вследствие малости. В соответствии с этим, уравнение (4) после ряда преобразований получит вид:

$$L_2 = \sqrt{\frac{C_V m k_V D_0 (\varphi_2 - \varphi_1) (\sqrt{P_{\max}} + \sqrt{P_{\min}})}{\omega (\sqrt{P_{\max}} - \sqrt{P_{\min}})} + \frac{(\varphi_2 - \varphi_1) k_V V_n \sqrt{P_{\min}} L_1}{\omega (\sqrt{P_{\max}} - \sqrt{P_{\min}})} + L_1^2} \quad (4a)$$

Дифференциальное уравнение (3) с краевыми условиями (3a) решается аналогично. Наши расчеты показывают, что приращение проникновения на этом сегменте так же, как и на сегментах (φ_0, φ_1) , (φ_2, φ_3) мало по сравнению с приращением на сегменте (φ_1, φ_2) , где происходит резкое возрастание давления.

Можно считать таким образом, что основное приращение в глубину за период происходит на одном сегменте (φ_1, φ_2) , где давление струи растет.

Обозначив глубину проникновения в конце $(n-1)$ -го периода через L_{n-1} , а в конце n -го периода через L_n , из (4a) имеем:

$$L_n = \sqrt{\frac{C_V m k_V D_0 (\varphi_2 - \varphi_1) (\sqrt{P_{\max}} + \sqrt{P_{\min}})}{\omega (\sqrt{P_{\max}} - \sqrt{P_{\min}})} + \frac{k_V V_n (\varphi_2 - \varphi_1) \sqrt{P_{\min}} L_{n-1}}{\omega (\sqrt{P_{\max}} - \sqrt{P_{\min}})} + L_{n-1}^2} \quad (5)$$

Значение максимального проникновения в породу следует из условия монотонной возрастающей непрерывности $L(t)$. Если максимальное проникновение было достигнуто к периоду $(n-1)$, то для последующего n -го периода:

$$L_n = L_{n-1} \quad (6)$$

Подстановка (6) в (4) дает значение максимального проникновения в породу эрозионной струей переменного давления:

$$L_{\max} = \frac{C_V m D_0 (\sqrt{P_{\max}} + \sqrt{P_{\min}})}{V_n} \quad (7)$$

Сравним максимальное проникновение струи постоянного давления $P = \frac{P_{\max} + P_{\min}}{2}$ из [10] со значением максимального проникновения

струи переменного давления P_{\max} и P_{\min} в (7).

Для струи постоянного давления [10]:

$$L_{\max} = \frac{C_V m D_0}{V_n} \sqrt{\frac{P_{\max} + P_{\min}}{2}} - \frac{C_V D_0 V_0}{V_n} \quad (7a)$$

Предварительно заметив, что по методу равномерного приближения [7]:

$$\sqrt{\frac{P_{\max} + P_{\min}}{2}} = 0,677 \sqrt{P_{\max}} + 0,281 \sqrt{P_{\min}}$$

Найдем отношение

$$\frac{L_{\max, \text{дин.}}}{L_{\max, \text{стат.}}} = \frac{(\sqrt{P_{\max}} + \sqrt{P_{\min}}) V_{n, \text{стат.}}}{(0,677 \sqrt{P_{\max}} + 0,281 \sqrt{P_{\min}}) V_{n, \text{дин.}}} \quad (7b)$$

Скорость струи V_n представляет величину прямо пропорциональную твердости породы при разрушении ее статическими нагрузками и определена в [10] для струи постоянного давления. При динамическом разрушении породы, вследствие создания ядра уплотнения, твердость породы повышается. Это повышение твердости особенно существенно для мягких пород. В твердых породах его можно не принимать во внимание. Исходя из этого, можно ожидать некоторое увеличение коэффициента пропорциональности C и, следовательно, V_n в (1в) для струи переменного давления в мягких породах.

Если принять, что для твердых пород $V_{n, \text{стат.}} = V_{n, \text{дин.}}$, то из (7б) следует:

$$\frac{L_{\max, \text{дин.}}}{L_{\max, \text{стат.}}} = \frac{\sqrt{P_{\max}} + \sqrt{P_{\min}}}{0,677 \sqrt{P_{\max}} + 0,281 \sqrt{P_{\min}}}, \quad (7b)$$

то есть воздействие струи переменного давления наиболее эффективно на твердых породах, где, как следует из (7в), максимальное проникновение значительно выше.

Большое значение при гидроразрыве имеет скорость углубления струи в породу. Ниже мы покажем, что скорость углубления струи переменного давления гораздо выше скорости при статическом давлении. Это происходит вследствие более высоких значений k_v на сегменте ($\varphi_1 - \varphi_2$).

$$k_v = \frac{dL}{dt} \quad (8)$$

Если считать, что вся энергия струи переходит в энергию деформации породы, то эта энергия распределяется следующим образом:

$$E_k = A + E_{pl}, \quad (9)$$

здесь A — энергия, затрачиваемая на разрушение породы,

E_{pl} — энергия, затрачиваемая на пластические деформации.

Энергия, затрачиваемая на разрушение породы, определяется по формуле Риттингера:

$$A = \sigma s_b, \quad (9a)$$

здесь σ — поверхностная энергия единицы поверхности, разрушающего тела,

s_b — вновь образуемая поверхность.

Если в начале небольшого интервала времени радиус проникновения равен r , то приращением радиуса на этом интервале времени можно пренебречь, и считать, что разрушение породы происходит только

вследствие увеличения глубины проникновения. Форму, образуемой при разрушении поверхности, можно принять конической. Из (9а) имеем:

$$A = \pi \sigma r L(t); \frac{dA}{dt} = \pi \sigma r \frac{dL}{dt} \quad (9a)$$

Кинетическая энергия струи при неупругом соударении с породой равна:

$$E_k = \frac{M(V_L - V_n)^2}{2}, \quad (9b)$$

где M — масса струи в данной точке.

Продифференцировав (9) и подставив значения $\frac{dH}{dt}$ и $(V_L - V_n)$ из

(9б) и (9в) в (8) определим K_v следующим образом:

$$K_v = \frac{\frac{d^v E_k}{dt} - \frac{d E_{pl}}{dt}}{\pi \sigma r \sqrt{\frac{2 E_k}{M}}} \quad (10)$$

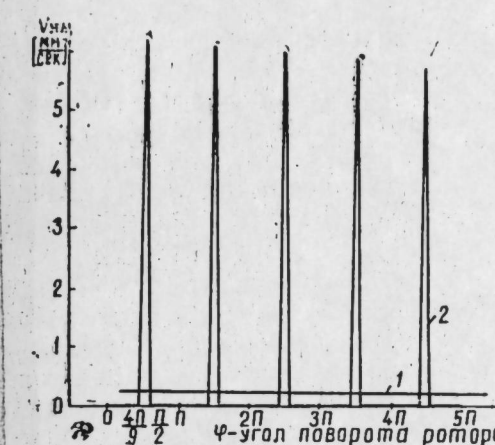


Рис. 3
Зависимость скорости проникновения для статического и динамического струйного разрушения породы от угла поворота ротора:

$D_0 = 4 \text{ мм}, P_{\max} = 250 \text{ ат}, P_{\min} = 150 \text{ ат}, T_n = 1/60 \text{ сек}$, порода — гранит; 1 — струя постоянного давления $P = \frac{P_{\max} + P_{\min}}{2}$; 2 — струя переменного давления P_{\max} и P_{\min}

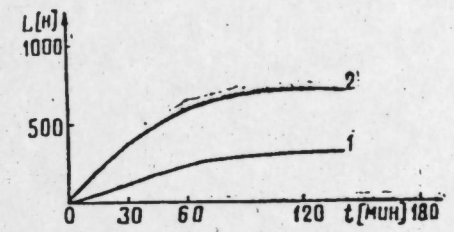


Рис. 4
Зависимость проникновения для статического и динамического струйного разрушения породы от времени:

$D_0 = 4 \text{ мм}, P_{\max} = 250 \text{ ат}, P_{\min} = 150 \text{ ат}, T_n = 1/60 \text{ сек}$, порода — гранит; 1 — струя постоянного давления $P = \frac{P_{\max} + P_{\min}}{2}$; 2 — струя переменного давления P_{\max} и P_{\min}

Сравним K_v для вибрирующей струи с давлениями P_{\max} и P_{\min} с K_v для струи постоянного давления $P = \frac{P_{\max} + P_{\min}}{2}$.

Известно, что увеличение скорости приложения нагрузки к породе вызывает уменьшение энергии, затрачиваемой на пластические деформации и соответственно увеличение энергии, затрачиваемой на разрушения. Уменьшение же скорости приложения нагрузки вызывает увеличение E_{pl} и соответственно уменьшение A .

Исходя из этого, можно считать, что во взятом интервале времени, вследствие уменьшения скорости струи со временем, при статическом

разрушении величина $\frac{dE_{\text{пл}}}{dt} > 0$. При динамическом разрушении на каждом сегменте ($\varphi_1 \varphi_2$) периода, вследствие возрастания скорости струи, величина $\frac{dE_{\text{пл}}}{dt} > 0$. Отсюда, для струи постоянного давления:

$$\kappa_v = \frac{\frac{dE_k}{dt} - \frac{dE_{\text{пл}}}{dt}}{P_{\text{ст}} r \sqrt{\frac{2E_k}{M}}} \quad (10a)$$

для струи переменного давления:

$$\kappa_v = \frac{\frac{dE_k}{dt} + \frac{dE_{\text{пл}}}{dt}}{P_{\text{ст}} r \sqrt{\frac{2E_k}{M}}} \quad (10b)$$

Из сравнения (10a) и (10b) следует, что коэффициент скорости углубления струи переменного давления выше, чем для струи постоянного давления и, следовательно скорость углубления струи переменного давления выше струи постоянного давления.

$$V_{\text{угл. дин.}} > V_{\text{угл. стат.}} \quad (11)$$

Отметим также, что коэффициент скорости углубления струи переменного давления увеличивается и вследствие того, что быстрые последовательные удары могут оказывать кумулятивное воздействие на внутренние колебания, возникающие при соударении струи с породой [9]. На рис. 3 показана зависимость $V_{\text{угл.}}(t)$ для статического и динамического струйного разрушения породы.

На рис. 4 показана построенная по формуле (5) зависимость $L(t)$ для статического и динамического струйного разрушения гранита. Из этого рисунка ясно видно преимущество динамического разрушения перед статическим.

Зависимость $L_{\text{макс}}$ от диаметра насадки изображена на рис. 5, из него следует, что максимальное проникновение можно получить, увеличивая диаметр насадки, а следовательно расход эрозионной жидкости.

Нужно заметить, что при построении кривых на рис. 3, 4, значения K_v мы брали по данным Остроушко [6] при ударном разрушении породы дробью малого диаметра. По нашему мнению, эти значения для струйного разрушения являются заниженными.

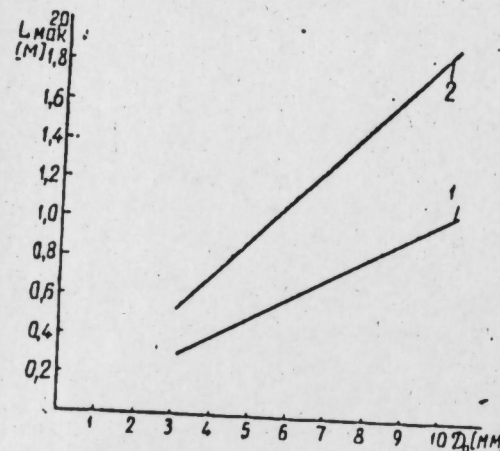


Рис. 5

Зависимость максимального проникновения в породу для статического и динамического струйного разрушения породы от диаметра насадки:

$P_{\text{макс}} = 250 \text{ atm}$, $P_{\text{мин}} = 150 \text{ atm}$, $T_n = 1/60 \text{ сек}$, порода — гранит: 1 — струя постоянного давления $P = \frac{P_{\text{макс}} + P_{\text{мин}}}{2}$; 2 — струя переменного давления $P_{\text{макс}}$ и $P_{\text{мин}}$.

способа разрушения в твердых породах

Зависимость $L_{\text{макс}}$ от диаметра насадки изображена на рис. 5, из него следует, что максимальное проникновение можно получить, увеличивая диаметр насадки, а следовательно расход эрозионной жидкости.

Нужно заметить, что при построении кривых на рис. 3, 4, значения K_v мы брали по данным Остроушко [6] при ударном разрушении породы дробью малого диаметра. По нашему мнению, эти значения для струйного разрушения являются заниженными.

В настоящее время нами ведутся работы по получению экспериментальных значений K_v , V_n на вибрационном жидкостном стенде. На этом стенде с помощью золотникового устройства возможно моделированное воздействие струи эрозионной жидкости переменного давления на пористую среду, насыщенную нефтью.

ЛИТЕРАТУРА

- Барон Л. И., Веселов Г. М., Коняшин Ю. Г. Экспериментальные исследования процессов разрушения горных пород ударом. Изд. АН СССР, 1962.
- Гадиев С. М., Гейман М. А., Славский В. М., Тагиев Э. И. Кислотная обработка призабойной зоны пласта с применением вибрации. НХ, № 9, 1962.
- Гадиев С. М., Симкин Э. М. Эрозионный метод направленного гидроразрыва скважин. Азерб НХ, № 1, 1963.
- Камке Э. Справочник по обыкновенным дифференциальным уравнениям. Физматгиз, 1961.
- Миттельман В. И., Розенберг Г. Д., Чарий И. А. К теории гидравлической сирены (турботахометр). Изв. АН СССР, ОТН, № 9, 1957.
- Остроушко И. А. Разрушение горных пород при бурении. Госгеолиздат, 1952.
- Рыжик И. М., Градштейн И. С. Таблицы интегралов сумм, рядов и произведений. Гостехиздат, 1952.
- Степанов В. В. Курс дифференциальных уравнений. ГОНТИ, 1939.
- Hartman P. Basic studies of percussion drilling Mining Engng. 1959, vol. 11, № 1.
- Brown R. W., Loper I. L. Theory of formation cutting using the sand erosion process. Journal of Petroleum technology. 1961, № 5.

Институт геологии и разработки горючих ископаемых

Поступило 26. VII 1963

С. М. Надыев, Е. М. Симкин

Дэйшиэн тээжигли ерозионлу һидрохэрэянла яранан истигамэтли һидравлик юрьлма

ХУЛАСЭ

Бу мэгалэдээ дэйшиэн тээжигли истигамэтли ерозионлу һидрохэрэяны тэ'сир алтында нөвлөрүн дағылма мэсэлэлэри һаггында данышлыры.

Белэ бир чэрэжаны золотник типли һидравлик вибраторда яратмаг мүмкүн олур.

Несаб олунур ки:

1) насадхалардан нөвэ кечэн нөгтэйдэк мэсафэ монотон, ардын арасы кэсилмэжэн вэ вахтдан асылы олан бир функциядыр.

2) Чэрэжан saatда арасы кэсилмэжэн вэ даваметдиричидир.

Бу шартлэрлэ көстэрилиб ки:

1) нөвүүн эсас дағылмасы T_n дэврүүн елэ вахтларында баш верирки, бу заман чэрэжаны тээжиги кэсийн артмата башлајыр. Нөвүүн дағылмаг сүр'эти бу вахт белэдир:

$$\frac{dL}{dt} = k_v \left[\frac{c_v m D_0}{d(t)} \left(wt \frac{\sqrt{P_{\text{макс}}} - \sqrt{P_{\text{мин}}}}{\varphi_2 - \varphi_1} - \frac{\varphi_1 \sqrt{P_{\text{макс}}} - \varphi_2 \sqrt{P_{\text{мин}}}}{\varphi_2 - \varphi_1} \right) - v_n \right]$$

2) Нөвэ дэрийлэшмэжэн вахтдан асылы олмасыны белэ бир дүстүр, үзрэ гурмаг олар:

$$d_n = \sqrt{\frac{c_v m k_v D_0 (\varphi_2 - \varphi_1) (\sqrt{P_{\text{макс}}} - \sqrt{P_{\text{мин}}})}{a} + \frac{k_v v_n (\varphi_2 - \varphi_1) \sqrt{P_{\text{мин}}} L_{n-1}}{a (\sqrt{P_{\text{макс}}} - \sqrt{P_{\text{мин}}})} + L_{n+1}^2}$$

3) иөвә кечән максимал дәринлик исә бәрабәрdir:

$$L_{\max} = \frac{C_v m D_0 (\sqrt{P_{\max}} - \sqrt{P_{\min}})}{V_n}$$

4) Нөвүн дағылмаг сүр'ети дәими тәзілгли чәрәjan иисбәтән дәйи-шән тәзілгли чәрәjanда даһа јүксәкли олур. Мұғајисә етмәк үчүн дә-жишән вә дәими тәзілгли чәрәjanлар үчүн иөвә кечән әжриллкләр ве-рилиб.

5) Сәрт нөвләрдә дәжишән тәзілгли чәрәjanда дәими тәзілгли чә-рәjan иисбәтән максимал дәринлик даһа артыгдыр. Мұғајисә үчүн ујғун әжриллкләр верилиб.

Шәрти ишарәләр:

α—иөвә кечән дәринлик

L_n —n дөврәдән кечән дәринлик

L_0 —насадын дахили диаметри

d—вахт

T_n —тәзілг дәжишмәснини n-чи дөврү

α—золотниккиң күнч сүр'ети

P_{\max} , вә P_{\min} .— T_n дөврәдә vibrатордан алынан максимал вә мини-мал тәзілләр φ_1 вә φ_2 дөврәдә чәрәjanын тәзілг артмасынын эв-вәлиниә вә ахырына ујғун олар золотниккиң дөнкә бучаглары.

V_n —чәрәjanын соңунчы вә һәмни нөвүн кәләчәкдә дағылмаг имка-ны вермәјен сүр'ети.

K_v , C_v —емпирик коефициентләр

$$m = \psi \frac{\sqrt{2g}}{\gamma(1-2g\psi^2)}$$

ψ—ахын сүр'етинин коефициенти

γ—ерозион мајесинин хүсуси чәкиси

g—агырлыг гүввәсинин тә'чили.

А. М. КУЛИЕВ, А. Г. ЗУЛЬФУГАРОВА

СИНТЕЗ И ИССЛЕДОВАНИЕ АЛКИЛ-М-ДИОКСАНОВ

М-диоксаны находят разностороннее применение, являясь хороши-ми растворителями для многих органических продуктов, исходным сырьем для синтеза диеновых углеводородов, присадок к маслам, топливам и т. д.

В настоящее время синтез м-диоксанов приобретает еще больший интерес в связи с развитием промышленности нефтехимического син-теза.

Исследования в области синтеза м-диоксанов в основном проводи-лись [4—8] на базе непредельных углеводородов изостроения. Наши исследования проводились в направлении получения диоксанов, имею-щих боковую цепь нормального строения.

Предыдущая работа [1] была посвящена синтезу м-диоксанов путем взаимодействия нормальных олефиновых углеводородов, содержащих в молекуле 6—9 углеродных атомов с формальдегидом.

В результате этого исследования нами были получены неизвестные ранее соединения: 4-бутил, 4-амил, 4-гексил, 4-гептил м-диоксаны.

Настоящая работа является продолжением этих исследований и посвящена синтезу м-диоксанов на базе непредельных углеводородов, содержащих 6—10 атомов углерода и ацетальдегида.

Как указывалось выше, в литературе имеется целый ряд работ по синтезу диоксанов из непредельных углеводородов и формальдегида.

Однако вопрос синтеза диоксанов из ацетальдегида в литературе мало освещен. Буб и Штейнбриник [2] синтезировали 2,6-диметил-4-фенил-м-диоксан путем взаимодействия стирола с ацетальдегидом в присутствии серной кислоты.

М. И. Фарберов [3] взаимодействием изобутилена и пропилена с ацетальдегидом получил соответственно 2,4,4,6-тетраметил-м-диоксан и 2,4,6-триметил-м-диоксан.

Непредельные углеводороды, используемые нами при синтезе, были получены дегидратацией соответствующих спиртов при темпе-ратуре 360—370°C над специально приготовленной окисью алюминия.

Дегидратация спиртов в этих условиях практически не сопровожда-ется побочной реакцией изомеризации полученных непредельных уг-леводородов и выход α-олефинов достигает порядка 80—85%.

Дегидратации подвергались следующие нормальные первичные спирты: гексиловый, гептиловый, октиловый, ионилловый, дециловый, а также циклический спирт циклогексанол.

Продукты дегидратации подвергались перегонке с выделением фракции, соответствующей индивидуальному непредельному углеводороду (табл. 1).

Синтез диоксанов взаимодействием вышеуказанных непредельных углеводородов с ацетальдегидом осуществлялся в присутствии 50%-ной серной кислоты. Весовое соотношение реагирующих компонентов олефина, альдегида составляло 1:1.

Таблица 1

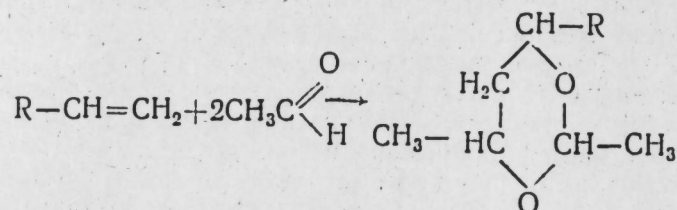
Физико-химические свойства непредельных углеводородов, используемых для синтеза диоксанов

Углеводороды	Температура кипения, °C	Плотность, ρ_4^{20}	Показатель преломления, n_D^{20}	Молекулярный вес
н.-гексен-1	62—63	0,6732	1,3882	84,5
н.-гептен-1	93—95	0,6973	1,3993	97
н.-октен-1	121—122	0,7150	1,4090	110
н.-ионен-1	145—146	0,7301	1,4146	126
н.-деcen-1	168—170	0,7414	1,4220	143
Циклогексен	82—84	0,8102	1,4451	81

Ацетальдегид и олефин при температуре 40°C постепенно добавлялись к серной кислоте и полученная реакционная смесь перемешивалась в течение 10—12 ч при этой температуре.

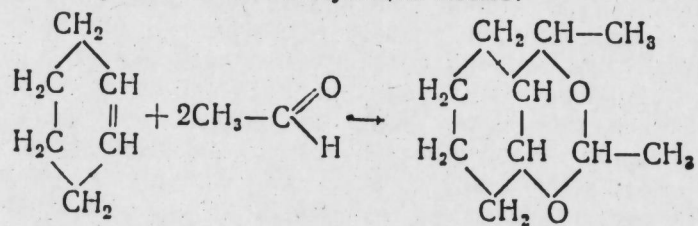
После окончания реакции верхний органический слой, после промывки до нейтральной реакции и сушки перегонялся под вакуумом. Выделенная фракция по константам, соответствующая диоксану, вторично перегонялась и детально анализировалась. Повышение температуры реакции и концентрации кислоты отрицательно влияет на выход диоксанов, так как при этом идет сильное осмолование продукта реакции. Снижение концентрации кислоты от 50 до 15% сильно замедляет скорость реакции. Изменение соотношения реагирующих компонентов также не приводит к повышению выхода диоксанов.

Реакция образования диоксанов на основе непредельных углеводородов жирного ряда протекает по следующей схеме:



В результате конденсации циклогексена с ацетальдегидом образуется 2,6-диметил-4,5-тетраметилен-м-диоксан, выход которого составляет 30% на взятый непредельный углеводород (табл. 2).

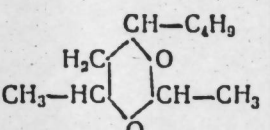
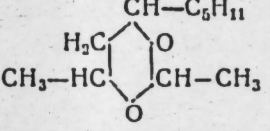
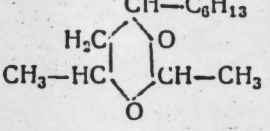
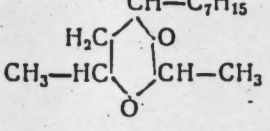
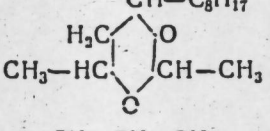
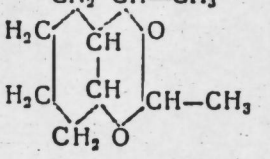
Реакция протекает по следующей схеме:



Как видно из табл. 2, во всех случаях образуются производные м-диоксана, отличающиеся друг от друга по характеру боковых радикалов. У диоксанов, полученных из непредельных углеводородов жирного ряда с повышением количества ве-

Таблица 2

Физико-химические константы диоксанов, полученных взаимодействием непредельных углеводородов с ацетальдегидом

Продукт	Формула	Выход, % на взятый непредельный углеводород	Температура кипения при 1—1,5 мм остат. давл.	Показатель преломления, n_D^{20}	Плотность, ρ_4^{20}	Молекулярный вес		Молекулярная рефракция		Элементарный состав, %			
						найд.	выч.	найд.	выч.	найд.	выч.	найд.	выч.
2,6-диметил-4-бутил- <i>m</i> -диоксан		28	34—35	1,4386	0,8926	169	172	49,75	49,97	69,37	69,76	11,32	11,62
2,6-диметил-4-амил- <i>m</i> -диоксан		20	39—40	1,4500	0,9127	184	186	54,17	54,54	70,53	70,96	11,67	11,52
2,6-диметил-4-гексил- <i>m</i> -диоксан		15	75—78	1,4535	0,9298	203	200	59,06	59,21	71,68	72	12,00	11,72
2,6-диметил-4-гептил- <i>m</i> -диоксан		10	87—90	1,4591	0,9293	217	214	63,80	63,83	73,03	72,88	11,95	12,14
2,6-диметил-4-октил- <i>m</i> -диоксан		15	90—95 0,2 м.и рт. ст.	1,4460	0,9102	232	228	67,93	68,20	73,28	73,55	12,34	12,20
2,4-диметил-5,6-тетраметил- <i>m</i> -диоксан		30	78—81 0,5 м.и рт. ст.	1,4521	1,0052	175	170	46,0	47,26	70,82	70,59	10,75	10,58

Продукты дегидратации подвергались перегонке с выделением фракции, соответствующей индивидуальному непредельному углеводороду (табл. 1).

Как видно из табл. 2, во всех случаях образуются производные м-диоксана, отличающиеся друг от друга по характеру боковых радикалов. У диоксанов, полученных из непредельных углеводородов жирного ряда, с повышением молекулярного веса олефиновых углеводородов выход диоксанов несколько снижается. С увеличением длины боковой цепи диоксана наблюдается повышение температуры кипения, увеличение плотности и показателя преломления.

Как можно видеть из табл. 2, физико-химические показатели всех синтезированных диоксанов соответствуют теоретически вычисленным.

Анализ по методу, рекомендованному Фарберовым М. М. показал, что чистота полученных нами диоксанов соответствует 98—99,5%.

В статье описан синтез ряда неизвестных в литературе диоксанов и изучены их физико-химические свойства.

ЛИТЕРАТУРА

1. Кулев А. М., Зульфугарова А. "Азерб. хим. журнал", 1960, 3. 2.
- Штейнбрек Б. Пат. ФРГ 957125 31. I 1957. 3. Фарберов М. И. ЖОХ 10. 27, 28. 07. 1957. 4. Эрандейл Э., Микешка Л. А. Успехи химии, 2, 1954. 5. Kriegitz O. Ber., 32, 57, 1893. 6. Fitzky W. C. A., 38. 1944, 380. 7. Mottegn H. O. C. A. 19, 1945, 5467. 8. Prins C. A., 14, 1820, 1662.

ИХХП им. Ю. Г. Мамедалиева

Поступило 13. XII 1963

Э. М. Гулиев, Э. Н. Зулфугарова

Алифатик сыра карбоидрокенләрindәn алкил-m-диоксанларын синтези

ХУЛАСӘ

Назырда нефт-кимја сәнајесинин иникишафы илә әлагәдар олараг, алкил-m-диоксанлар вә онларын төрәмәләринә олан мараг хејли артмышыры.

Әдәбијатда мұхтәлиф мүәллифләр тәрәфиндән изогурулушу дојнамыш карбоидрокенләрдәn алкил-m-диоксанларын алымна үсуллары тәсвир едилір.

Мәгаләдә нормал յанзәнчирли алкил-m-диоксанларын синтезиндән бәhc олунур.

Апарылан тәдгигатлар нәтичәсіндә ашағыдағы m-диоксанлар синтез олунмуш:

2,6-диметил-4-бутил-m-диоксан, 2,6-диметил-4-амил-m-диоксан, 2,6-диметил-2-нексил-m-диоксан, 2,6-диметил-4-нептил-m-диоксан, 2,6-диметил-4-октил-m-диоксан, 2,4-диметил-5,6-тетраметилен-m-диоксан вә онларын физики-кимјәви хассасләри өjrенилмишdir.

Жухарыда көстәрилән маддәләрнің чыхымы 25—30%-дир. Синтез олунан маддәләр нефт-кимја сәнајесинде, һәлледичи кими, диен-карбоидрокенләринин синтезиндә аралыг маддә кими вә бу маддәләрнің күрдлү вә фосфор төрәмәләри яғлара әлавә кими ишләдилә биләр.



С. Д. МЕХТИЕВ, О. А. НАРИМАНБЕКОВ

**РЕАКЦИЯ ПАРОФАЗНОГО ВОССТАНОВЛЕНИЯ КАРБОНИЛЬНЫХ
СОЕДИНЕНИЙ СПИРТАМИ**

Метод жидкофазного восстановления альдегидов и кетонов до спиртов алкоголятами алюминия был разработан в 1925 г. и благодаря избирательности нашел широкое распространение в лабораторной практике. Этот метод, получивший название Meerweina—Пондорфа—Верли, позволил при мягких условиях получать важные соединения при почти полном отсутствии побочных продуктов [1, 2, 3].

Дальнейшие исследования показали, что аналогично жидкофазным реакциям восстановления по Meerweinu—Пондорфу—Верли протекает парофазная гетерогенная каталитическая реакция, причем на примере акролеина, кротонового альдегида, окиси мезитила, α -метилакролеина и др. [3—6] доказана возможность ее распространения вообще на α - β -непредельные альдегиды и кетоны.

В настоящей работе представляются результаты исследования парофазного гетерогенного каталитического восстановления предельных альдегидов и кетонов различными спиртами.

ЭКСПЕРИМЕНТАЛЬНАЯ ЧАСТЬ

Опыты проводили в реакторе проточного типа, с автоматическим регулированием температуры, в неподвижном слое катализатора. В качестве катализатора использована таблетированная окись магния марки "Ч", предварительно прокаленная при 400°C в течение 8 часов.

Анализ продуктов реакции производился хроматографически.

Восстановление масляного альдегида этиловым спиртом

На рис. 1 показано влияние различных параметров на процесс восстановления масляного альдегида эталоном в бутиловый спирт. Как видно из графиков, оптимальными условиями являются: температура—400°C, скорость подачи исходной смеси—120 $\frac{\text{моль}}{\text{л кат. ч}}$, молярное отношение этилового спирта к масляному альдегиду 4 : 1. При этом выходы бутилового спирта на пропущенный и превращен-

ный альдегид составляют соответственно 32 и 94 мол. %. Интересно отметить, что в результате восстановления масляного альдегида получается не только первичный, но и вторичный *n*-бутиловый спирт. Содержание последнего в продуктах реакции увеличивается с уменьшением скорости подачи и увеличением температуры реакции. С повышением температуры и времени контакта происходит разложение масляного альдегида и заметное коксование катализатора.

Выход уксусного альдегида находится в прямой зависимости от температуры и времени контакта и в обратной от молярного отношения этилового спирта к масляному альдегиду. Содержание ацетальдегида в продуктах реакции несколько превышает количество, которое должно получиться в расчете на образовавшийся спирт, и намного превышает выход уксусного альдегида при дегидрогенизации этилового спирта при тех же условиях (рис. 1, кривая 4).

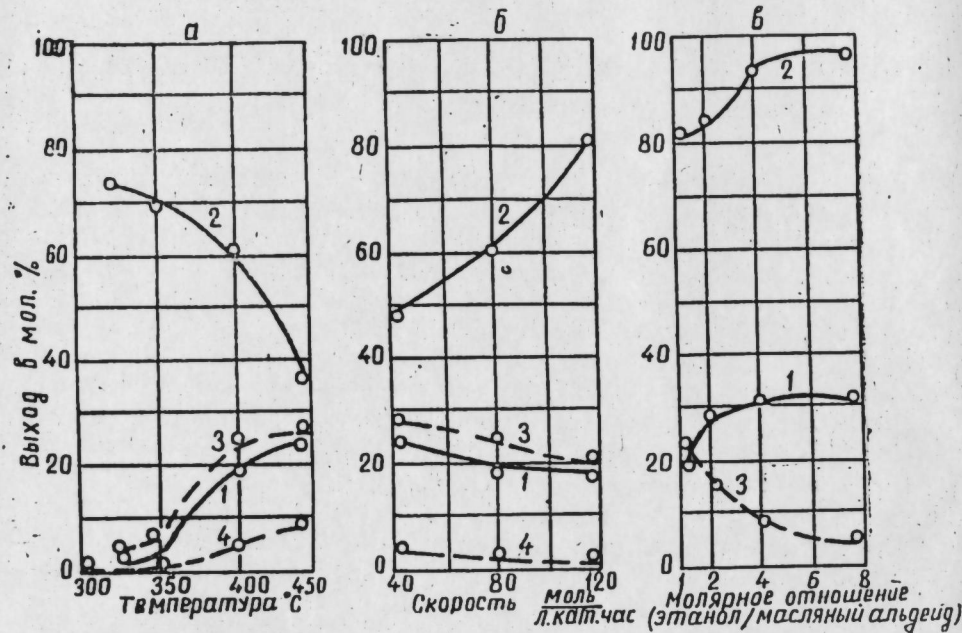


Рис. 1

Влияние различных параметров на процесс восстановления *n*-масляного альдегида этианолом в *n*-бутиловый спирт:

- a) — влияние температуры, (скорость — 80 $\frac{\text{моль}}{\text{л кат. ч}}$), молярное отношение этианола к масляному альдегиду 1 : 1;
 б) (влияние скорости (t = 400°C, молярное отношение 1 : 1);

в) влияние состава (t = 400°C, скорость 120 $\frac{\text{моль}}{\text{л кат. ч}}$)

1, 2 — выходы *n*-бутилового спирта на пропущенный и превращенный альдегид; 3, 4 — выходы ацетальдегида на пропущенный этианол в процессах восстановления масляного альдегида и дегидрогенизации этианола над MgO.

Восстановление ацетона *n*-бутиловым спиртом

Влияние различных условий на реакцию восстановления ацетона *n*-бутиловым спиртом представлено на рис. 2. Оптимальные условия процесса: температура — 400°C, скорость —

80 $\frac{\text{моль}}{\text{л кат. ч}}$, молярное отношение *n*-бутилового спирта на пропущенный и превращенный ацетон составляет соответственно 37 и 98 мол. %.

Образование масляного альдегида находится в прямой зависимости от времени контакта и температуры и в обратной — от молярного отношения *n*-бутилового спирта к ацетону. Во всех случаях количество образовавшегося масляного альдегида незначительно превышает то, которое соответствует образовавшемуся изопропиловому спирту, но оно заметно больше выходов, полученных при дегидрогенизации *n*-бутилового спирта при тех же условиях (рис. 2, кривая 4).

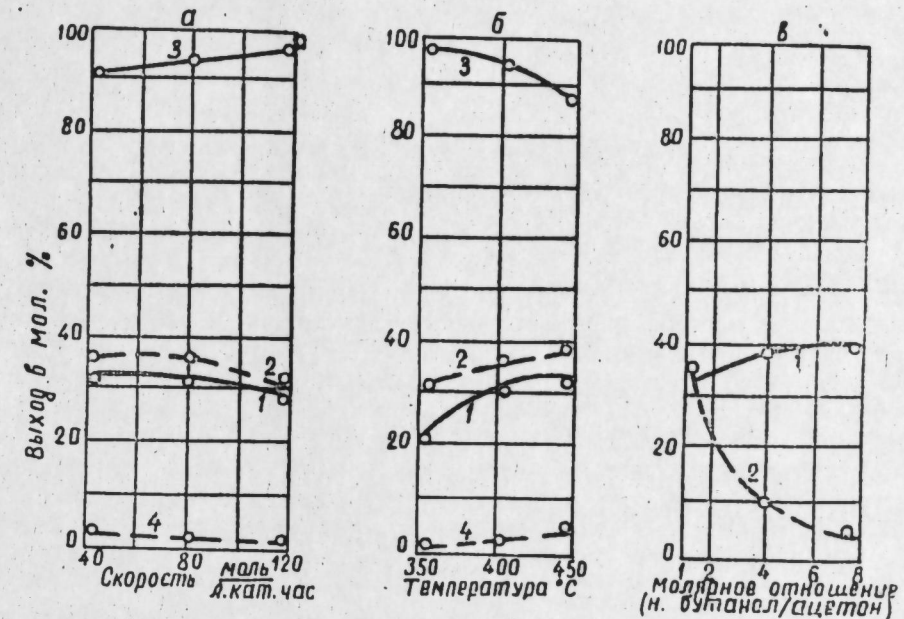


Рис. 2

Влияние различных параметров на процесс восстановления ацетона *n*-бутиловым спиртом:

- а) влияние скорости (t = 400°C, молярный состав 1 : 1);
 б) влияние температуры (скорость — 80 $\frac{\text{моль}}{\text{л кат. ч}}$, молярный состав 1 : 1);
 в) влияние состава (t = 400°C, скорость — 80 $\frac{\text{моль}}{\text{л кат. ч}}$)

1, 2 — выходы изопропилового спирта на пропущенный и превращенный ацетон; 2, 4 — выходы масляного альдегида на пропущенный спирт в процессах восстановления ацетона и дегидрогенизации *n*-бутилового спирта над MgO.

Восстановление ацетальдегида

В табл. 1 приведены результаты восстановления уксусного альдегида различными спиртами.

Как видно из полученных результатов, предельные алифатические спирты незначительно отличаются по своей активности как доноры водорода. Можно отметить активность циклогексанола в реакции восстановления ацетальдегида в этиловый спирт.

В продуктах реакции, особенно при температурах ~400°C, содержатся высококипящие компоненты, являющиеся, по всей вероятности,

продуктами конденсации ацетальдегида. В случае использования высших спиртов при -400°C происходит их частичное разложение.

Таблица 1

Спирт—донор водорода	Температура, $^{\circ}\text{C}$	Скорость, моль/л кат. ч	Молярное отношение спирта к ацетальдегиду	Выход этанола, моль. %	
				на пропущенный альдегид	на превращенный альдегид
н-Пропиловый	400	80	4:1	55	71
Вторично-бутиловый	350	120	4:1	29.2	89
н-Бутиловый	400	80	4:1	48	68
н-Амиловый	400	80	4:1	40.9	70
Изоамиловый	400	80	4:1	51	73
Циклогексанол	375	80	4:1	61	78
Аллиловый	400	120	4:1	25	63

Исследование реакций парофазного восстановления ацетона, н. масляного альдегида и уксусного альдегида в соответствующие спирты различными спиртами—донорами водорода позволяет предположить, что аналогичные реакции могут происходить и с высшими предельными альдегидами и кетонами.

Обсуждение результатов

Сравнение полученных результатов с данными, рассчитанными на основании термодинамических функций, произведено в табл. 2.

Таблица 2

Спирт—донор водорода	Акцептор водорода	Условия опыта			$K_{\text{пр}}$	K_T
		Температура, $^{\circ}\text{C}$	Скорость, моль/л кат. ч	Молярное отношение		
Этиловый	н-масляный альдегид	400	120	4:1	0.048	3,083
н-бутиловый	Ацетон	400	80	4:1	0.066	0.158
н-пропиловый	Ацетальдегид	400	80	4:1	0.410	0.231
Вторично-бутиловый		350	120	4:1	0.053	—
н-бутиловый		400	80	4:1	0.230	0.296
н-амиловый		400	80	4:1	0.109	0.256
Изоамиловый		400	80	4:1	0.264	—
Аллиловый		400	120	4:1	0.081	0.048
Циклогексанол		370	80	4:1	0.540	—

Термодинамические константы равновесия рассчитаны по формуле приближенного интегрирования:

$$K_T = 0,000733(\Delta H_{298} - \Delta Z_{298}) - \frac{298}{4,575 T} \quad [7]$$

Практические результаты представлены в таблице в виде констант, рассчитанных по формуле:

$$K = \frac{[\text{спирт}] [\text{альдегид}]}{[\text{спирт-донор водорода}] [\text{восстанавливаемый альдегид}]}$$

Общая характеристика спиртов как доноров водорода при восстановлении ацетальдегида, составленная на основании термодинамических расчетов, соответствует опытным данным. Здесь необходимо учесть, что термодинамические функции, лежащие в основе расчетов, взяты из данных, приведенных в статьях Чермина [H. A. G. Chermín 8,9]. Эти функции рассчитаны по эмпирическим формулам и расходятся со справочными данными [10, 11]. Поэтому результаты расчетов не могут претендовать на точность, а дают лишь общую характеристику.

Механизм жидкофазного восстановления альдегидов и кетонов установлен весьма четко. Он исходит из образования промежуточного циклического соединения, в котором карбонильная и спиртовая группа связаны через кислород с одним и тем же атомом алюминия, что обеспечивает возможность водородного обмена вследствие сближения двух углеродных атомов [2].

В основу объяснения механизма реакции парофазного переноса водорода [3] также положено условие, необходимое для близости углеродных атомов. Но полагают, что сближение их достигается за счет адсорбции не на одном и том же атоме магния, а на ближайших соседних ионах магния. При этом делается вывод о том, что катализатором реакции переноса водорода может служить поверхность, неактивная к реакциям гидрогенизации и дегидрогенизации.

Все сказанное подтверждают и опытные данные, полученные нами, но тот факт, что в результате восстановления карбонильных соединений спиртами при некоторых условиях выход альдегидов, соответствующих этим спиртам, несколько превышает количество, вычисленное в расчете на образовавшийся спирт, говорит о возможности одновременного протекания реакций переноса водорода и дегидрогенизации спирта на катализаторе MgO . Такое предположение становится более реальным, если учесть, что на указанном катализаторе дегидрогенизация спиртов происходит, хотя и не в значительной степени рис. 1 и 2 кривые 4.

Выводы

1. Исследованы реакции восстановления предельных альдегидов спиртами и найдены оптимальные условия.

ЛИТЕРАТУРА

- Чишибабин А. Е. Основные начала органической химии, т. 1. М., Госхимиздат. 1953.
- Бартошевич Р. и др. Методы восстановления органических соединений. М., Изд-во иностр. лит., 1960.
- Баллард С.; Финч Х., Униклер. Каталит. Труды первого международного конгресса. Изд-во иностр. лит., М., 1960.
- Ballard S. a. Finch H. de v. Peterson E. (Shell Dev. Co), США 2767221, 16. 10. 56.
- N. V. de Bataafsche Petroleum maatschapij Brit. 755600, aug. 22, 1956.
- Finch H. de V. Benedicta. (Shell Dev. Co) Пат. США 2779801, 20. 01. 57.
- Карапетян и М. Х. Химическая термодинамика. Госхимиздат, 1953.
- H. A. G. Chermín. "Petroleum Refiner" 40, №4, 1961.
- H. A. G. Chermín. "Petroleum Refiner" 40, №2, 1961.
- Веннер Р. Термохимические расчеты. М., Изд-во иностр. лит., 1950.
- «Краткий справочник физико-химических величин», ГНТИХЛ, Л., 1959.

Институт нефти и химии

Поступило 12. X 1963

Карбонил бирләшмәләринин бухар фазасында
спиртләрлә редуксија реаксијасы

ХУЛАСӘ

Мәгаләдә асетон, асеталдеңид вә јаф алдеңидинин мүхтәлиф спиртләр—һидрокен веричиләрлә мұвағиг спиртләрә редуксија реаксијасының иәтичәләри верилмишdir.

Мүәյҗән едилмишdir ки, бу заман қарбонил бирләшмәләринин мұвағиг спиртләрә һидрокен көчүрмә мәханизм илә редуксија реаксијасындан башга һидрокенверичи спиртләрни гисмән деңидрокенләшмәси реаксијасы да мушаңидә едилir. Фәрз едилir ки, аналоги олараг, бухар фазалы редуксија реаксијасыны башга дојмуш алдеңид вә кетонлара да аид етмәк олар.

АНАЛИТИЧЕСКАЯ ХИМИЯ

Г. Б. ШАХТАХТИНСКИЙ, Э. А. ДЖАФАРОВ, Г. А. ШАКАРОВ

ВЫБОР МЕТОДА ИЗВЛЕЧЕНИЯ ГАЛЛИЯ В ПРОЦЕССЕ
КОМПЛЕКСНОЙ ПЕРЕРАБОТКИ АЛУНИТОВ

(Представлено академиком АН Азербайджанской ССР М. Ф. Нагиевым)

Обычно содержание галлия в различных рудах находится в пределах тысячных долей процента, а потому может быть рентабельным лишь попутное извлечение его при комплексной переработке соответствующей руды. Следовательно способы извлечения галлия зависят от метода переработки основной руды. Ввиду этого кратко остановимся на принципе переработки алунитов, а затем — на вопросе выбора подходящего метода извлечения галлия в процессе комплексной переработки их.

Сущность принятого восстановительно-щелочного метода переработки алунита [1] заключается в следующем: дробленная алунитовая порода, содержащая около 50% чистого алунита, подвергается обжигу с целью удаления кристаллизационной воды и восстанавливается парами солярового масла при температуре 520—560°. Выделяющийся при этом сернистый газ идет на производство серной кислоты. Остаток (восстановленный алунит) подвергается выщелачиванию раствором щелочи с целью извлечения алюминия в виде алюмината. Этот процесс, называемый процессом Байера, широко применяется при производстве глинозема из бокситов и других видов сырья. При этом в щелочной раствор переходят и сульфаты калия и натрия, содержащиеся в исходном алуните, а следовательно, и в восстановленном алуните.

После соответствующей очистки щелочного алюминиатного раствора из него выделяется окись алюминия путем выкручивания при определенных условиях. Затем щелочной раствор подвергается концентрированию путем выпарки, при этом выделяются сульфаты калия и натрия, извлеченные ранее из алунита.

Раствор щелочи после отделения сульфатов щелочных металлов пускается в оборот для извлечения алюминия и щелочных солей из новой порции восстановленного алунита. Выделенные сульфаты калия и натрия смешиваются с раствором хлористого калия, в результате чего получаются сернокислый калий, как удобрительный материал, и хлористый натрий.

Как видно из указанного принципиального описания комплексной переработки алюнита, для извлечения гидрата окиси алюминия используется процесс Байера. При этом, как показали наши исследования, одновременно с алюминием извлекается также и галлий [2], концентрация которого возрастает при оборачивании щелочного раствора, и сколько-нибудь значительных потерь не наблюдается [3, 4]. Это накопление должно наблюдаться, как установлено для случаев комплексной переработки бокситов, до определенных пределов содержания галлия.

Алюминиевая промышленность служит наиболее важным источником для промышленного получения галлия. Производство глинозема относится к числу наиболее многотонажных производств, поэтому даже небольшое содержание галлия в сырье создает большие потенциальные источники для его получения. При производстве глинозема щелочные маточные растворы являются оборотными, поэтому эти растворы постепенно обогащаются галлием до значительных содержаний, при этом попутное извлечение галлия не требует больших дополнительных переделов. Извлечение галлия из алюминатных растворов имеет большое значение и для улучшения качества товарного металла, так как физические свойства галлия резко отличаются от физических свойств алюминия. Незначительные примеси галлия снижают механическую прочность алюминия при высоких температурах, особенно когда алюминий и его сплавы находятся под напряжением [5].

Как известно, при комплексной переработке бокситов на разных стадиях производства глинозема теряется тем больше галлия, чем выше его содержание в оборотных щелочах [6]. Таким образом при комплексной переработке алюнита также, как и при переработке бокситов, для лучшего извлечения галлия нужно непрерывно выводить из оборотных растворов столько галлия, сколько его поступает из руды в раствор. При этом для извлечения галлия также целесообразно использовать один из наиболее подходящих методов, получивших применение в процессе Байера.

Сообразно с этим приводим краткое описание основных методов извлечения галлия из оборотных щелочных растворов производства глинозема из бокситов, получивших широкое практическое применение.

Выделение галлия из оборотных алюминатных растворов путем фракционной карбонизации

Этот метод основан на большей кислотности галлия по сравнению с алюминием, галлат натрия устойчивее алюмината натрия. Ввиду этого для выделения галлия маточный алюминатный раствор подвергается фракционной карбонизации. В первой фракции карбонизации осаждается 90% глинозема, при этом галлий почти не осаждается. Осадок отделяется путем фильтрования. Раствор, полученный после первой карбонизации, подвергается вторичной карбонизации до полного осаждения оставшейся окиси алюминия и всего галлия. Эта смесь гидроокисей алюминия и галлия растворяется в едкой щелочи и направляется на электролиз с целью извлечения галлия [7]. Даже вместо непосредственной карбонизации оборотных растворов алюмината предлагалось обрабатывать их сначала окисью кальция в целях осаждения большей части алюминия в виде нерастворимого осадка алюмината кальция, практически свободного от галлия. После удаления алюмината кальция фильтрацией карбонизируют оставшийся прозрачный раствор и получают осадки, в которых содержание трехокиси галлия

достигает от 1 до 4% содержания глинозема [8]. Из полученного осадка можно выделить галлий различными методами.

Основным недостатком метода фракционной карбонизации является то, что при этом часть оборотных щелочных растворов выводится из цикла обращения и выделяется галлий путем добавления соответствующих реагентов. В результате получается малоценный содовый продукт. Другой недостаток указанного метода заключается в том, что получаются большие потери галлия. От 30 до 50% галлия теряется с известковым осадком и до 16% после прокаливания.

Для процессов, в которых алюминий выделяется из алюминатных растворов путем карбонизации, использование указанного метода имеет гораздо больший смысл. Но в случаях Байеревского процесса с применением выкручивания рассмотренный метод уменьшает оборачиваемость щелочных растворов и является невыгодным.

Принимая во внимание указанные основные недостатки извлечения галлия методом фракционной карбонизации нельзя рекомендовать этот метод для применения при вновь организуемом производстве глинозема на базе алюнитов; тем более при производстве глинозема из алюнитов предусматривается метод выкручивания.

Выделение галлия из оборотных щелочных алюминатных растворов путем электролиза с ртутным катодом

В настоящее время все большее и большее распространение получает метод выделения галлия электролизом с применением ртутного катода, разработанный Бретеком [9].

При переработке бокситов для выделения галлия из оборотных алюминатных растворов, содержащих 0,20 г/л галлия, разработаны следующие оптимальные условия электролиза: катодная плотность тока 0,45 а/дм², анодная плотность тока 20—60 а/дм², температура электролита 40—50°. Процесс электролиза проводится с перемешиванием электролита и ртути. Перемешивание ртути способствует деполяризации и ускорению диффузии галлия в ртуть. Выход по току галлия составляет 5—5,7% [9].

Нами было изучено выделение галлия методом электролиза с ртутным катодом из щелочных алюминатных растворов, содержащих большие количества сульфатов, с целью выяснения возможности применения этого метода при комплексной переработке алюнитов, ибо оборотные щелочные растворы при производстве глинозема из алюнита отличаются большим содержанием сульфатов щелочных металлов. Для этого были приготовлены искусственные растворы, содержащие, наряду с Al₂O₃ и Na₂O, также сульфаты калия и натрия. При этом в соответствии с составом алюминатных растворов производства глинозема из алюнита концентрация сульфатов доводилась в одном из растворов до насыщения сульфатом натрия, а в другом—сульфатом калия. Также исследовался раствор, насыщенный одновременно сульфатами калия и натрия. Для сравнения брались растворы с малым содержанием сульфатов, а также растворы, не содержащие их.

Приводим концентрации компонентов (г/л) в растворах:

	250	250	250	250	250
Na ₂ O	250	250	250	250	250
Al ₂ O ₃	100	100	100	100	100
Ga	0,315	0,314	0,315	0,312	0,300
N ₂ SO ₄	—	—	—	23,7	23,7
K ₂ SO ₄	—	7,25	10,9	—	2,54

Эти растворы были подвергнуты электролизу с применением ртутного катода. Электролиз растворов проводился в стеклянной ванне ёмкостью 0,8 л с рабочим объемом электролиза 0,5 л. Катод—ртуть тщательно очищенная от примесей; анодом служила никелевая пластина, расположенная вертикально в ванне. Перемешивание осуществлялось вращением стеклянной пропеллерной мешалки, нижние лопасти которой погружались в ртуть. Температура поддерживалась в пределах 40—50° с помощью термостата. Во всех опытах катодная и анодная плотности тока были соответственно 0,5 и 5 а/дм².

При этих условиях по мере пропускания тока через каждые 30 минут отбирались пробы из растворов и производилось определение концентрации галлия в растворе. На основании полученных результатов были построены кривые (рисунок).

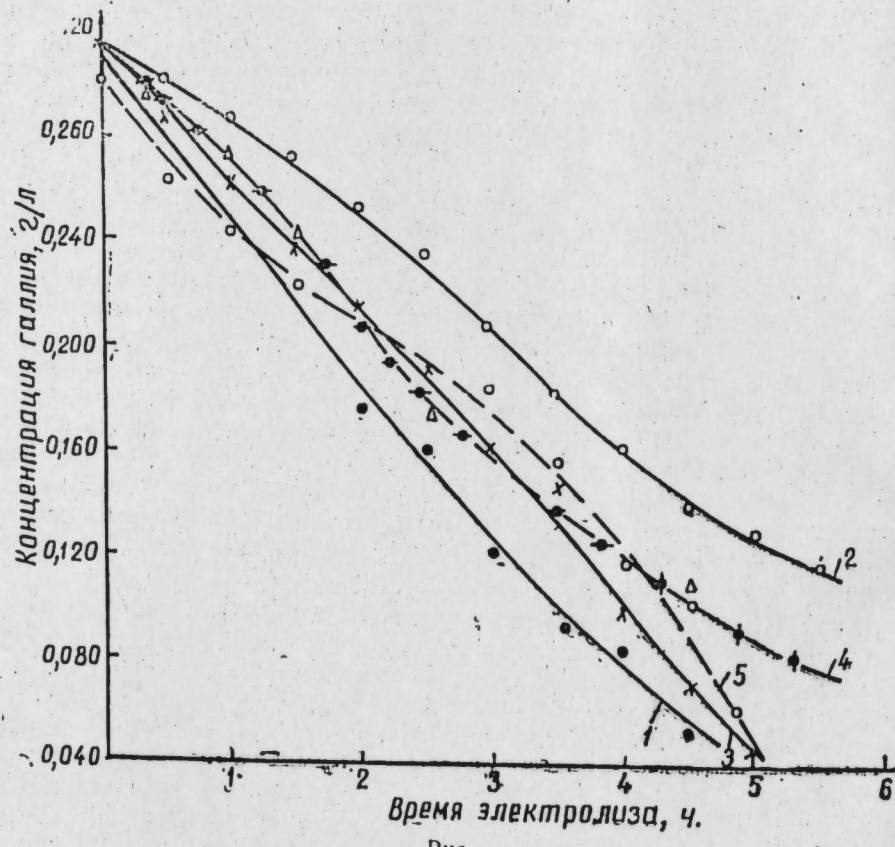


Рис.

Как видно из графика, содержание в растворе сульфатов не оказывает существенного влияния на извлекаемость галлия из раствора при электролизе. Средний выход по току галлия при изменении содержания его в растворе от 0,3 до 0,05 г/л составлял около 10—11%. Даже при малых концентрациях галлия в алюминато-галлатном растворе (0,04—0,05 г/л) выход по току сохраняется сравнительно высоким (8—10%).

Из рисунка видно, что кривая 1, соответствующая электролизу раствора, не содержащего SO_4^{2-} , по своему характеру мало отличается от кривых 2, 3, 4 и 5, которые получены при электролизе растворов, содержащих SO_4^{2-} . Наибольшее отклонение имеет кривая 2, которая получена при электролизе растворов, содержащего наименьшее коли-

чество SO_4^{2-} . Таким образом график с достаточной убедительностью показывает, что содержание SO_4^{2-} на выделение галлия методом электролиза с применением ртутного катода влияния не оказывает.

Следовательно, метод электролиза с ртутным катодом может быть рекомендован для выделения галлия при комплексной переработке алюминитов.

Выводы

1. Метод фракционной карбонизации, используемый для выделения галлия из оборотных щелочных алюминатных растворов при производстве глинозема из бокситов, для случая комплексной переработки алюминитов неприменим.

2. Установлено, что при извлечении галлия методом электролиза с ртутным катодом содержание сульфатов (даже в количествах, насыщающих раствор) не оказывает влияния на выход галлия и поэтому этот метод может быть рекомендован для выделения галлия из щелочных алюминатных растворов при комплексной переработке алюминитов.

ЛИТЕРАТУРА

- Лабутин Г. В. Изыскание и разработка методов использования алюминитов. Дисс., ВАМИ, 1955.
- Шахтахтийский Г. Б., Шакаров Г. А., Асланов Г. А. „Азерб. хим. журн.“, № 3 (1962).
- Шахтахтийский Г. Б. Гусейнзаде С. М., Шакаров Г. А. „Азерб. хим. журн.“, № 4, (1962).
- Шахтахтийский Г. Б., Асланов Л. А. Шакаров Г. А. „Азерб. хим. журн.“, № 1, (1962).
- Китлер И. Н., Лайнер Ю. А. Нефелины—комплексное сырье алюминиевой промышленности. Металлургиздат, 1962.
- Лайнер А. И., Производство глинозема. М., 1961.
- Патент США 2574008, 1951.
- Франц. патент 964009, 1948, 964344, 1948, 967404, 1948.
- La Vgeteque P. J. Metals, № 11, 1528 (1956).

Институт химии

Поступило 16.X 1963

Н. Б. Шахтахтийский, Е. Э. Чәфәров, Н. Э. Шәкәров

Алюминитләрин комплекс е'малы просесиндә галлиумун чыхарылмасы

ХҮЛАСӘ

Алюминитләрин комплекс е'малы просесиндә галлиуму чыхартмаг үчүн мұхтәлиф методларын тәтбиг олунмасыны мүмкүнлүjү өjренилмишdir.

Мұәллифләр көстәриләр ки, бокситләрки комплекс е'малы просесиндә дөнәр гәләви алюминат мәһілүлудан галлиуму чыхартмаг үчүн истифадә олунан мәрһәләли карбонизасија үсүлү алюминитләрин комплекс е'малы просеси үчүн истифадә олuna билмәз.

Мүәjjән едилмишdir ки, электролиз үсүлү илә (чиw катод тәтбиг етмәклә) галлиумун дөнәр гәләви мәһілүлдан чыхарылмасына сульфат дүзләрү манечилик көстәрмир вә она көрә дә бу үсүл алюминитләрин комплекс е'малы просесиндә дөнәр гәләви мәһілүлдан галлиумун чыхарылмасы үчүн тәклиф олунур.

ГЕОЛОГИЯ НЕФТИ

А. С. РАГИМОВ

О ВОЗМОЖНОЙ НЕФТЕГАЗОНОСНОСТИ ВЕРХНЕЙ ЮРЫ
В МЕЖДУРЕЧЬЕ ТЕРТЕР И АРАКС (СЕВЕРО-ВОСТОЧНОЕ
ПРЕДГОРЬЕ М. КАВКАЗА)

(Представлено академиком АН Азербайджанской ССР А. А. Али-заде)

Вопрос о нефтегазоносности юрских отложений северо-восточного предгорья М. Кавказа до последних лет оставался неизученным, тогда как во многих местах с коллекторами этого возраста связаны промышленные залежи нефти и газа. Необходимо подчеркнуть, что причинами пренебрежения возможностью нефтегазоносности юрских отложений северо-восточного предгорья М. Кавказа являлись: отсутствие каких-либо нефтегазопроявлений, связанных с этими отложениями и наличие в разрезе юры мощных комплексов вулканогенных пород. После того, как были установлены промышленные нефтегазовые залежи, связанные с трещиноватыми коллекторами, верхнеюрские карбонатные породы М. Кавказа приобрели определенный интерес в смысле ловушек для нефти и газа [2, 3, 8].

В работах, посвященных нефтегазоносности верхнеюрских отложений М. Кавказа [2, 3, 8], основное внимание уделяется коллекторским свойствам этих пород, а вопрос о возможности существования благоприятной палеогеографической и геотектонической обстановки в юрское время, при которой происходило накопление исходного для нефти и газа органического материала, не рассматривается.

Следует отметить, что по вопросу образования нефти в карбонатных фациях имеются также слишком скучные литературные данные. Все высказывания по этому поводу обобщены в статье В. В. Вебера и А. И. Горской [6]. В последней работе доказана возможность битумообразования в осадках карбонатных фаций на основании геохимических исследований.

Учитывая возможности сингенетической нефтегазоносности верхнеюрских карбонатных пород северо-восточного предгорья М. Кавказа мы ставили цель выяснить вопрос: существовали ли в юрское время благоприятные геотектонические и палеогеографические условия для накопления исходного органического материала? С этой целью в течение четырех лет (1959—1962 гг.) детально изучали разрезы мезозойских отложений исследуемой территории.

Юрские отложения на М. Кавказе имеют широкое развитие. Если нижняя и средняя юра, развитые в основном в центральных водораздельных частях М. Кавказа, выражены главным образом вулканогенными формациями [9] и не представляют никакого интереса в отношении нефтегазоносности, то верхнеюрские трещиноватые карбонатные породы, имеющие особенно широкое распространение в северо-восточных предгорьях, где складчатость носит спокойный характер, приобретают большое практическое значение.

Детальные разрезы карбонатной части верхней юры нами сняты у с. Храморт, восточнее с. Гюлаблы, на возвышенности Кызылкая и по реке Козлучай, близ с. Каракеллы.

Анализ полученных материалов позволил сделать предварительное заключение о характере трещиноватости, литофациальной изменчивости, геотектонических и геохимических условий седиментации верхне-юрских отложений, что служило основой для оценки нефтегазоносности последних.

Разрез верхнеюрских отложений в районе с. Храморт выражен серыми, светло-серыми, розовато-серыми, бледно-розовыми плотными, толстослоистыми, часто кристаллическими известняками, нередко встречаются отдельные прослои туфогенного (25—30 см) и сильноизвестковистого песчаника (70—80 см). Общая мощность карбонатной части разреза верхней юры здесь достигает 350 м. По мере продвижения в юго-восточном направлении от разреза с. Храморт известняки становятся заметно трещиноватыми (около с. Гюлаблы); трещины обычно заполнены кальцитом и песком. Известняки разреза с. Гюлаблы относительно менее кристаллизованы и слабо доломитизированы. Здесь наблюдаются также маломощные прослойки туфопесчаника, кристаллического известняка и известковистого песчаника. Общая мощность снятого разреза 334 м.

Петрографическое изучение известняков показывает, что разрез с. Храморт целиком состоит из дегритовых известняков, а в верхней части разреза с. Гюлаблы появляются так называемые дегритово-густковые известняки [8].

В районе г. Кызылкая, находящейся юго-восточнее разреза с. Гюлаблы, отмечается сильная трещиноватость пород, представленных серыми, светло-серыми, желтовато-серыми, сильноизвестковистыми плотными окварцованными и доломитизированными известняками. Трещины имеют различные направления, местами заполнены кальцитом, известковистыми тонкозернистыми песками. Встречаются также кавернозные и стилолитовые швы. Известняки иногда переслаиваются отдельными прослойками глин. Мощность всего разреза составляет 296 м.

Южнее разреза г. Кызылкая, в районе с. Каракеллы, разрез верхней юры в отличие от всех предыдущих разрезов, начинается мощной пачкой серых, желтовато-серых, розоватых толстослоистых крупнозернистых, косослоистых обломочных известняков с небольшими прослойками плотных песчаников (рисунок). В пачке иногда встречаются пласты с включением многочисленных галек. Выше этой пачки залегает мощная толща карбонатных пород, которая макроскопически составляет монотонную литофацию. Общая мощность каракеллинского разреза достигает 410 м.

Петрографическое изучение [8] показало, что эта мощная, на первый взгляд монотонная толща, в низах состоит из дегритовых известняков, а выше следуют дегритово-густковые известняки. В районе же г. Кызылкая таковые отмечаются лишь в самых низах

разреза. Основная же часть кызылкинского разреза выражена густковыми и крупнозернистыми известняками.

Необходимо подчеркнуть, что в более южных районах в верхней части верхнеюрского разреза отмечаются вулканогенные породы, состоящие в основном из порфиритов, туфов и туфопесчаников, которые постепенно исчезают в северном направлении.

В начале юры, после герценского субплатформенного развития территории Малого Кавказа с прилегающими участками нынешней Куринской впадины вступает в стадию геосинклинального режима [7].

Так называемая Антикавказская геосинклиналь в средней юре уже охватывает всю исследуемую территорию. Последняя отделяется от геосинклиналии Главного Кавказа крупной Куринской сушей, служившей основным источником сноса терригенного материала в юрские седиментационные бассейны. В средне-юрской эпохе Антикавказская геосинклиналь характеризуется интенсивным подводным вулканализмом, обусловившим накопления исключительно мощной, до 5000—6000 м, толщи разнообразных лав. В это время наблюдается оживление восходящих тектонических движений, приводящих к формированию внутренних поднятий, таких как Шамхорское, Аллавердинское и др. К концу средней юры вулканическая деятельность в пределах Антикавказской геосинклиналии заметно ослабевает и наряду с образованием вулканогенных пород встречаются отложения также и глинистых осадков. Начало верхней юры характеризуется усиленными поднятиями внутренних выступов и образованием узких геосинклинальных прогибов (Дашкесанский, Агджакендский, Мартуниинский и др.). В южной части исследуемой территории в начале верхней юры (келловей и оксфорд) еще продолжается вулканическая деятельность, но в весьма ограниченных размерах, чем в средней юре. Вероятно, влияние вулканализма к северу, ближе к Куринской суще, было весьма незначительным. Это подтверждается уменьшением количества вулканогенных материалов в разрезе келловей-оксфорда с юга на север. Среднекуринская суша в юрское время была сложена палеозойскими метаморфическими породами [1].

Разрезы верхней части верхней юры, выраженные почти целиком из карбонатных пород, свидетельствуют, во-первых, о полном прекращении вулканической деятельности в северной части Антикавказской геосинклиналии; во-вторых, о пологом и выравненном склоне Куринской сушки, которая в течение всего отрезка времени отложения мощных карбонатных толщ (лузитан, кимеридж, титон) не могла поставлять сколько-нибудь значительного количества обломочных материалов. Мелководность бассейна, с одной стороны, и постепенное и длительное погружение, обусловившее накопление мощной толщи карбонатных пород, с другой стороны, являлись необходимыми условиями накопления и захоронения исходного органического материала для нефти и газа. На пышное развитие органического мира в это время



Рис.

благоприятно действовали также теплый климат и равнинный рельеф, о чем свидетельствуют также дегритовые известняки. Эти палеогеографические и геотектонические соображения указывают на нефтематеринский характер карбонатной толщи верхней юры. Об этом свидетельствуют битуминологические исследования образцов.

Люминесцентно-битуминологическим исследованиям подвергались в основном плотные известняки со светлыми оттенками, а также глины и песчаники. В результате установлены следы рассеянного битума, более или менее повышенное значение которого отмечается в разрезах г. Кызылкая и Каракеллы. Высокое содержание битума встречается именно в известняках (таблица)*.

В известняках наблюдается маслянистый и легкий маслянистый битумы. Кроме того, в известняках и глинах реже встречаются осмоленный, среднеосмоленный и слабоосмоленный типы битума.

Таблица

Участки снятых разрезов	К-во исслед. обр.	Литологический тип и характер породы	Содержание битума, % от — до	Тип битума
Храморт	9	Белесоватый, розовый, плотный, кристаллизованный, слаботрещиноватый известняк	0,000156—0,000625	Не установлен
Гюлаблы	16	Серый, бледно-розовый, плотный, слабодоломитизированный известняк	0,000156—0,000313	Не установлен
Кызылкая	11	Сильно песчанистые, сильно трещиноватые, доломитизированные известняки	0,000156—0,0025	3 образца маслянистого ост. не устан.
Каракеллы	13	То же и серые, сильно известковистые, трещиноватые кавернозные песчаники	0,000313—0,0025	маслянистые, легкие маслянистые, слабоосмол., осмоленные

В общем преобладают маслянистые битумы, характерные для нефтяного ряда. Вероятно, низкое содержание битумов связано с выветриванием последних в обнажениях.

Присутствие битумов в образцах верхнеюрских карбонатных пород свидетельствует о благоприятной геохимической обстановке их накопления.

Таким образом, как геотектонический режим и палеогеографическая обстановка, так и геохимические условия седиментации благоприятствовали образованию нефтепроизводящих свит в разрезе верхней юры северо-восточного предгорья Малого Кавказа, в частности, в междуречье Тертер и Аракс.

Учитывая улучшение литофациальной характеристики и трещиноватости карбонатных пород верхней юры в направлении с юга на север, т. е. от горных обрамлений к низменной части современной Куринской депрессии, можно полагать, что эти отложения наиболее перспективными окажутся на структурах Советляр, Агджабеды. Этому выводу не противоречат также данные предыдущих исследователей [2, 3].

* Анализы производились в АзНИИ ДН.

ЛИТЕРАТУРА

- Алиев А. Г. «ДАН СССР», № 5, т. 126, 1959.
- Али-Заде А. А. и др. «Изв. АН Азерб. ССР, сер. геол.», № 3, 1962.
- Астафатуров С. А. АНХ, № 10, 1960.
- Ахмедов Г. А. АНХ, № 5, 1960.
- Вебер В. В. Горская А. И. «Сов. геология», № 6, 1963.
- Основные вопросы тектоники Армении. Изд. АН Арм. ССР, 1959.
- Габриелян А. А. Критический анализ и обобщение геологического материала по Кировабадской нефтегазоносной области и Талышу. Отчет АзНИИ ДН, 1962.
- Шихалибейли Э. Ш. Юрские отложения Азербайджана. Труды конф. по вопросам региональной геологии Закавказья, Баку, 1952.

АзНИИ по добыче нефти

Поступило 16. IX 1963

А. С. Рэнимов

Тәртәр вә Араз чајарасында (К. Гафгазын Ш. Шр. јамачы) Үст Іуранын нефтлилиji һағында

ХУЛАСӘ

Тәртәр вә Араз чајарасы саңәдә Үст Іура чөкүнүләри әсасен әһәнкдашыларындан ибәрәтдир. Соң вахтларадән бу сүхурларын нефтлилиji һағында неч бир мә'лумат верилмиреди. Қеоложи әдәбијатда Іура чөкүнүләринин нефт вә газ жатаглары учун јалныз „тәлә“ ола биләчәji сөјләнилди.

Апардығымыз тәдгигатларын қеотектоники, палеочографи вә қеоким-жәви анализы Іура чөкүнүләриндә синкенетик нефтин әмәлә қәлмәсими субут едир.

Нефт ахтарышы учун үст Іура карбонатлы фасијасынын кениш жаылдығы Советләр, Ағчабәди структурлары бәйүк перспективә маликидир.

ГЕОЛОГИЯ

М. Р. АБДУЛЛАЕВ

К ВОПРОСУ РАСПРЕДЕЛЕНИЯ БИТУМОВ И ОРГАНИЧЕСКОГО УГЛЕРОДА В ОТЛОЖЕНИЯХ САРМАТСКОГО ЯРУСА В ЗОНЕ ЧАТМИНО-ГЕОКЧАЙСКОГО АНТИКЛЮНИРИЯ

(Представлено академиком АН Азербайджанской ССР Ш. Ф. Мехтиевым)

Практика отечественных и зарубежных геологов-нефтяников показывает, что для теоретического обоснования перспектив нефтегазоносности отдельных горизонтов, наряду с другими геологическими факторами важное значение имеет изучение в породах рассеянных битумов и органического углерода.

Отложения сарматского яруса, обнажаясь в западной части Чатмино-Геокчайского антиклиниория, характеризуются многочисленными проявлениями нефти и газа на поверхности, которые носят региональный характер; в восточной части эти отложения, ввиду их глубокого залегания, не обнажаются, т. е. скважинами не вскрыты [3].

Исходя из этого, для обоснования перспектив нефтегазоносности сарматских отложений восточной части антиклиниория, изучение количественной и качественной характеристики рассеянного органического вещества в них приобретает важное значение.

В лаборатории битуминологии и спектрального анализа АзНИИ ДН по нашим полевым сборам и (Саждаг, Армудлы, Чобандаг и др.), а также по керновым материалам (пл. Армудлы) произведены анализы битумов и органического углерода.

Кроме того, для сравнения нами использованы результаты работ предыдущих исследователей по битуминологическим анализам пород сарматского яруса.

Ниже приводится описание по подъярусам распределения рассеянных битумов и органического углерода по разрезу отложений сарматского яруса Чатмино-Геокчайского антиклиниория.

Рассеянный битум в породах нижнего сармата определен нами в разрезах Саждаг и Армудлы.

В разрезе Саждаг количественное содержание битумов в глинах нижнесарматского подъяруса составляет 0,002—0,007 %, в песчаниках—0,000313—0,000625 %. В глинах и песчаниках битумы имеют маслянистый характер.

В разрезе Армудлы количественное содержание битумов в глинах нижнесарматского подъяруса составляет 0,000156—0,015%, в песчаниках—0,000156—0,01%. В глинах и песчаниках битумы в основном имеют маслянистый характер; асфальтово-осмоленные компоненты занимают подчиненное положение. Содержание органического углерода в глинах колеблется в пределах от 0,11 до 0,82%, в песчаниках — от 0,14 до 1,25%. Среднее содержание органического углерода в глинах—0,50%, в песчаниках—0,70%.

В разрезе Молладаг образцы пород нижнесарматского подъяруса характеризуются относительно высоким содержанием битума, в среднем 0,156%. В отдельных случаях содержание его доходит до 1,25%. Битумы маслянистые, маслянисто-осмоленные, в большинстве случаев парафинистые. Содержание органического углерода доходит до 6,82% [2].

Рассеянный битум среднего сармата определен нами в разрезах Саждаг, Армудлы и Чобандаг.

В разрезе Саждаг образцы пород среднесарматского подъяруса представлены глинами и песчаниками с содержанием битумов 0,000625—0,01%. В глинах и песчаниках битумы имеют исключительно маслянистый характер.

В разрезе Армудлы количественное содержание рассеянных битумов в глинах среднесарматского подъяруса колеблется в широких пределах—от 0,0002 до 0,04%; в песках и песчаниках—от 0,000156 до 0,007%. Изучение компонентного состава битумов среднесарматского подъяруса в Армудлах показывает преобладание маслянистых компонентов; асфальтово-смолистые компоненты занимают подчиненное положение. Содержание органического углерода в глинах колеблется в пределах от 0,9 до 2,09%, а в песчаниках от 0,10 до 2,38%. Среднее содержание органического углерода в глинах—0,38%, а в песчаниках—0,41%. Породы известково-мергелистой литофации характеризуются высоким содержанием органического углерода, досягающим до 5,4%.

В разрезе Чобандаг количественное содержание рассеянных битумов в глинах среднесарматского подъяруса составляет 0,005—0,007%, в песках и песчаниках—0,000156—0,00125%. В глинах и песчаниках битумы в основном имеют маслянистый характер.

В разрезе хр. Ахтахтатапа образцы пород среднесарматского подъяруса характеризуются содержанием битума в среднем 0,0025%. В отдельных случаях содержание его доходит до 0,08%. Битум исключительно маслянистый. Содержание органического углерода доходит до 0,36% [2].

Рассеянный битум в породах верхнего сармата определен нами в разрезах Армудлы, Саждаг, Чобандаг, Катар и Тюлькитапе.

В разрезах Армудлы количественное содержание рассеянных битумов в глинах среднесарматского подъяруса колеблется от 0,000156 до 0,01%; в песках и песчаниках—от 0,000313 до 0,007%. В глинах и песчаниках битумы в основном имеют маслянистый характер. Содержание органического углерода в глинах колеблется в пределах от 0,01 до 1,07%, а в песчаниках от 0,02 до 0,20%. Среднее содержание органического углерода в глинах—0,13%, а в песчаниках—0,10%.

В разрезе Саждаг количественное содержание рассеянных битумов верхнесарматского подъяруса в песчаниках—0,000156%.

В разрезе Чобандаг количественное содержание рассеянных битумов верхнесарматского подъяруса в глинах и песчаниках составляет 0,000156—0,00125%. Тип битума установить в основном не удалось.

В разрезе Катар количественное содержание рассеянных битумов в глинах и песчаниках верхнесарматского подъяруса колеблется от 0,0025 до 0,01%; битумы имеют исключительно маслянистый характер.

В разрезе Тюлькитапе количественное содержание битумов в глинах и песчаниках верхнесарматского подъяруса колеблется от 0,007 до 0,08%. В данном разрезе в одном образце количественное содержание битума доходит до 1,56%. В глинах и песчаниках битумы в основном имеют маслянистый характер.

Как видно из описания, изученные нами отложения сарматского яруса по разрезам площадей Армудлы, Саждаг, Чобандаг, Катар, Тюлькитапе и др. сравнительно богаты органическим веществом. Содержание битума в породах изменяется в пределах от 0,000156% до 1,56%. Сравнительно в большом количестве встречен и органический углерод—0,10—6,82%.

Изучение распределения рассеянного битума и органического углерода в породах сарматского яруса показывает, что количественное содержание их на отдельных площадях Чатмини-Геокчайского антиклиниория, начиная с запада на восток, значительно увеличивается, а это позволяет заключить, что в восточной части Чатмини-Геокчайского антиклиниория в век отложений осадков сарматского яруса накапливалось достаточное количество органического вещества, которое при соответствующих условиях могло преобразоваться в залежи нефти и газа.

Кроме того, породы сарматского яруса характеризуются хорошей отсортированностью, отмеченностью глинистых осадков. Изложенное, наряду с другими геологическими соображениями, позволяет нам прийти к заключению, что осадки сарматского яруса в восточной части исследуемой области формировались в восстановительных геохимических условиях, благоприятствующих накоплению и преобразованию исходного органического вещества по пути битумонефтеобразования. Более того, доказательством нефтегазопroducingего характера отложений сарматского яруса в восточной части Чатмини-Геокчайского антиклиниория может служить их региональная нефтегазоносность в западной части антиклиниория.

ЛИТЕРАТУРА

1. Абдуллаев М. Р. К вопросу о перспективах нефтегазоносности сарматских отложений Чатмини-Геокчайского антиклиниория. ДАН Азерб. ССР, № 10, 1962.
2. Агаджанов М. Г., Мамедов А. В. Геология и нефтегазоносность западного Азербайджана. Азернефтер, 1960.
3. Годовые отчеты АзНИИ по добыче нефти, 1962.
4. Мехтиев Ш. Ф. Вопросы происхождения нефти и формирования нефтяных залежей Азербайджана. Изд. АН Азерб. ССР, 1956.

Поступило 5. VIII 1963.

Институт геологии

М. Р. Абдуллаев

Чатма-Көйчай антиклиниориси зонасының сармат мәртәбәси чөкүнүтүләриндө битумун вә үзви карбонун пајланмасы мәсәләсинә даир

ХУЛАСА

Мәғаләдә Чатма-Көйчай антиклиниорисинин Саждаг, Армудлу, Чобандаг вә башга структурларында сармат чөкүнүтүләриндө үзви маддәләрин Яйымасы вә онларын кејфијети һағында мә'лumat берилir.

Бу антиклиниоријаны айры-айры структурларында сармат чөкүнүтүләриндө үзви маддәләрин мигдары вә кејфијети гәрбдән шәргә тәрәф յашылашыр; битумлары мигдары 0,000156—1,56, Сорг. мигдары исә 0,10—6,82% арасында дәшишir.

АГРОКИМЈА

А. О. МӘММӘДОВ

**НЕФТ БОЈ МАДДЭСИНИН ПАХЛАЛЫ ЖЕМ БИТКИЛЭРИНИН
КИМЈЭВИ ТЭРКИБИ ВӘ ЖЕМ ВАҢИДИНӘ ТӘ'СИРИ**

(Азәрбајҹан ССР ЕА академики Ч. М. Һүсәјнов тәгдим етмишdir)

Сов. ИКП март (1962-чи ил) Пленумунун гәрарында көстәрилир: „Биткиләри жем кејфијәтинә көрә дүзкүн сечмәк, әкин јерләринин һәр һектары несабы илә вә чәкилмиш зәһмәтин мүгабилиндә бу вә ја башга бир биткиниң нә гәдәр жем ваңиди вердијини несабламаг лазымдыр. Џалныз бу шәраитдә тәсәррүфаты ағыллы идарә етмәк, мәһсүл истеңсалынын дурмадан артмасыны тә'мин етмәк, колхоз вә совхозун инишиаф перспективини көрмәк мүмкүндүр“.

Бу мәгсәдлә дә нефт бој маддәсинин јончанын, хашанын вә чөл нохудунун тәркибиндә зұлала, хам күлә, селлүлозаја вә һектардан һасил олан жем ваңидинин мигдарына тә'сир етмәсими өјрәнмәк үчүн тәчрүбә ғојулмушшур.

Јонча вә чөл нохуду биткиләр илә тәчрүбәләр Норашен рајонунун гәдимдән суварылан боз торпагларында, хаша биткисилә Җулфа рајонунун шабалыды торпагларында апарылмышдыр. Тәчрүбәләр 4 тәк-рарда олмушшур. Пахлалы жем биткиләринин векетасија дөврүндә бој маддәсинин 0,005, 0,01 вә 0,05%-ли мәһлүллары һектара 500 л несабы илә чиләнмишdir.

Јонча биткисинин кимјэви тәркибинә, һектардан һасил олан жем ваңидинә вә протениә бој маддәсинин тә'сири 1-чи чәдвәлдә көстәрилишdir.

1-чи чәдвәлдән көрүндүjү кими, бој маддәсинин 0,005%-ли мәһлүлү чиләнмиш вариандада биткиләрин тәркибиндә 1961-чи илдә хам күл 0,28%, зұлал 0,55%, 1962-чи илдә хам күл 0,28%, зұлал 0,43%, бој маддәсинин 0,01%-ли мәһлүлуну чиләдикдә 1961-чи илдә хам күл 0,39%, зұлал 1,0%, 1962-чи илдә хам күл 0,41%, зұлал исә 0,93% 170% су чиләнмиш контрол вариандакы биткиләрдәкиндән соx олмушшур. Рәгемләрдән контрол вариандакы биткиләрдәкиндән соx олмушшур. Рәгемләрдән айдын олур ки, јонча биткисине бој маддәсинин 0,01%-ли мәһлүлуну чиләдикдә 1961-чи илдә селлүлозанын мигдары 1,65%, 1962-чи илдә 170% су чиләнмиш контрол вариандакы биткиләрә иисбәтән азалмышдыр.

Селлүлозанын азалмасы вә зұлалын артмасы јонча биткисинин жем кејфијәтинин жаҳышлашмасына сәбәб олмушшур. Нефт бој маддәси-

ниин юнча биткисинэ чиләнмәси һектардан һасил олан јем ваһидини вә протенин мигдарыны артырыр. Белә ки, юнча биткисинэ 0,005%-ли бој маддәсни чиләндикдә 617,4 кг јем ваһиди, 146,2 кг протеин вә јахуд 0,01%-ли бој маддәсни чиләндикдә һәр һектарда 1205,4 кг јем ваһиди, 285,4 кг протеин су чиләнмиш контрол варианта нисбәтән артыг һасил олмушдур.

1-чи чәдвәл

Бој маддәснини чиләмә үсулу илә тәтбиг едилемесинин юнча биткисинин кимјәви тәркибинә, һәр һектардан һасил олан јем ваһидине тә'сири

Тәчрубәнин схеми	Мүтләг гуру маддәлә, %-ла												
	1961				1962								
	Игрокопик су	хам күл	хам селлүлоза	азотсуз экстрактив маддәләр	Игрокопик су	хам күл	хам селлүлоза	азотсуз экстрактив маддәләр	Игрокопик су	хам күл	хам селлүлоза	азотсуз экстрактив маддәләр	
Контрол (су)	9,13	6,52	24,25	13,20	46,90	9,15	6,49	24,30	3,22	46,84	57,4	2813	666
0,005 %-ли НБМ	9,10	6,80	23,67	13,75	46,68	9,10	6,77	23,70	13,70	46,73	70,0	3430	812
0,01 %-ли НБМ	9,11	6,91	22,60	14,20	47,18	9,05	6,90	22,66	14,15	47,24	82,0	4018	951
0,05 %-ли НБМ	9,13	6,85	22,58	14,12	47,33	9,05	6,85	22,54	14,16	47,40	83,5	4092	969

Бој маддәснин хаша биткисинин кимјәви тәркибинә, һектардан һасил олан јем ваһидини мигдарына вә протенинә тә'сири 2-чи чәдвәлдә верилмишdir.

2-чи чәдвәлдәки рәгемләрдән айдын олур ки, хаша биткисинә бој маддәснин 0,005%-ли мәһлүлүнү чиләндикдә онун тәркибиндә 1961-чи илдә зұлал 0,43%, хам күл 0,40%, 1962-чи илдә зұлал 0,43%, хам күл 0,39%, бој маддәснин 0,01%-ли мәһлүлүнү чиләндикдә исә биткисин тәркибиндә 1961-чи илдә зұлал 0,84%, хам күл 0,52%, 1962-чи илдә зұлал 0,90%, хам күл 0,52% су чиләнмиш контрол варианта биткиләрдә нисбәтән артыг олмушдур. Бој маддәснин бир һектар саһәдән һасил олан јем ваһидини вә протенин мигдарына тә'сири дә контрол варианта нисбәтән артыг олмушдур.

2-чи чәдвәл

Бој маддәснин чиләмә үсулу илә тәтбиг едилемесинин хаша биткисинин кимјәви тәркибинә вә һәр һектардан һасил олан јем ваһидине тә'сири

Тәчрубәнин схеми	Мүтләг гуру маддәлә, %-ла												
	1961				1962								
	Игрокопик су	хам күл	хам селлүлоза	азотсуз экстрактив маддәләр	Игрокопик су	хам күл	хам селлүлоза	азотсуз экстрактив маддәләр	Игрокопик су	хам күл	хам селлүлоза	азотсуз экстрактив маддәләр	
Контрол (су)	7,61	5,41	30,50	13,48	43	7,58	5,44	30,25	13,50	43,23	42,6	2300	452
0,005 %-ли НБМ	7,65	5,81	29,91	13,91	42,73	7,60	5,82	29,88	13,93	42,77	50,9	2749	539
0,01 %-ли НБМ	7,63	5,93	29,02	14,32	43,10	7,62	5,96	29,04	14,40	42,98	61,9	3343	656
0,05 %-ли НБМ	7,67	5,95	29,10	14,35	42,93	7,61	5,95	29,06	14,39	42,99	63,3	3418	671

Белә ки, хаша биткисинә бој маддәснин 0,005%-ли мәһлүлүнү чиләндикдә һәр һектарда јем ваһиди 448,2 кг, протеин 88 кг вә бој маддәснин 0,01%-ли мәһлүлүнү чиләндикдә јем ваһиди 1042,2 кг, протеин 119,4 кг контрол варианта нисбәтән артыг олмушдур. Аңаг бој маддәснин тә'сириндән селлүлоза 1,3—1,5% контрол варианта биткиләрә нисбәтән азалмышдыр.

Чөл нохуду биткисинин кимјәви тәркибинә бој маддәснин тә'сирини өјрәнмәк үчүн битки нүмүнәләри көтүрүлмүш, бу нүмүнәләр анализ едилемиш вә нәтижеси 3-чү чәдвәлдә верилмишdir.

3-чү чәдвәлдән көрүнүдү жиһиз, чөл нохуду биткисинә бој маддәснин 0,005%-ли мәһлүлүнү чиләндикдә 1962-чи илдә биткисин тәркибиндә хам күл 0,25%, зұлал 0,64%, 1963-чү илдә хам күл 0,32%, зұлал 0,47% вә бој маддәснин 0,01%-ли мәһлүлүнү чиләндикдә 1962-чи илдә хам күл 0,61%, зұлал 1,53%, 1963-чү илдә хам күл 0,56%, зұлал 1,32% адису чиләнмиш контрол варианта биткиләрдәкүнә нисбәтән артыг олмушдур. Аңаг бој маддәснин тә'сириндән селлүлоза 1,45—1,48% контрол варианта биткиләрә нисбәтән азалмышдыр. Көстәрилди жиһиз, зұлалын вә хам күлүн хаша биткисинин тәркибиндә артмасы вә бунун әксинә оларға селлүлозанын азалмасы хаша биткисинин јем кеңијүәттеги бир даһа јаңышылашмасына сәбәб олур.

3-чи чәдвәл

Бој маддәснин чиләмә үсулу илә тәтбиг едилемесинин чөл нохуду биткисинин кимјәвім тәркибинә вә һәр һектардан һасил олан јем ваһидине тә'сири

Тәчрубәнин схеми	Мүтләг гуру маддәлә, %-ла												
	1961				1962								
	Игрокопик су	хам күл	хам селлүлоза	азотсуз экстрактив маддәләр	Игрокопик су	хам күл	хам селлүлоза	азотсуз экстрактив маддәләр	Игрокопик су	хам күл	хам селлүлоза	азотсуз экстрактив маддәләр	
Контрол (су)	7,93	5,30	28,50	13,10	45,17	8,02	5,15	28,20	13,60	240,7	247	3129	602
0,005 %-ли НБМ	7,95	5,55	28,19	13,74	44,57	8,04	5,47	27,50	14,07	280	280	3640	700
0,01 %-ли НБМ	7,97	5,91	27,05	14,63	44,44	8,04	5,71	26,72	14,92	342,7	347	4455	857
0,05 %-ли НБМ	7,97	5,90	27,10	14,60	44,43	8,05	5,70	26,76	14,94	354,2	352	4607	886

Мүхтәлиф ғаизли бој маддәснин чөл нохуду биткисин чиләнмәснин бир һектардан һасил олан јем ваһиди вә протенин мигдарына тә'сири несабланаркән айдын олду ки, бој маддәснин 0,005%-ли мәһлүлүнү чиләнмиш варианта 510,9 кг јем ваһиди, 99,3 кг протеин вә бој маддәснин 0,01%-ли мәһлүлүнү чиләндикдә 1326 кг јем ваһиди, 255 кг протеин адису чиләнмиш контрол варианта нисбәтән артыг көтүрүлмүшдүр.

Алымышдыр 23.IX 1963

А. О. Мамедов

Влияние применения НРВ путем опрыскивания на химический состав и кормовой единицы бобовых трав

РЕЗЮМЕ

В целях изучения влияния нефтяного ростового вещества на химический состав и кормовой единицы бобовых трав в условиях Нахичеванской АССР в течение двух лет заложены опыты и проводились анализы растительных образцов.

Анализы растительных образцов показали, что при применении НРВ путем опрыскивания 0,005 и 0,01%-ными растворами (из расчета 500 л/га) в фазе бутонизации повышается количество белков и зольность и наоборот снижается процентное содержание клетчатки люцерны, эспарцета и кормового гороха.

Таким образом, опрыскиванием посевов бобовых трав растворами НРВ повышается количество производимой кормовой единицы с каждого гектара.

СЕЛЕКЦИЯ

И. К. АБДУЛЛАЕВ

НОВЫЙ ЦЕННЫЙ СОРТ ШЕЛКОВИЦЫ ЯГУБ-ТУТ

Сорт Ягуб-тут (быв. Азерб. № 39) выведен методом воспитания гибридных растений на высоком агротехническом фоне и индивидуальным отбором. Он относится к виду *Morus alba* L.

У этого сорта основные ботанико-морфологические особенности следующие.

Цвет коры штамба серо-коричневый, крона округлая. Образует прямые побеги с незначительным боковым ветвлением (5 боковых веточек на 1000 см прироста), средняя длина одного побега 175,0 см.

Цвет коры одногодичных веток коричнево-серый, почки — прилегающие удлиненно-треугольные. Годичный прирост высокий. При большом количестве одногодичных веток число их на третьем году эксплуатации в среднем достигает 10 штук с длиной одного побега 165 см, междоузлия длинные — 4,83 см, образуют большое количество продуктивных побегов — до 81%, из них 45,3% ростовых и 35,7 неростовых побегов. Имеет очень высокую облистенность побегов, в среднем 7,06 листа, при облистенности ростовых побегов 9,50 листа и неростовых — 4,83 листа. Средний вес одного листа 1,37 г. Вес одного листа с ростовых побегов 1,38 г и с неростовых побегов 1,27 г. Листья средней величины. Длина листа 16,9, а ширина 15,5 см. Отношение длины листа к ширине 1,09.

Лист цельный, мягкий, нежный, поверхность листовой пластинки гладкая, нервация средняя. Форма листа сердцевидная, верхушка с зубцом, край пильчатый, основание листа выемчатое. Процент листовой пластинки к черешку в среднем составляет 85,3. Длина черешка — 5,9 см.

Почки прилегающие, удлиненно-треугольные, светло-коричневые, длина междоузлия — 5,38 см.

Сорт Ягуб-тут является двудомным. Имеет только мужские деревья. Цветение проходит одновременно с появлением листьев. Обмерзание побегов незначительное, в среднем за годы испытания составляет 5,2% длины побега. В отдельные годы молодые побеги (1—2 шт. на каждом дереве) поражаются солухмой, т. е. наблюдается высыхание этих побегов.

Сорт ранний. Характеризуется ежегодно большими урожаями и хорошим приростом листа с самого начала вегетации. Основной урожай листа накапливается в конце мая. Сорт — высокоурожайный, ка-

чество листа высокое. Лист охотно поедается гусеницами тутового шелкопряда.

Цитологическое изучение сорта Ягуб-тут показало, что в соматической клетке этого сорта имеется 2 n=28 хромосом, он является диплоидным сортом.

Проведенные в 1956—1962 гг. фенологические наблюдения показали, что у сорта Ягуб-тут массовое распускание почек имеет место в зависимости от погодных условий года — 15—21/IV, массовое цветение — 23—26/IV, а появление первого листа — 16—21/IV, третьего листа — 19—25/IV и пятого листа 22—27/IV.

В нехарактерные, т. е. ранние годы, например, как в 1961 г. эти фазы проходят как и у других сортов на 10—15 дней раньше и тогда рост и развитие вегетативных органов и накапливание урожая листа происходит более интенсивно.

Сорт отличается хорошим развитием и образованием многооблиственных побегов. Так, у 6-летнего дерева охват штамба составил 29,0 см, количество годичных побегов на одном дереве 49 шт. и количество почек на одном побеге 28 шт.

Сортиспытательная плантация в КНЭБ. На переднем плане — сорт Ягуб-тут (6-летнее дерево).

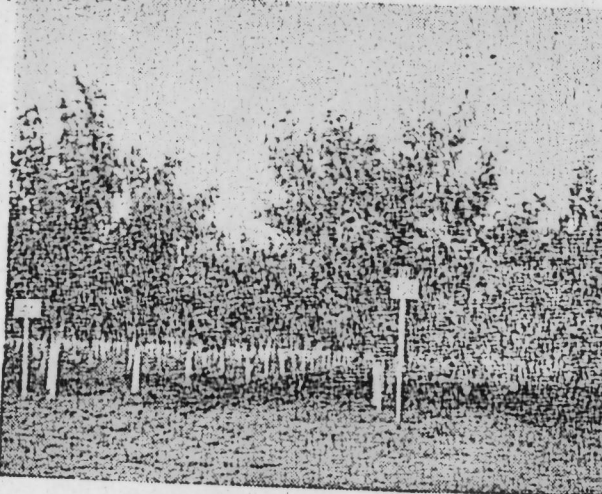


Таблица 1

Дата учета	Количество листьев на одном дереве	Количество листьев на одном побеге
20/IV	518	18
28/IV	1902	68
6/V	2945	105
15/V	3364	120
24/V	3922	140
2/VI	4080	145

Вес листьев на одном метре побега 186 г, а количество листьев на одном метре побега составляет 97,0 шт. Общая длина годичных побегов на одном дереве равна 52,0 м.

Динамика нарастания листьев на дереве в период весенней выкормки гусениц тутового шелкопряда в 1962 г. приведена в табл. 1.

Как видно из приведенных в табл. 1 данных, в 1962 г., в течение всего весеннего периода, т. е. до начала эксплуатации, имело место наиболее интенсивное развитие листьев.

Характерными особенностями сорта Ягуб-тут является то, что он способен до начала весенней эксплуатации хорошо вегетировать и обеспечить нормальный рост урожая листа,

Большой интерес представляет урожай листа с одного дерева и процент выхода листа, приведенные в табл. 2.

Таблица 2

Сорт шелковицы	Общий вес облистенных побегов с 1 дерева, кг	Вес побегов с соподлинами с 1 дерева, кг	Вес листа с 1 дерева, кг	% выхода листа
Сыхгез-тут	13,20	5,85	7,35	56,44
Ягуб-тут	17,20	5,90	11,30	65,96

Приведенные данные дают нам основание отметить большую продуктивность сорта Ягуб-тут по сравнению с районированным сортом Сыхгез-тут. Новый сорт также превосходит лучший интродуцированный сорт шелковицы Kokuso-70. Все это еще раз подтверждает ценность нового сорта.

Таблица 3

Сорт шелковицы	Урожай листа с га, ц/га	Рост по сравнению с контролем	
		ц/га	%
Сыхгез-тут	60,81	—	100,0
Ягуб-тут	98,13	37,32	161,3

Конечным критерием для сорта является его продуктивность с га плантации шелковицы, т. е. урожай листа с 1 га.

Как видно из приведенных данных табл. 3, по урожаю листа с га плантации новый сорт превосходит районированный сорт Сыхгез-тут на 37,32 ц/га, или на 61,3%. Новый сорт Ягуб-тут также значительно превосходит по урожаю листа стандартный сорт Kokuso-70 и среднеазиатский сорт „Победа“.

Таблица 4

Сорт шелковицы	В воздушно-сухом листе		В абсолютно сухом листе содержится, %					
	влаги	сухого в-ва	общего азота	белко-вого азота	не белкового азота	протеина	чистого белка	общего сахара
Сыхгез-тут	9,85	90,15	3,49	3,51	0,48	24,93	21,93	8,33
Ягуб-тут	10,00	90,00	4,82	4,37	0,45	30,12	27,31	8,05

В деле оценки кормовых качеств листа того или иного селекционного сорта большое значение наряду с урожайностью имеет также качество листа, которое определяется по результатам химического анализа листа и экспериментальным выкормкам гусениц тутового шелкопряда.

Как показало изучение химического состава листа, проведенное в биохимической лаборатории Института генетики и селекции (Н. И. Махмудбековой), новый сорт отличается также хорошими соотношениями по содержанию белковых питательных веществ в листе шелковицы (табл. 4).

Как по содержанию общего, так и белкового азота, имеющего решающее значение в жизни гусениц тутового шелкопряда, сорт Ягуб-тут имеет гораздо лучшие показатели, чем районированный сорт Сыхгез-тут, а по содержанию общего сахара, клетчатки и гигроскопической влаги в сухом листе находится почти на одном уровне с контрольным сортом.

В целях изучения кормовых качеств листа была проведена кормоиспытательная выкормка гусениц тутового шелкопряда породы "Азад" в идентичных условиях кормления, данные которых приведены в табл. 5.

Таблица 5

Сорт шелковицы	Продолжительность выкормок, сут.	Жизнеспособность гусениц, %	Средний вес одного кокона	% шелковой оболочки
Сыхгез-тут	31,23	97,8	1,71	18,9
Ягуб-тут	31,09	96,5	1,73	19,9

Изучение технологических свойств показало, что по среднему весу одного сухого кокона, проценту шелковой оболочки и выходу шелка-сырца, разматываемости коконов, длине коконной нити и метрическому номеру нити, сорт Ягуб-тут имеет почти такие же показатели, как районированный сорт Сыхгез-тут, что видно из данных, приведенных в табл. 6.

Таблица 6

Сорт шелковицы	Средний вес сухих коконов, г	% шелконосности коконов	Выход шелка-сырца, %	% разматываемости коконов	Длина коконной нити, м	ДНРН, м	Метрический номер коконной нити
Сыхгез-тут	0,595	46,49	39,60	81,72	883,3	790,0	3899
Ягуб-тут	0,621	47,43	38,47	81,20	1013,0	873,3	4073

Определенный интерес представляют данные поедаемости листа гусеницами, а также урожай коконов, полученный от определенного количества листа различных испытуемых сортов шелковицы (табл. 7).

Эти данные также подтверждают преимущества сорта Ягуб-тут по сравнению с районированным Сыхгез-тутом, а также стандартным сортом Кокусо-70.

Таблица 7

Сорт шелковицы	% поедаемости листа	Урожай коконов с 1 кг листа, г		Урожай коконов с 1 кг заданного листа, г	Урожай коконов с 1 кг "муравшей", кг	Урожай коконов с 1 коробки греши, кг
		заданного	съеденного			
Сыхгез-тут	55,9	60,9	106,4	7,84	3,73	72,67
Ягуб-тут	61,9	70,0	116,6	9,79	3,79	73,97

Конечным критерием того или другого испытуемого сорта шелковицы является его продуктивность, т. е. урожай коконов и шелка-сырца, получаемый с га плантации шелковицы (табл. 8).

Из приведенных в табл. 8 данных видно, что сорт Ягуб-тут превосходит ныне районированный сорт Сыхгез-тут по урожаю коконов с га плантации на 319 кг, или на 86,7%, и по выходу шелка-сырца в пересчете на га плантации на 48,39 кг/га, или на 101,5%. Новый сорт значительно превосходит также стандартный сорт Кокусо-70 как

Таблица 8

Сорт шелковицы	Урожай коконов, кг/га	Рост в сравнении с контролем		Выход шелка-сырца, кг/га	Рост в сравнении с контролем	
		кг/га	%		кг/га	%
Сыхгез-тут	368,0	—	100,0	47,67	—	100,0
Ягуб-тут	687,0	319,0	186,7	96,06	48,39	201,5
Кокусо-70	548,0	180,0	148,8	78,18	30,51	164,0

по урожаю коконов, так и шелка-сырца в пересчете на га плантации.

Все эти данные с очевидностью говорят о большой экономической эффективности внедрения в производство нового очень ценного высокопродуктивного сорта шелковицы Ягуб-тут.

ЛИТЕРАТУРА

1. Абдуллаев И. К. Изучение роста, развития и кормовых качеств листа селекционного сорта шелковицы "Зариф-тут". Труды Ин-та генетики и селекции, т. 2, 1962.
2. Абдуллаев И. К. Высокоурожайный сорт шелковицы "Сыхгез-тут". ДАН Азерб. ССР, 1960, № 10.
3. Абдуллаев И. К. Новый высокопродуктивный сорт шелковицы "Ханлар-тут". Изв. АН Азерб. ССР, 1961, № 2.
4. Абдуллаев И. К. Новый высокоурожайный сорт шелковицы "Фирудин-тут". ДАН Азерб ССР, 1961, № 5.
5. Абдуллаев И. К. Сорта шелковицы Азербайджанской ССР. Бюлл. "Шелк", № 3, 1961.
6. Джадаров Н. А. Новые перспективные сорта шелковицы в Азербайджане. Автореф. канд. дисс., 1958.
7. Джадаров Н. А. Продуктивность новых сортов шелковицы при повторных выкормках тутового шелкопряда. Труды АзерНИИШ, т. 3, 1962.
8. Федоров А. И. "Тутоводство". Сельхозгиз, 1954.

Поступило 6.VII 1963

Институт генетики
и селекции

И. К. Абдуллаев

Дени селексија тут ағачы сорту Ягуб-тут

ХУЛАСӘ

Азәрбајҹанда узун мүддәт апарылан көнектика-селексија ишләри иштәчесиндә биз бир чох јүксәк мәһсуллу тут ағачы сорту јаратмышыг.

Бүилардан бирине—"Азәрбајҹан—39" сортuna узун мүддәт бизимлә бирликдә ишләмиш гочаман тутчу-агротехник Ягуб Мәммәдовун адны گерәрәк ону Ягуб-тут адландырышыг.

Мәгаләдә Ягуб-тутун ботанико-морфологи көстәричиләри, онун инициафы, бој атмасы, јарпаг мәһсулүү вә јеңи заманда јарпагынын јемлик кејфијәти вә кимҗәви тәркиби һаггында бәһс едилир.

Бу хүласәдә биз анчаг дени селексија сорту олан Ягуб-тутун јарпаг мәһсулүүдан вә үмуми мәһсулдарлығынан бәһс едәчәјик.

Апарылан тәчрүбә көстәричи, Ягуб-тут јүксәк бојлу тут ағачы плантасијасынын һәр һектарындан орта несабла 98,33 сантиметр јарпаг

мәңсулу верир ки, бу да стандарт сорт олар Сыхкөз-тутун һәр һектардан вердији мәңсулдан 37,32 сентнер вә ja 61,3% чохдур.

Јагуб-тутун һәр һектардан вердији Јарпагла ипәк гурду јемләјәркән 687,0 кг барама элдә едилир ки, бу да Сыхкөз-тут сортундан 319,0 кг, яхуд 86,7% чохдур.

Бир һектар илантасијадан алынаң ипәк мәңсулуны нәзәрә алсағ, Јагуб-тутун Јарпагы илә јемләнән ипәк гурдларындан һектар несабиәтлә 96,08 кг ипәк алынарса, Сыхкөз-тут сортундан 47,67 кг ипәк алыныр ки, бу да контрол сорта көрә 48,39 кг вә ja 101,5% чохдур.

Бүтүн бу көстәричиләр јени селексија сорту Јагуб-тутун чох бөзүк истеңсалат әһәмијәти олдуғуну көстәрир.

СЕЛЕКСИЈА

М. Э. МӘММӘДОВ

АЗЭРБАЙЧАНДА ЈЕНИ ЧАЈ СОРТЛАРЫ

(Азәрбајҹан ССР ЕА академики И. Д. Мустафајев тәгдим етмишишdir)

Селексија јолу илә элдә едилән һәр һансы јени битки сорту мүәјјән биологи әламәт вә хүсусијәтләре, набедә тәсәррүфат вә истеңсалат үстүнлүкләринә малик олмалыдыр.

Азәрбајчаны Ләнкәран-Астара субтропик зонасы үчүн јени чај сортларынын элдә едилмәснәндә дә белә мәгсәд гарышыја гојулмушшур.

Ләнкәран-Астара зонасынын иглим шәраити наинки Гәрби Күрчүстәнин, һәтта чајчылыгыла мәшгүл олар бүтүн өлкәләрин иглим шәраитиндән хејли фәрглидир. Буранын гышы иисбәтән сәрт кечир. Бәзән гар өртујүнүн һүндүрлүгү бир метрә кими, температур исә—15°-дән ашагы олур. Белә һалларда чај колунуни торпагүстү һиссәләри әзијәт чәкир, вә бәзән дә донур.

Өз тәбиәти е'тибарилә рүтүбәт вә истилил севәни чај коллары Ләнкәран зонасынын јағышсыз вә узуң сүрән гызымар јај күнләринин тә'сирләндән дә зијан чәкир. Белә шәраит дәзүмлү чај сортунуни элдә едилмәсни чајчылыгыла мәшгүл олар тәсәррүфатларын тәләбләрнәндән ирэли кәлмишишdir.

Ләнкәран зонасындакы колхоз вә совхозларда хүсуси тохумлуг плантасијалар олмадыгындан селексијадан өтрут валидеји биткиләри Јарпаг топламага уйғунашдырылан коллар ичәрисиндән сечмәли олдуг.

1948-чи илдә Ләнкәран зонасындакы бир сыра колхоз вә совхозларын чај плантасијалары нәзәрдән кечирилдикдән соңра „Аврора“ совхозу вә Азәрбајҹан Барчылыг, Үзүмчүлүк вә Субтропик Биткиләри Елми-Тәдгигат Институтуну (Аз. БҮСБЕТИ) Ләнкәран филиалынын чај плантасијларында 400 чај колу сечилди.

Бу заман мәңсулдарлыгын әсас амили олар колларын күчлү зогвермәк габилијәттүнә, онларын шахта вә гураглыгы дәзүмлү олмалармыны көстәрән хүсусијәтләрә, кејфијәт вә мәңсулдарлыгы экс етдиရән морфологи әламәтләре хүсуси диггәт јетирилмишишdir.

Сечмәни дүзкүн кетдијини јохламаг мәгсәдилә ири вә орта йарпаглы чај колларынын һәрәснәндән 25-ни сахлајыб, галаны тохумлуга чөврилди. Контролдан өтрут неч бир сечмә анырмадан бир-биринин ардымча 25 кол да мүәјјән едилди. Сечилмии вә контролдан өтрут ажылмыш олар колларын 12 йашы вар иди.

Үч ил давам едән йарпаг топланышындан айдын олмушшур ки, контрола иисбәтән ириյарпаглы чај коллары 71 фаяз, орта йарпаглылар исә 65 фаяз артыг мәһсүл вермишшидир.

Бизим хәнишимиздә Үмүмитиғат Җаң вә Субтропик Биткиләри Ел-ми-Тәдгигат Институтунун (УЧСБЕГИ) Чаква филиалының биокимја лабораторијасының кечмиш мудири (инди Сочи тәчрүбә стансијасының биокимја лабораторијасының мудиридир), биолокија елмләри намизә-

1-ЧИ ЧЭДВЭЛ

Жашыл жарпаг мәңсүлу, жарпагдакы танин вә екстрактлы маддәләрин мигдары

Чај коллары	Иллэр үзэр һәр колдан алынан ярнаң мәһсүлу (гр. илә)			Иллэр үзэрә танин (фаизэлдә)		Иллэр үзэрә екстрактлы маддәләр (фаизэлә)	
	1949	1950	1951	1950	1951	1950	1951
Контрол	137	148	172	23.37	18.44	44.28	44.42
Иријарпаглы	236	256	284	24.76	21.51	44.88	45.57
Ортајарпаглы	224	244	300	24.05	21.24	44.58	44.90

ди Р. В. Воронсова айырдығымыз колларын јарпагларындакы әсас кејфијјэт көстәричиләри олан танин вә екстрактлы маддәләри өјрәнәр-кән сечилмиш колларын контрола нисбәтән үстүнлүгү даһа чох көзәчарпан олдуғу мүәжжән едилмешдир (1-чи чәдвәл).

Селексијадан өтүр сечилән колларын һәм мәңсул, һәм дә кејфиј-јәтчә контролдан үстүн олмасы сечмәниң дүзкүн апарылдығыны вә онун перспективлијини көстәрир.

Чай колу чарпаз тозланан битки олдуғу үчүн Јени сорт әлдә ет-
мәйин эсасыны тәшкіл едән чарпаз һибридләшdirмә бурада да тәт-
биг едилмишdir.

1949-чу илин пајызында чај чиңәкләјән заман сүн'й төзләнма апартымыш вә 1950-чи илин пајызында һибрид тохумлар алынышдыр. 1951-чи илин јазындан һәмин тохумлардан биринчи һибрид нәсил биткиләр јетишдирилиб өјрәнилмәје башланмышдыр. Чыхдаш едилән биткиләр саһәдән кәнар, едилмишләр.

1954-чү илин пајызында һәм валидең вә һәм дә биринчи нәсил биткиләр арасында һибридләшмә апарылышдыр. Алынан тохумларын бир гисми шитиллик салымага сәрф едилмишdir. 1956-чы илин пајызына кими һәм биринчи, һәм дә иккىчи нәсил һибрид биткиләр јетишдирилмишdir. Контролдан өтүр истифадә едилән тохум зонада кениш жајылан ади Чин чајы коллатарындан олмушлур.

Бириллик чај шитиллерди бир-бириндән чөтин фәргләндүүнә бах-мајараг, учот заманы мүэйжүүн едилмешdir ки, ejni сәпин нормасы көтүрүлмәклә, биринчи өкөтасија илиниң сонунда сәпин ләкләриндә һибридләрдә әкинә Іараплы биткиләрин сајы контролдакына нисбәтән 12—15 фазын чохдур.

Шитилликдә олан биткиләрин өјрәнилмәснә икничى ил хүсуси диггәт йетирилишишdir. Нәтичәдә мүәјжән едилмишdir ки, икничى ве-кетасија илинин сонунда биринчи нәсил иријарпаглы һибрид биткилә-рии боју контрола нисбәтән 11 см, ортајарпагларын боју 13 см, икничى нәсил иријарпаглыларын боју 14 см, ортајарпаглыларын боју исә 19 см һүндүрдүр. Буна мұвағиғ олараг, һибрид биткиләрин ени кон-трола нисбәтән 8—6—9—11 см чох олмушшдур.

Икинчи илин сонунда биоложи тәсәррүфат әһәмијәти олан шитилләриң сајы контролда 18 фаз ouldуғу наңда, биринчи нәсил иријар-паглы һибриддә 58 фаз вә икинчи нәсилдә 73 фаз; биринчи нәсил ортајарпаглыда 64 фаз, икинчи нәсилдә исә 78 фаз ouldумышур.

Ярпаг ајасының өлчүсүнэ көрө дә һибрид биткиләри үстүн Jep тутур.

2-ЧИ ЧЭДВЭЛ

Жени чај сортларының мәйсүлдарлығы

Сортлар	Иллэр үзэр (нект. кгр)			Үч илни чәми мәһсүлү	
	1960	1961	1962	нект. кгр.	файзлә
Контрол (Чин чајы)	172	394	593	1159	100
„Азәрбајҹан—1“	243	556	810	1609	138.9
„Азәрбајҹан—2“	239	586	759	1584	137.5

1950-чи илдән бәри Ләнкәран-Астара зонасында чај үчүн аз-чох горхулу мүддәт 1956—1957-чи илләрин гышы олмушшур. Температурун һавада —7,8°-јә, торпаг сәттиндә —13,3°-јә вә колларын сәттиндә исә —11,7°-јә енмәсингә бахмајарал, јени сортларын коллары һеч дәзијан чәкмәмиш, ejни һалда исә ади коллар бу вә ја дикәр дәрәчәдәзијан чәкмишdir.

Беләлниклә, јени сорт чај колларының үстүнлүјү көстәрилдикдә, иккинчи нәсил һибрид биткиләринин даһа да һәмчинс олмасы вә мор-фоложи хүсусијәтләринә көрә онун контрол биткиләрдән даһа чох фәргләндүүнүн хүсусијә гејд етмәк олар.

Әлдә едилән иријарпаглы һибрид чајыны „Азәрбајчан-1“ ортајарпаглыны исә „Азәрбајчан-2“ адландырыб, онлары һәм Ләнкәран-Астара зонасында кениш яйылан Чин чајы вә һәм дә Күрчүстаңда әлдә едилән бир чох селексијалы чај сортлары илә тутушдурмаг учун бир сыра сортсынама тәчрүбәләри апарылыр. 1957-чи илдә салыныб 1960-чы илдә јарпаг мәһсулу вермиш сортсынама саһәсингә әлдә еди-лән нәтиҗәләри икинчи чәдвәлдә веририк.

Уч ил әрзиндә ашарылан яшшіл жарпаг ығымындан мә'лум олур ки, яни Азәрбајҹан сортлары контрола нисбәтән орта несабла 37—38 фаза чох мәһсүл вермишләр (2-чи чәдвәл).

жох мәңсүл вермишdir (2-чи чөдөл).
Жени сортларын жарпагларындаки танин вә екстрактлы маддәләр 1960 вә 1961-чи илләрдә Р. В. Воронсова вә 1962-чи илдә исә АзБУСБЕТИ-нин биокимја вә технолокија лабораторијасынын мүддири биологија елмләри намизәди Е. В. Сапожникованын рәһибәрлији алтында өјрәнилмишdir. Һәмин маддәләрин мигдарына көрә, „Азәрбајҹан—1“ яни чај сортлары республиканын чај әкән рајонларында јетиштирилән ади Чин чајындан үстүн јер тутур (3-чу чадвад).

Елми тәдгигат ишләри көстәрир ки, "Азәрбајҹан-1" вә "Азәрбајҹан-2" јени чај сортлары тәзәчә мәһсула дүшмәсинә бахмајараг кетдиңкә даһа Іахши инишишаф едәрек һәм дә йүксәк кејфијәтли тохум вермак имкани газаныр.

Чаын селексијасы саһесинде кениш иш апармаг имкани әлдә етмәк үчүн Аз.БУСБЕТИ-кин Ләнкәран филиалында хүсуси коллексија саһеси салыныштыр. Иди бурада академик К. Ж. Бахтадзинин рәх-

бәрлиги алтында Гәрби Күрчүстанда 16 сорт, Күрчүстан вә Краснодар өлкәсинин мұхтәлиф рајонларындан, набелә 1953-чү илдә Чинин Кимын (Тсимен) рајонундан вә УЧСБЕТИ-дән кәтирилән һиндистан вә Јапон чајлары да жетишдирилір. Жарадылмыш бу зәнкін чај коллекцияларын-

3-ЧУ ЧӘДВӘЛ

Жашыл чај жарпагында олан танин
вә екстрактлы маддәләрни мигдары (фаизлә)

Сортлар	1960		1961		1962	
	танин	екстрактлы маддәләр	танин	екстрактлы маддәләр	танин	екстрактлы маддәләр
Контрол	18,94	39,86	17,48	40,08	21,52	42,55
„Азәрбајчан—1“	21,68	44,26	20,24	44,29	23,09	43,44
„Азәрбајчан—2“	19,38	40,74	19,81	42,21	22,74	43,59

дан истифадә едәрәк „Азәрбајчан—1“ вә „Азәрбајчан—2“ сортлардан башга нөвдахили вә сортларасы һибридләшмә јолу илә даһа бир сыра чај сортлары алынmasы вә онларын сынағдан кечирилмәси үзәриндә дә кениш елми-тәдгигат иши апарылыр.

Кенетика вә Селексија
Институту

Алынышдыр 20.VI 1963

М. А. Мамедов

Новые сорта чая в Азербайджане

РЕЗЮМЕ

Засушливость летнего периода и сравнительно суровые условия зимы Ленкорано-Астаринской зоны, отрицательно сказываются на жизнедеятельности чайного растения. Поэтому новые более приспособленные к местным условиям селекционные сорта чая, выводятся здесь из требований чаеводческих хозяйств зоны.

Из-за отсутствия семенных плантаций исходные кусты чая для начала селекции отобраны на хозяйственных листосборных плантациях. Отобранные растения относились к двум разновидностям китайского чая крупнолистной и среднелистной.

В течение 1949—1951 гг. изучены биохозяйственные особенности исходных кустов, особенно по урожайности и качеству листа. В результате установлено явное превосходство их над контролем и проведено скрещивание между отобранными кустами чая. В конечном итоге из отобранных крупнолистных кустов выведен „Азербайджанский № 1“, а из среднелистных „Азербайджанский“ № 2. Оба сорта гибридного происхождения. Искусственное опыление применено в виде смеси пыльцы.

В зиму 1956—1957 г., когда температура воздуха опускалась до 7,8°, на поверхности почвы до —13,3° и на поверхности чайного куста до —11,7°, селекционные кусты не получили никаких повреждений, тогда как большинство неселекционных кустов было в той или иной степени повреждено.

Селекционные сорта дают значительно больший выход посадочного материала. По морфологическим признакам они значительно пре-

восходят неселекционный чай. По размеру листьев селекционные растения имеют преимущество не только перед контролем, но и перед исходными формами.

Как показали первые испытания, селекционные сорта значительно превосходит контроль—неселекционный чай по урожайности и качеству.

За три года исследования селекционный № 1 дал на 38,9, а селекционных № 2 на 37,5 % больше листа против контроля.

В среднем за три года содержание танина в листьях у селекционного чая № 1 составляет на 2,69, а у № 2—1,36 содержание же экстрактивных веществ соответственно на 3,17—1,28 % больше, чем в листьях контрольного чая.

Убедившись в высокой эффективности применяемых приемов мы начали выводить ряд перспективных сортов чая. Они выводятся путем применения внутривидовой и межсортовой гибридизации. С этой целью на селекционном участке Ленкоранского филиала АзНИИСВиСК нами создан коллекционный питомник, где с 1951 г. производится посадка разных сортов, групп и форм отечественного чая и завозимых из других стран.

ФИЗИОЛОГИЯ

А. Г. ТАГИЕВА

**ВЛИЯНИЕ РАЗДРАЖЕНИЯ РЕЦЕПТОРОВ ЖЕЛУДКА НА
ПРОНИЦАЕМОСТЬ КОЖИ НА ФОНЕ ВОЗБУЖДЕНИЯ
ЦЕНТРАЛЬНОЙ НЕРВНОЙ СИСТЕМЫ**

(Представлено академиком АН Азербайджанской ССР А. И. Караевым)

Работами целого ряда исследователей (Баяндиров и Тетерин [2], Подшибякин, 1954, Караев и Мушкина [5], Караев и Гаджиев [4] и др.) доказано влияние раздражения интерорецепторов на различные функции кожи.

Из литературных данных известно, что в зависимости от различного функционального состояния высших отделов центральной нервной системы изменяется проницаемость кожи (Бакин [1], Савицкий [8], Майзелис [6], Егоров [3] и др.).

В предыдущих наших исследованиях было показано, что раздражение различных интерорецепторов изменяет проницаемость кожи.

В задачу настоящего исследования входило изучение проницаемости кожи под влиянием раздражения интерорецепторов желудка на фоне преобладания процесса возбуждения в центральной нервной системе.

Опыты проводились на собаках с выведенными мочеточниками, по Орбелли, и басовской фистулой желудка до и после подкожного введения 20%-ного раствора кофеина по 40 мг на 1 кг веса.

Рецепторы желудка раздражались давлением равным 60 мм рт. ст. Проницаемость кожи изучалась путем определения салициловой кислоты в моче в часовых порциях в течение 5 ч после нанесения 20%-ной салициловой в мази на кожу. Наличие салициловой кислоты в моче определялось по методу Фридрехсена, модифицированному Толкачевской.

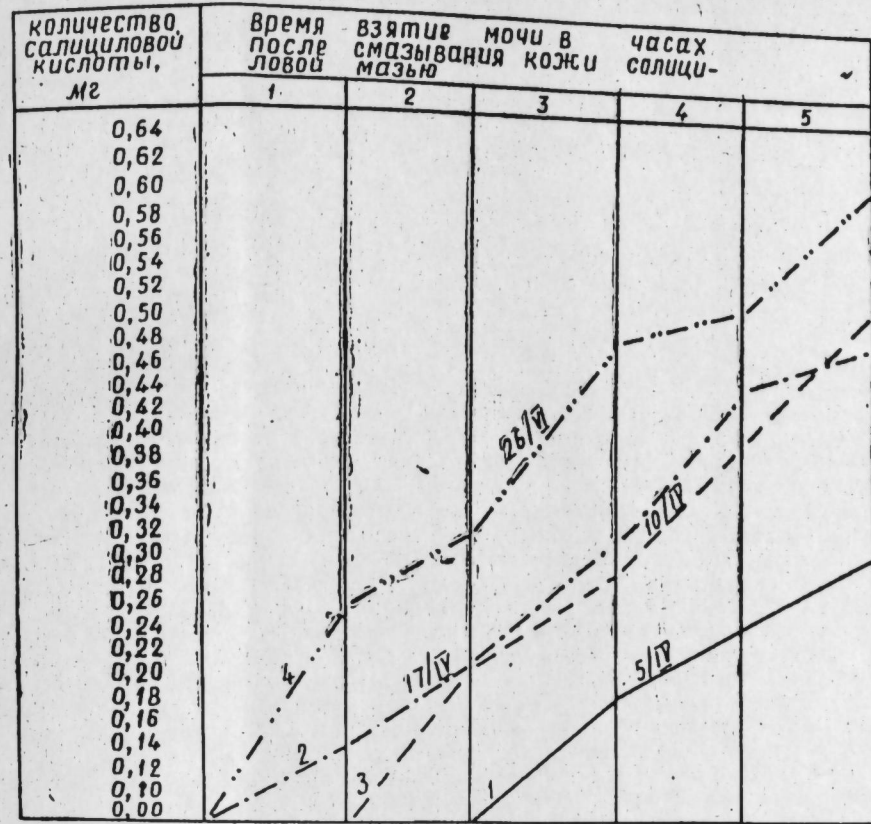
В первой серии изучалась проницаемость кожи без раздражения интерорецепторов. Во второй—устанавливалось влияние интерорецепторов на проницаемость кожи. В третьей—исследовалось влияние введения кофеина на проницаемость кожи. В четвертой серии исследовалось влияние интероцептивной стимуляции желудка на проницаемость кожи на фоне преобладания процесса возбуждения центральной нервной системы.

Полученные результаты представлены в таблице 1 и на рисунке. Как видно из таблицы, без раздражения рецепторов (опыт от 5. IV), после нанесения на кожу салициловой мази салициловая кислота

Динамика выделения салициловой кислоты при интеррецептивных
стимуляциях с Желудка на фоне преобладания процесса возбуждения
в центральной нервной системе

Время взятия мочи, ч	Количество салициловой кислоты, мг									
	В обычных условиях					В условиях действия кофеина				
	Без раздражения		С раздражением			Без раздражения		С раздражением		
	5/IV	8/IV	14/VII	17/IV	20/IV	23/IV	11/VII	10/VI	14/VI	22/IV
1	—	—	—	0,15	0,17	0,19	0,21	—	—	—
2	—	—	—	0,21	0,26	0,24	0,29	0,21	0,22	0,28
3	0,19	0,12	0,18	0,32	0,35	0,29	0,39	0,30	0,32	0,36
4	0,25	0,22	0,32	0,45	0,42	0,39	0,48	0,41	0,39	0,38
5	0,31	0,31	0,41	0,49	0,51	0,44	0,59	0,51	0,54	0,48
Всего	0,75	0,65	0,91	1,62	1,72	1,55	1,96	1,43	1,47	1,62
								1,63	2,17	2,26
									2,32	2,35
									2,59	2,58

выделяется с третьего часа в количестве 0,19 мг; на 4-м часу — 0,25 мг;



Динамика выделения салициловой кислоты при интеррецептивных стимуляциях с желудка на фоне преобладания состояния возбуждения в центральной нервной системе

В норме: 1—без раздражения, 2—после раздражения; в состоянии возбуждения:
3—без раздражения, 4—после раздражения.

на 5-м — 0,31 мг; общее количество ее в течение пяти часов после нанесения салициловой мази составляло 0,75 мг.

В условиях возбуждения коры головного мозга, вызванного действием кофеина, без раздражения рецепторов желудка, салициловая кислота выделялась со второго часа в количестве 0,21 мг, на третьем — 30 мг, т. е. значительно больше, чем в обычных условиях. На четвертом часу — 0,41 мг почти на 1,5 раза больше, чем в обычных условиях; на пятом часу — 0,51 мг. Общее количество за 5 ч составляло 1,43 мг, т. е. в 2 раза больше, чем без введения кофеина.

Таким образом, эти данные показали, что в состоянии возбуждения центральной нервной системы проницаемость кожи увеличивается. Это еще раз подтвердило установленную многими авторами зависимость проницаемости кожи от функционального состояния центральной нервной системы.

В опытах с раздражением рецепторов желудка салициловая кислота как до, так и после введения кофеина выделяется с первого часа. Но в условиях преобладания возбуждения в центральной нервной системе количество выделенной салициловой кислоты как по отдельным часам, так и суммарно за 5 ч в 2 раза больше, чем в обычных условиях.

Общее количество выделившейся в течение 5 ч салициловой кислоты при раздражении рецепторов желудка до введения кофеина составляло — 1,71 мг, а после кофенизации — 2,71 мг.

Выводы

1. Возбуждение центральной нервной системы, вызванное подкожным введением кофеина, усиливает проницаемость кожи для салициловой кислоты.
2. В условиях преобладания процесса возбуждения в центральной нервной системе инteroцептивные влияния в желудке на проницаемость кожи усиливаются.

ЛИТЕРАТУРА

1. Бакин Е. И. Изменение проницаемости кожи лягушки при действии эмонации радиа на центральную нервную систему. Бюлл. эксп. бiol. и мед. 7, 2—3, 1939.
2. Байдуров Б. И., Тетерин П. П. Об изменении кожных потенциалов у лягушки после удаления обоих полушарий головного мозга. Сб. трудов каф. нор. физиол. Томск. мед. ин-т, № 3, 1940.
3. Егоров М. Е. О проницаемости в организме ионов тяжелых металлов, вводимых методом электрофореза при различных изменениях функционального состояния высших отделов центральной нервной системы. ГосНИИ физич. методов им. Сеченова. Симферополь, 1955.
4. Карапов А. И., Гаджиев И. М. Влияние раздражения рецепторов полости рта и желудка на потоотделение. „Физиол. журн.“ СССР, 1959, № 5.
5. Карапов А. И., Мушкина Н. А. Значения коры больших полушарий головного мозга в рефлекторных влияниях с внутренних органов на кожу. „Вопр. физиол.“ Труды Сектора физиологии АН Азерб. ССР, т. 2, 1958.
6. Майзелис М. Я. Экспериментальные данные о влиянии функционального состояния высших отделов центральной нервной системы на проницаемость кожи. ГосНИИ физич. методов лечения им. Сеченова. Симферополь, 1955.
7. Подшибякин А. К. Схемы распределения активных точек кожи. „Вопросы физиологии“, 1954, № 9.
8. Савицкий И. В. Изменения функции кожи под влиянием возбуждения центральной нервной системы. „Вопросы физиологии“, 1953, № 6.
9. Тагиева А. Г. Влияние раздражения рецепторов желудка на проницаемость кожи. „Вопросы физиологии“. Труды Сектора физиологии, т. IV, 1961.
10. Толкачевская К. Количественное определение салициловой кислоты. „Журн. лабораторная практика“, 1931, № 10.

Сектор физиологии

Поступило 2. VII 1963

А. Г. Тағыјева

Мәркәзи синир системинин ојаныш вәзијјетиндә мә’де
респепторларының гычыгандырылмасының дәринин
кечиричилијинә тә’сири

ХУЛАСӘ

Мұхтәлиф тәдгигатчыларын елми-експериментал ишләри илә мүәжін едилмишdir ки, мәркәзи синир системинин дәринин кечиричилијиндә мүһым ролу вардыр. Исбат олунмушдур ки, мәркәзи синир системинде жарадылмыш ләнкимә вәзијјети дәринин кечиричилијини зәиғләдір, ојанма вәзијјети исә онун артмасына сәбәб олур.

Апардығымыз бу тәдгигат иши мәркәзи синир системинин ојаныш вәзијјетиндә мә’де ресепторларының гычыгандырылмасындан дәринин кечиричилијини нечә дәјиши мәсіни өјрәнмәjә hәср олунмушдур.

Тәчрубләримиз сидик ахарлары дәриjә тикилмиш вә мә’дәсіндә Басов фистуласы олан итләр үзәриндә апарылмышдыр. Дәринин кечиричилијини өјрәнмәк мәсәдилә дәриjә 20%-ли салисил туршусу мәліми чәкилмиш вә онун мигдары hәр saatdan bir көтүрүлмүш сидик

нұмұнәләріндә Фридрехсенін К. Толкачевскаја тәрәфиндән дәјиши-рилмиш үсулу илә тә’јин едилмишdir.

Тәдгигатымыз аді һалда вә мәркәзи синир системинин ојаныш вәзијјетиндә мә’де ресепторларының гычыгандырылмасы шәрдитіндә апарылмышдыр.

Тәчрубләримизин нәтичәләри көстәрир ки, мәркәзи синир системинин ојаныш вәзијјетиндә мә’дән верилән интересептик тә’сир нәтичәсіндә дәринин кечиричилији гүвшеләнir.

ДИЛЧИЛИК

Ч. САДЫГОВА

НИКОЛА РАСТЫН «ПЕЙДАЈЕШ-Е ЗӘМАЈЕР-Е ФАРСИ»
ӘСӘРИНӘ ДАИР ТӘНГИДИ ГЕЈДЛӘР

(Азәрбајҹан ССР ЕА академики М. Ш. Ширәлијев тәгдим этилшидир)

Фарс дилиндә әвәзликләрин мәншәйинә даир тәдгигат иши апарын алимләрдән бири Никола Растьыр. Никола Растьын әвәзликләрин мәншәйи һаггында елми-тәдгигат әсәри кими тәгдим етдији 72 сәнифәси әвәзликләрин мәншәйинә, галан һиссәси исә мүхтәлиф дияләр һаггында үмуми мә'лумата—дилчилек терминләrinин изаһына вә истифадә олунан әдәбијатын сијаһысына һәср едилмишdir. Әсәрин мөвзусу вә истифадә олунан әдәбијатлар илк бахышда охучуја чох җашы тә'сир бағышлајыр. Охучу елә күман едир ки, әвәзликләрин мәншәйинә һәср едилән бу әсәр елми-тәдгигат характеристи дашијыр вә шәхс әвәзликләри тарихи мүгајисәли шәкилдә бүтүн тәфэрруаты илә өз әксини бу әсәрдә тапмышдыр. Лакин әсәрин мөвзусу илә мәэмүну һандијјет тәшкил едир. Белә ки, әсәрдә әвәзликләрин мәншәйи һаггында елми характеристер дашијан тәһлил дејил, әсатири адлара, әфсанәви һадисәләрә әсасланан мә'лumat верилир.

Никола Раствистәр мүхтәлиф мәншәли вә истәрсә дә ejni мәншәли әвәзликләри бир-бириндән тәчрид едилмиш шәкилдә көтүрүр вә онларын айры-айры дөвләрдә мөвчуд олан тарихи, җаҳуд әсатири адлардан тәшиеккүл тапмасы фикринин ирәли сүрүр.

Мүэллиф фарс дилиндә биринчи шәхс әвәзлиji тарихинин гәдим формасы олан adam сөзүнүн мәншәйини ән гәдим фактик дил материалларында дејил, елм аләминә мә'лум олан ән гәдим дил материалларынын мөвчуд олдуғу дөврдән бир нечә минн ил әvvәлә (4000 ил) мурачиэт едәрәк, әфсанәви дастайлар әсасында нәзмә чәкилмиш, һәм дә миладын X әсринин мәһсулу олан Фирдовси „Шаһнамә“ синде тәсвир олунан һадисәләрдәки әфсанәви адларда ахтарыр. О, Шаһнамәдән ашағыдақы

گیومرث شد در جهان گند خدای
نخستین بکوه اندریوی ساخت جای

„Кәјумәрс дүніјада кәндхуда олду вә биринчи дәфә дагда өзүнә мәскән дүзәлтди“ бејтини мисал кәтирәрәк, бу бејта әсасланыб, Кәјумәрс Дәмавәнд шәһіәринин илк мүәссиси кими верир вә көстәрир ки, adam „Дәмавәнд“ сөзүндән тәшәккүл тапмышдыр.

Лакин биринчи шәхсии тәкини билдириән әвәзлијин әмәлә кәлмәси инсан тәфәккуруның иникишафыны елә бир дөврүнә тәсадүф едир ки, артыг бу дөврдә инсан өзүнү бир инсан кими һиссегемәй башлајыр¹.

Никола Раст адам әвәзлијинин ишләндіji дөвр һаггында да дүзүкүн иәтичәjә кәлмәмишdir. О жазыр: „биринчи шәхсии тәкини билдириән бу чүр әвәзлик нә мұасир фарс дилиндә вә Ираның мұасир ләиқәләриндә вә нә дә Орта Иран дилләри адландырылан пәhlәви, соғди вә башгаларында мұшаһидә олунимур².

Бунуна да мүәллиф адам-ын ялныз гәдим дилдә ишләдилмәснин сөләмәккә, дилин дахили иникишаф ганууларыны вә дилдә башвермиш һәр чүр фонетик һадисәни рәdd едир. Һалбуки бу әвәзлијин ишләнмә даирәснин гәдим фарс дилинин мөвчуд олдуғу дөврлә мәннудлашдыrmag олмаз. Бу әвәзлик тәкчә гәдим фарс дилиндә дејил, онун фонетик вариантылары һәм дә гәдим фарс дилинә ғоһум олан башга дилләрдә ишләнмиш вә мұасир Иран диалектләринин чохунда ишләнмәккәdir. Белә ки, бу әвәзлик Авеста дилиндә azam, санскрит дилиндә aham, Орта Иран дилләри групундан олан соғди дилиндә zu, сәкан дилиндә ahi, гәдим славjan дилиндә яzъ, гәдим рус дилиндә az формаларында ишләнмиш, мұасир Иран дилләри групундан олан күрд дилиндә az, талыш дилиндә az, тат дилиндә az, осетин дилиндә ahi вә с. ишләнмәккәdir.

Никола Раст биринчи шәхсии тәкини ифадә едән әвәзлијин من формасынын миладын III әсринде مانی (Māni) мәсләкинә мәнсуб олан шәхсләрин дашыдыглары مانی адындан тәшәккүл тапмасыны көстәрир. Мүәллифин фикриндән белә мәнтиги иәтичә чыхыр ки, куја бу әвәзлик орта фарс дилинин мөвчуд олдуғу дөврдән етибараң мәјдана кәлмишdir. Һалбуки бу әвәзлик орта (фарс дилиндән) чох әввәл гәдим фарс дилиндә җијәлик әвәзлији кими (тана) мөвчуд олмушдур. Бу да мүәллифин фикринин дил фактларындан узаглашдырыны көстәрир. Һәр һансы бир дилин грамматикасыны елми ҹәнәтдән тәдгиг өтмәк үчүн ону тарихи иникишафда көтүрмәк вә онун тарихи кекләрине нәзәр салмаг лазымдыр.

Ф. Енкелс жазыр:

... Ана дилинин материјасы вә формасы ялныз о заман баша дүшүлә билир ки, онун дөгулушу вә тәдричән иникишафы изләнилсін, бу исә, әввәлән, онун өлкүнләшмиш олан өз формаларына, иккинчиси дә, яхын чанлы вә өлү дилләре нәзәр жетирилмәдән мүмкүн дејилдир³.

Фарс дилинин тарихи мугајисәли шәкилдә о заман өjrәnmәk олар ки, онун кечдији тарихи иникишаф дөврләринде мөвчуд олан жазылы абицәләрин дили тәдгигатчы үчүн айын олсун.

Фарс дили узун дөврләрин мәисуулудур. О өз тарихи иникишафы әрзинде 3.(үч) мәрһәлә кечмишdir: гәдим фарс дили, орта фарс дили, мұасир фарс дили. Фарс дилинин кечирдији бу тарихи иникишаф дөврләринде мөвчуд олан жазылы абицәләрин дили мұасир фарс дилинин тарихи мугајисәли шәкилдә өjrәnmәk үчүн гијмәтли материал мәнбәji, мұасир фарс дили вә онун диалектләри исә гәдим фарс дили үчүн мугајисә объектидир. Одур ки, мұасир фарс дилиндәки من әвәзлијинин мәншәјини Никола Растын дедији кими, миладын III әсрин-

¹ Н. Г. Микаэль. Личные местоимения в современном русском и грузинском языках (автореферат). Тбилиси, 1962.

² Никола Раств, сән. 16

³ Ф. Енкелс. Акти-Дүринг. Бокы, 1953, сән. 305.

дә, јә'ни орта фарс дилиндә дејил, бундан чох әввәл мөвчуд олан гәдим фарс дилиндә ахтармаг лазымдыр.

Никола Раств шәхс әвәзликләринин дикәр формаларынын мәншәјинин дә „من“ әвәзлији кими айры-айры тајфа адларындан тәшәккүл тапмасы фикрини ирәли сүрүр. Белә ки, мүәллиф иккичи шәхсии тәкини билдириән әвәзлији ديو сөзүндән, үчүнчү шәхсии тәкини ифадә едән һакимијәт сүрән مغان тајфасынын адындан вә с. тәшәккүл тапмасы фикрини сөләјир.

Фарс дилинин тарихи иникишаф дөврләринде мөвчуд олан җазылы абицәләрин дили үзәринде апарылан тәдгигатлар көстәрир ки, шәхс әвәзликләринин мұасир фарс дилиндәки формалары тарихән гәдим фарс дилиндәки җијәлик әвәзликләриндән тәшәккүл тапмашдыр.

Никола Раств шәхс әвәзликләринин از җонгошмасы илә ҹалагланан гејри-адлыг һалы формалары һаггында да дүзүкүн иәтичәjә кәлмәмишdir. Мүәллиф I, II вә III шәхсии тәкини формаларынын айры-айры тајфа адларындан тәшәккүл тапмасы фикрини сөләјәрәк ашағыдағы иәтичәjә кәлмишdir:

„Фарс дилиндә әвәзликләрин тәк һалыны билдириән гејри-адлыг һалы формалары да өзүнә охшар олан әвәзликләрин адлыг формаларындан дүзәлмәjib вә از җон шәкилчесинин артырылмасы јолу илә յаранмајыбыр“⁴.

Гәрибәdir ки, Н. Раств ҹонгошмасынын әвәзликләрин чәм формасына битишәрәк әмәлә кәтирдији мәмүн вә форманы грамматик чәhәтдән дүзүкүн һесаб едир, лакин һәмин сонгошманы тәк формалара битишәрәк յаратдыры мә'на вә форманы башга хүсуси адларла әлагәләндәрәк вә онларын өз адлыг һалы формалары илә олан әлагәсиини никәр едир.

Никола Раств шәхс әвәзликләриндән данышаркән тарихи фактлара дејил, фонетик охшарлығы нәзәрә алараг, әфсанәви һадисәләрә әсасланыр. Лакин бә'зән фонетик охшарлыг, јә'ни сөзләрин заһири формалары тәдгигатчыны дилин дахили иникишаф ганууларындан узаглашдырыр.

Гејд өтмәк лазымдыр ки, шәхс әвәзликләринин иникишаф ѡлларыны елми шәкилдә изаһ өтмәк үчүн фарс дилинин мүхтәлиф иникишаф дөврләринде мөвчуд олан жазылы абицәләрин дилиндә һәмин әвәзликләрин тарихи формаларына, грамматик вә фонетик хүсусијәтләринә нәзәр салмаг лазымдыр. Фарс дилинин тарихи иникишафы әрзинде бу дилин шәхс әвәзликләринде бир сырға јени хүсусијәтләр мәјдана кәлмиш, бә'зи хүсусијәтләр исә дилдән чыхмышдыр. Бә'зи көннән һә хүсусијәтләрин дилдән чыхмасы вә бир сырға јени хүсусијәтләрин յаранмасы иәтичәсендә әвәзлији гәдим дөврдәки формасы мұасир дилдә елә дәјишишdir ки, етимологи тәһлил олмадан онларын иникишафыны мүәjjәнләшdirмәк олмаз. Шәхс әвәзликләринин иникишаф ѡлларыны ялныз фарс дилинин мүхтәлиф дөврләринде мөвчуд олан жазылы абицәләрә мүрачиәт өтмәккә, дилдә յаранан грамматик вә фонетик гануулар әсасында тарихи мугајисәли шәкилдә өjrәnmәk вә елми сурэтдә тәһлил өтмәк мүмкүндүр.

Шәргшүасылыг Институту

⁴ Никола Раств, сән. 79.

Алышмышдыр 9. XII 1963

Некоторые критические заметки о книге Никола Раста
„Пейдаш-е замаер-е фарси“

РЕЗЮМЕ

Книга Никола Раста „Пейдаш-е замаер-е фарси“ посвящена происхождению личных местоимений в персидском языке. Автор представляет ее как научно-исследовательский труд. Но наименование книги противоречит содержанию. Так, в книге нет никакой научной трактовки о происхождении местоимений.

Никола Раст разделяет местоимения как с одинаковым, так и с разным происхождением, связывает их с мифологическими именами.

Никола Раст показывает образование местоимения *من* от *مانی*, употреблявшегося в III в. христианского летоисчисления в форме *مانی*; местоимения *او* от слова *دیو*; местоимения *وی* от наименования племени (*gug*), когда-то жившего в Иране; местоимения *وی* от наименования племени, жившего вдоль Волги и теперь носящего название *uvek*; местоимения *لـ* от наименования племени *مغان*, жившего на территории Ирана до династии Ахаменидов.

Научные исследования памятников, относящихся к различным историческим периодам персидского языка, показывают, что формы личных местоимений в современном персидском языке образовались от древних относительных местоимений.

Удивительно то, что автор, присоединяя предлог к местоимениям множественного числа, считает образованную от этого процесса форму правильной с грамматической точки зрения.

И лишь только присоединение этого предлога к единственному числу местоимений считает неправильной, связывая их с мифологическими именами. Никола Раст, говоря о личных местоимениях, опирается не на исторические факты, а учитывая некоторые фонетические сходства, на легендарные события.

Конечно, такое фонетическое сходство отделяет от внутренних законов развития языка.

Научно разобрать пути развития личных местоимений можно лишь обращаясь к письменным памятникам различных времен, учитывая грамматические и фонетические законы, а также путем исторических сравнений.

АРХЕОЛОКИЯ

Ш. ҆. САДЫГЗАДЭ

АБШЕРОНДА ТАПЫЛМЫШ ЖЕНИ АРХЕОЛОЖИ МАТЕРИАЛЛАР

(Азәрбајҹан ССР ЕА академики Ә. Ә. Әлизадә төгдим етмишdir)

Сон заманлар Азәрбајчанын мүхтәлиф йөрләриндә археологи экспедицијалар заманы республикамызын гәдим тарихини даһа да зәнкінләшdirә билән бир сырға гијмәтли материалларла бәрабәр, бөյүк елми әһәмийјәтә малик олан тәсадүфи тапынтылара, эсасән, тикнити вә тә'мир ишләри заманы даһа чох раст кәлимәк олур.

Сон заманлар Азәрбајчан тарих Музейинә республикамызын мүхтәлиф јөрләриндә әлдә әдилән тәсадүфи археологи материаллар һагында бир чох мә'лumat верилмишdir. Бу материаллар арасында елми әһәттән гијмәтли оланлардан бири дә Бинәгәди тапынтысыдыры.

Бу мәгаләдә әсас мәгсәдимиз Бинәгәди тапынтылары һагында мә'лumat вермәкдән ибарәтdir. Материаллар әсасән 539 нөмрәли нефт гүјусунун әсаслы тә'мири заманы үзә чыхмышдыры¹.

Азәрбајчан ССР Елмләр Академијасы тарих музеи материалларын тапылма шәраитини өјәнмәк мәгсәдилә һәмин җери елми әһәттән јохламыш вә гејдә алмышдыры².

Гәбир ачылдыры саһә јохланылан заман мә'лум олмушdur ки, тә'мир заманы кәшфијјат гүјусу газыларкән, екскаватор гәбири дағытышдыры. Она көрә дә дағыдылыш гәбириң ичәрисиндәки инсан скленин вәзијјәтини мүәјјәнләшdirмәк мүмкүн олмады.

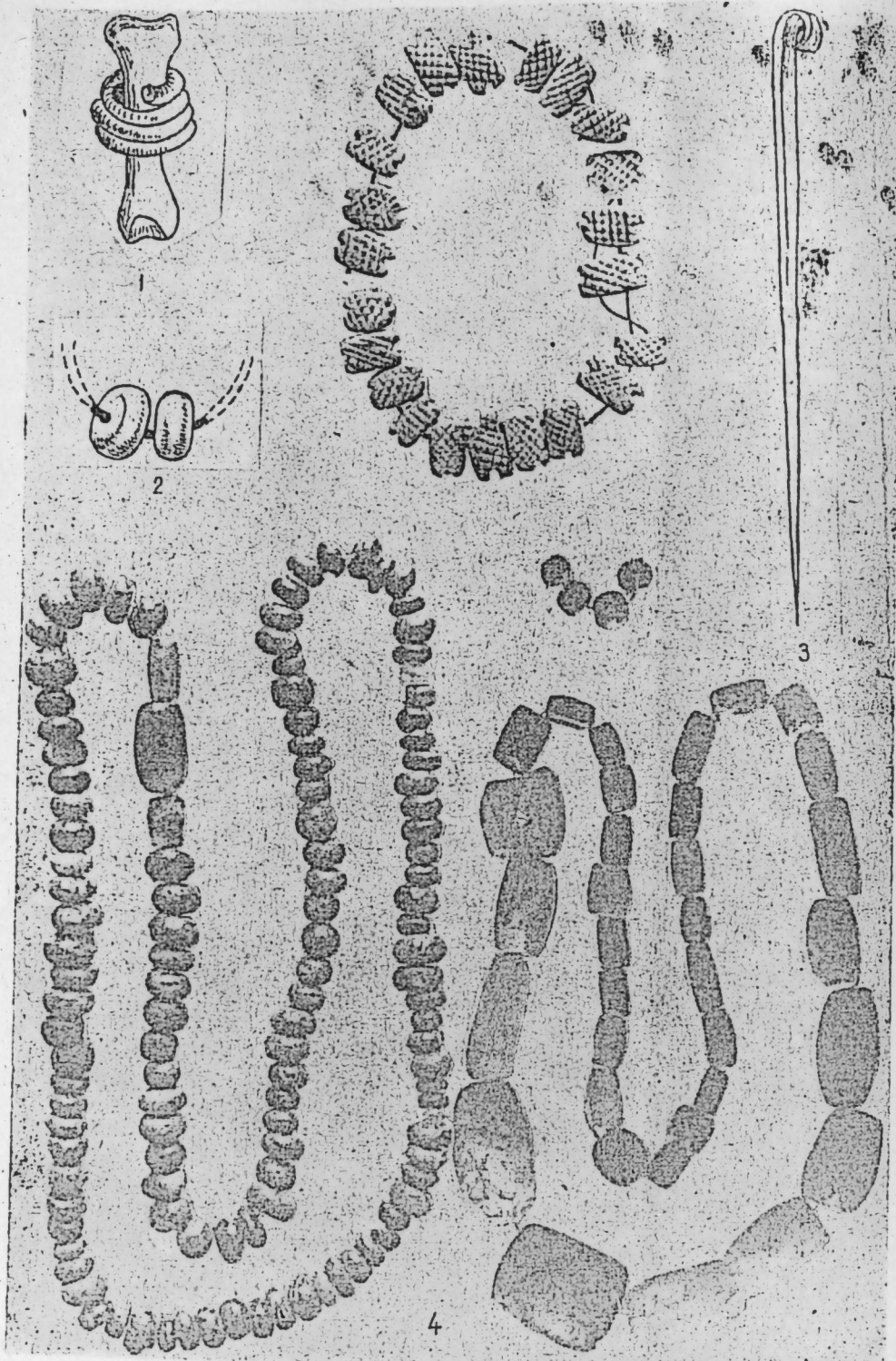
Садәче торпаг үзәриндә дәфи әдилмиш инсан сүмүкләри мүәјјән едиләркән, онун орта յашлы гадын олдуғу мә'лум олду³. Гәбирдә силаһын олмамасы буну бир даһа сүбут етди. Адәтән, Азәрбајчан әразисиндә газынтылар заманы тапылыш киши гәбирләринә аваданлыг илә бәрабәр силаһ да гојулмушdur. Гәбир аваданлығы ашағыда-кылардан ибарәтdir:

1. Түнч үзүк. Назик мәфтилдән сарғы үсулу илә дүзәлдилмишdir. Үзүк бармаг сүмүйү үзәриндә көтүрүлмүшdir. Үч сарғыдан ибәрт олан бу үзүйүн диаметри 2,3 см-дир. Охшар үзүк газынтылар за-

¹ Материалларын тапылмасы һагында илк мә'лumat Киров рајонунун 99 нөмрәли мәктәбиндән верилмишdir.

² Јохлама заманы мәгаләниин мүәллифи вә Азәрбајчан тарих Музейинин гәдим вә орта әсрләр шөбәсіндә кичик елми ишчи Н. Гулиев иштирак етмишdir.

³ Инсан сүмүйү Азәрбајчан ССР ЕА Тарих Институтунын баш елми ишчиси Гасымова тәрәфиндән мүәјјән едилмишdir. Скелетин кәллә сүмүйү скифләр дөврүнән Минкәчевирдән тапылыш кәлләләләрә охшардыр.



I табло

маны Минкәчевирдән⁴, Човдардан⁵, Күшчи кәндидән⁶ ашкар еди-
мишdir (I табло, 1-чи шәкил).

2. Тунч санчаг. Дөрдүнч шәкилдә олан бу санчағын баш һиссәси
ичәријә дөгру бурулараг дүзәлдилмишdir. Санчағын узуулуғу 12 см-
dir (I табло, 3-чү шәкил).

3. Йофун тунч чубугдан дүзәлдилмиш биләрзик (сыныг).

4. 200-ә гәдәр мұхтәлиф мүнчуглар. Бунлар халсадон, јашма вә
агатдандыры⁷. Үзәри тор шәклиндә нәгшләнмиш көј рәнкли агат мүн-
чуглар даһа мараг-
лыдыр. Азәрбајчанда
археоложи газынты-
лар заманы белә
охшар мүнчуглар
Минкәчевирдән та-
пылмышдыр. Анчаг
онлар пастадандыры⁸
(I табло, 4-чү шә-
кил).

5. Назик тунч
мәфтил үзәриндә
дүзүлмүш ири әгиг
мүнчуглар. Бунун
биләрзик олмасы кү-
ман едилир (I таб-
ло, 2-чи шәкил).
Белә үзәринә мүнчуг
дүзүлмүш биләрзик-
ләр һәләлик надир
тапынтылардандыр.
Лакин буна охша-
рыны J. И. Һуммел
Ханлардан әлдә ет-
мишdir. Ханлардан
тапылмыш биләрзик
бир гәдәр фәргли-
дир⁹.

6. Бәзәк әшжаларындан башга, габ гырыглары әлдә едилишdir.
Бунлар боз вә гырмызы рәнкли олуб, ики мұхтәлиф габа андидir.
Һәр ики габ јасты вә кениш отурачага маликдир. Габлардан биринин
тапылышы дүз, дикәринин исә ағзының кәнары азча жана мејл едиr (2
табло, 2-чи шәкил).

Геjd етмәк лазымдыр ки, һәлә Бинәгәди тапынтысындан әvvәл,
1962-чи илин нојабр айында Шүвәландан Гала кәндидә кедән ѡолун
шишмал-гәрбиндә гәдим бир гәбиәр тәсадүф едилишdir¹⁰.

⁴ Г. М. Асланов, Р. М. Вандов, Г. И. Ионе. Древний Мингечаур, Бакы 1959, табло, XX, 7.

⁵ Д. Шарифов. Раскопки близ с. Човдар Гянджинского уезда, Изв. Азкомстариса, 4-чү бурахылыш, Бакы, 1926, сәh. 256.

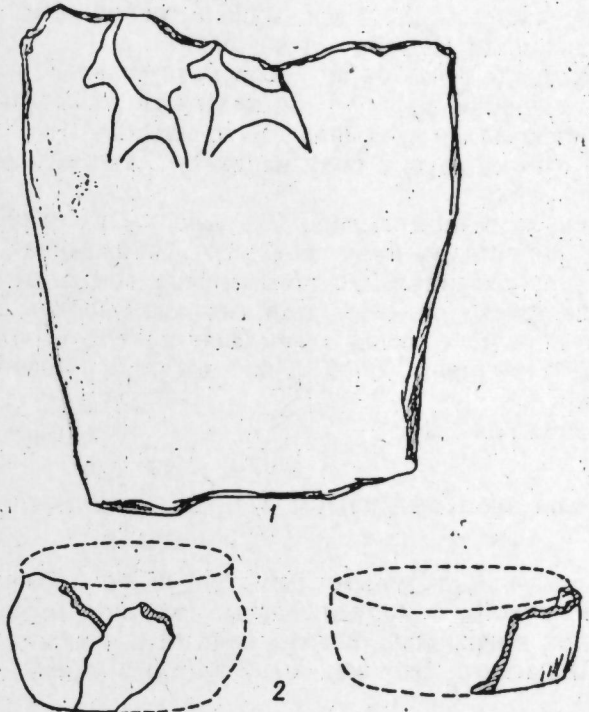
⁶ Я. И. Гуммел. Археологические очерки, Бакы, 1940, сәh. 138, фиг. 4, № 30.

⁷ Мүнчугларын тәркибини мүәјжән едән Азәрбајҹан ССР ЕА ҆еолокија Институты
тунда лабораторија рәһбәри проф. Ч. М. Сулејманова тәшәккүрүмү билдирирәм.

⁸ Г. М. Асланов, Р. М. Вандов, Г. И. Ионе. Көстәрилән эсәри, табло, XXXVIII, 7.

⁹ Я. И. Һуммел. Көстәрилән эсәри, сәh. 45, фиг. 18, № III—6.

¹⁰ Материалларын тапылмасы нағында мә'лumat кәндидин 70 јашлы сакини Гасы-
ров Эмирәли тәрәфийнен верилмишdir.



2-чи табло

Бу гәбир галын гум лајлары алтындан гумун дашынмасы нәтичәсіндә үзә чыхмыш, кениш гәбиристанлығын әразисіндә јерләшир. Гәбирләр ин әксәрийети даш гутулардан ибартады.

Гәбиристанлығы нәзәрдән кечирәркән пәракәндә шәкилдә яјылмыш мұхтәлиф рәнкли габ гырынтылары, мұхтәлиф туллантылар, бир неча әгиг мунчуг топлаја билдик¹¹.

Һәм мин материаллар арасында һүндүрлүјү 1,18 м, ени 85 см, галының 25 см олан бөյүк гәбир дашларындан бириңин үзәринде һәкк едилмиш, бир-бириңин архасынча дуран ики кечи тәсвири бөйүк мараг кәсб едир. Һәм мин тәсвири гәбириң йан дашларындан бириңин үзәринде иди (II табло, 1-чи шәкил).

Үзәринде 10-а гәдәр белә кечи тәсвиirlәри һәкк едилмиш гәбир дашы бириңчи дәфә Артjom адасындан тапылмышды¹².

Материаллар арасында бу охшарлыг Шүвәландан тапылмыш абыдәни түнч дөврүнүн сону вә дәмир дөврүнүн әvvәлләrinә анд етмәје имкан верир.

Бинәгәди тапынтылары бир даһа сүбүт едир ки, Абшерон йарымадасы һәлә гәдим түнч дөврүнүн сонларындан инсанларын јашаыш мәскәни олмушшур. Бу тапынтылары әсасен демәк олар ки, јашаыш бурада бәлкә дә гејд етдијимиз дөврләрдән чох әvvәл олмушшур. Кәләчәкдә бу әразидә апарылачаг археологи газынтылар Абшеронун гәдим тарихинин даһа дәрин вә дәгиг өjrәнилмәсинә имкан верәчәкдир.

Азәрбајҹан Тарих Музейи

Алынышдыр 8. V 1963

Ш. Г. Садых-заде

Новые археологические находки на Апшеронском полуострове РЕЗЮМЕ

В связи с земляными работами на Апшеронском полуострове довольно часто обнаруживаются археологические находки. Из таких находок в последнее время цennыми и интересными являются находки в с. Бинагады. Это женское грунтовое погребение с богатым инвентарем.

К сожалению, погребение разрушено экскаватором. Собрано из этой могилы около 200 разных бус: из яшмы, агата и сердолика. Браслет из тонкой бронзовой проволоки с нанизанными на него сердоликовыми бусами; колечко из бронзы в виде спирали, бронзовая булавка, два фрагмента бронзового браслета круглого сечения с ѿмкнутыми концами. Имеется много фрагментов керамических изделий серого и красно-бурого цвета, по которым восстанавливается форма сосудов.

Кроме с. Бинагады интересные находки обнаружены также в 1962 г. около песчаного карьера (на северо-западной стороне дороги, идущей из с. Шувеляны в с. Кала). Здесь разрушены при работах каменные ящики. На одной из боковых плит погребения имеется изображение козы. Бинагадинские и Шувелянские находки примерно одновременные. Они перекликаются с последним периодом Ходжалы-Кедабекской культуры. Эти находки говорят о том, что еще в первой половине I тыс. до н. э. на Апшеронском полуострове жили племена, имеющие довольно высокую культуру. Изучение указанных находок окажет большую помощь в освещении древнейшей истории Апшеронского полуострова.

¹¹ Гәбиристанлыг һагында мә'лumat топлајаркән Э. Гасымов биз һәлә балача ушагикән бу саңәдә ојнајаркән чохлу мәрчан топладыбындан данышды. Тәэссүф олсун

¹² И. М. Чәфәрзәдә. Археологические разведки на Апшероне. Азәрбајҹан

ССР ЕА Хәберләри, 1948, № 6, сән. 91,2-чи шәкил.

МУНДӘРИЧАТ

Ријазијјат

С. J. Jagubov. Ниперболик тип еволюсиян тәнликләр үчүн Коши мәсәләсіннән тәдгиги

С. X. Шаташвили. Гәрарлашмыш еластик рәгс нәзәријәсіннән әсас гашышыг фәза мәсәләси

С. M. Надыев, E. M. Симкин. Дәјишән тәзіглі ерозионлу һидроҷаражанла жаранан истиғамәтли һидравлик јарылма

Үзви кимја

Э. M. Гулиев, Э. h. Зулфугарова. Алифатик сыра карбоидрокендериндән алкил-диоксанларын синтези

С. Ч. Мендиев, О. A. Нәриманбәјов. Қарбонил бирләшмәләrinин Бухар фазасында спиртләрлә редуксија реаксијасы

Аналитик кимја

І. Б. Шантактишки, Е. Э. Чәфәров, Һ. Э. Шәкәров. Алунитләrin комплекс е'малы просесинде галлиумун чыхарылмасы

Нефт қеолокијасы

A. C. Рәһимов. Тәртәр вә Араз чајарасында (К. Гафгазын Ш. Шр. јамағы) Уст Юранын нефтлилиji һагында

Кеолокија

M. R. Abdullaev. Чатма-Көйчә антиклиниориси зонасынын сармат мәртәбәси чөкүнтуләrinidә битумун вә үзви карбонун пајланмасы мәсәләсінә дайр

Агрокимја

A. O. Мәммәдов. Нефт бој маддәсінин пахлалы јем биткиләrinин кимјәви тәркиби вә јем вайидинә тә'сирі

Селексија

I. K. Abdullaev. Јени селексија тут ағачы сорту Jagub-тут

M. Э. Мәммәдов. Азәрбајҹанда јени чај сортлары

Физиолокија

A. G. Tagyjeva. Мәркәзи синир системинин ојанмыш вәзијјәтинде мә'дә ресепторларынын гычыгандырылмасынын дәринин кечиричилүүнә тә'сирі

3

7

19

29

33

39

45

55

59

35

СОДЕРЖАНИЕ

Математика

С. Якубов. Исследование задачи Коши для эволюционных уравнений гиперболического типа	3
С. Х. Шаташвили. Пространственная основная смешанная задача теории установившихся упругих колебаний	7
И. Ибрагимов. Неравенства для целых функций конечной степени в метрике обобщенного пространства Лебега	13

Разработка

С. М. Гадиев, Э. М. Сымкин. Направленный гидроразрыв эрозионной гидроструей переменного давления	19
--	----

Органическая химия

А. М. Кулиев, А. Г. Зульфугарова. Синтез и исследование алкил-м-диоксанов	29
С. Д. Мехтиев, О. А. Наримаibеков. Реакция парофазного восстановления карбонильных соединений спиртами	33

Аналитическая химия

Г. Б. Шахтахтинский, Э. А. Джагаров, Г. А. Шакаров. Выбор метода извлечения галлия в процессе комплексной переработки алюминитов	39
--	----

Геология нефти

А. С. Рагимов. О возможной нефтегазоносности верхней юры в между-речье Тертер и Аракс (северо-восточное предгорье М. Кавказа)	45
---	----

Геология

М. Р. Абдуллаев. К вопросу распределения битумов и органического углерода в отложениях сарматского яруса в зоне Чатмино-Геокчайского антиклинария	51
---	----

Агрохимия

М. О. Мамедов. Влияние применения НРВ путем опрыскивания на химический состав и кормовой единицы бобовых трав	55
---	----

Селекция

И. К. Абдуллаев. Новый ценный сорт шелковицы Ягуб-тут	59
М. А. Мамедов. Новые сорта чая в Азербайджане	65

Физиология

А. Г. Тагиева. Влияние раздражения рецепторов желудочка на проницаемость кожи на фоне возбуждения центральной нервной системы 71

Языкоизнание

Дж. Садыгова. Некоторые критические заметки о книге Никола Раста «Пейдаеш-е замаер-е фарса» 77

Археология

Ш. Г. Садых-заде. Новые археологические находки на Апшеронском полуострове 81

МҮЭЛЛИФЛӘР ҮЧҮН ГАЙДАЛАР

1. «Азәрбајҹан ССР Елмләр Академијасынын Мә'рүзәләри»ндә баша чатдырылыш, лакин һәлә башига јердә чап етдирилмәмиш олан эмэли вә иәзәри әһәмијјәтә малик елми тәдгигатларын иәтичәләринә аид гыса мә'луматлар дәрч олуңур.

Механики сурәтдә бир иечи кичик мә'лумата бөлүмүш ири мәгаләләр, ичәриسىндә һеч бир јени фактни материал олмајан вә мүбәнис харақтери дашијан мәгаләләр, мүәјјән иәтичәси вә үмүмилашыричи јекуну олмајан јарымчыг тәчрүбәләрин тәсвири олуңдугу мәгаләләр, тәсвири, яхуд ичмал харақтери дашијан, гејри-принципиал эсәрләр, сырф методик мәгаләләр (екәр бу мәгаләләрдә тәклиф олунаң метод тамамилә јени дејилсә), елм үчүн сон дәрәчә мараглы олан тапынтыларын тәсвири истина едиilmәклә, биткиләрин вә һөјвандарын систематикасына даир мәгаләләр «Мә'рүзәләр»дә дәрч олуимур.

«Мә'рүзәләр»дә дәрч олуимуш мәгаләләр сонрадан даһа кениш шәкилдә башга иәшрләрдә чап едила биләр.

2. «Мә'рүзәләр»дә чап олуңмаг үчүн верилән мәгаләләр јалиыз һәмин ихтисас үзәк академик тәрәфиндән тәгдим едиildикдән сонра журналын Редаксија һөј'етинде мүзакирәје гојулур.

Азәрбајҹан ССР Елмләр Академијасы мүхбир үзүләринин мәгаләләри һәмин ихтисас үзәк академиккүн тәгдиматы олмадан гәбул едилир.

Журналын Редаксија һөј'ети академикләрдән хәниш едир ки, мәгалә тәгдим едәркән һәмин мәгаләнин мүәллифдән алымна тарихини, набелә журналда мәгаләнин јерләшдирилмәли олдугу елми бөлмәнин адьны мутләг көстәрсиләр.

3. «Мә'рүзәләр»дә һәр мүәллифи илдә 3-дән артыг мәгаләси дәрч олуимур; Азәрбајҹан ССР ЕА, академикләрнин илдә 8 мәгалә, мүхбир үзүләрин исә илдә 4 мәгалә чап етдирилән һүгугу вардыр.

4. «Мә'рүзәләр»дә чап олунаң мәгаләнин һәчми, шәкилләр дә дахил олмагла, бир мүәллиф вәрэгинин дөрдә бириндей, јәни макинәдә јазылмыш 6—7 сәнифәдәг (10.000 чап ишаресиндән) артыг олмамалыдыр.

5. Азәрбајҹан дилинда јазылмыш мәгаләнин сонунда рус дилинде, русча јазылмыш мәгаләнин сонунда исә Азәрбајҹан дилинде гыса хұласа верилмәлиди.

6. Мәгаләнин сонунда һәмин тәдгигат ишинин апарылмын олдугу елми мүәссесинин адьы вә мүәллифи телефон нөмрәси көстәрilmәлиди.

7. Елми мүәссесиеләрдә апарылмын тәдгигат ишләринин иәтичәләрини чап етдириләк үчүн һәмин мүәссесинин мүдирийжеттән ичәзә вермәлиди.

8. Мәгаләләр (хұласа дә дахил олмагла) макинәдә сәнифәнин бир үзүндә икى интервалла јазылмалы вә икى нұксада журналын редаксијасына тәгдим едиildи. Формулалар дүрүст вә аждын јазылмалыдыр; бу һалда гара ғәләмә кичик һәрфләрин үстүндә, бөյүк һәрфләрин исә алтындан икى чызыг өзекилмәлиди.

9. Мәгаләдә ситет кәтирилән әдәбијјат сәнифәнин ашагысында чыкыши шәклиндә дејил, мәгаләнин сонуна әлавә едилен әдәбијјат сијаһысында, һәм дә мүәллифләрни фамилијасы үзәк элифба сырасы илә верилмәли вә мәтнин ишаресинде бу, яри қолдикча, сыра нөмрәси илә көстәрilmәлиди. Әдәбијјат сијаһысы ашагыдағы гајдада тәртиб едиilmәлиди.

а) к и т а б л а р ү чү и: мүәллифин фамилијасы вә иинисиалы (ады вә атасынын адьныны баш һәрфләри), китабын ады, чилдин нөмрәси, иәшр олуңдугу јерин вә иәшириjатын адьы, иәшр олуңдугу ил;

б) мәчмүәләрдә (әсәрләрдә) чап олуимуш мәгаләләр ү чү и: мүәллифин фамилијасы вә иинисиалы, мәгаләнин ады, мәчмүәнин (әсәрләрин) адьы, чилдин, бурахылышины нөмрәси, иәшр едиildи жерин вә иәшириjатын адьы, иәшр олунаша или вә сәнифа нөмрәси;

в) ж у р и а л мәгаләләри ү чү и: мүәллифин фамилијасы вә иинисиалы, мәгаләнин адьы, журналын адьы, иәшр олунаша или, чилдин вә журналын нөмрәси (бурахылыши нөмрәси) вә сәнифа.

Нәшр олуңмамыш әсәрләрә иснад етмәк олмаз (елми мүәссесиеләрдә саҳланылсан һесабатлар вә диссертасијалар мүстәспадыр).

10. Шәкилләрин далында мүәллифин фамилијасы, мәгаләнин адьы вә шәклини нөмрәси көстәрilmәлиди. Шәкилләтү сөзләри макинәдә јазылмыш, ајрыча сәнифәләр верилмәлиди.

11. Редаксија мүәллифә өз мәгаләсindән 25 ајрыча нұхә верир.

Чапа имзалаңмыш 10/VI 1964-чу ил. Кағыз форматы 70×108^{1/16}. Кағыз вәрәги 2,75. Чап вәрәги 7,54. Иес.-иәшириjјат вәрәги 6,30. ФГ 05138. Сифариш 211. Тиражы 900. Гијмети 40 гәп.

Азәрбајҹан ССР Назирләр Совети Дәвләт Мәтбуат Комитәсинин «Елм» мәтбәеси. Бакы, Фәhlә проспекти, 96.

ПРАВИЛА ДЛЯ АВТОРОВ

1. В «Докладах Академии наук Азербайджанской ССР» помещаются краткие сообщения, содержащие законченные, еще не опубликованные результаты научных исследований, имеющих теоретическое или практическое значение.

2. В «Докладах» не публикуются крупные статьи, механически разделенные на ряд отдельных сообщений, статьи полемического характера без новых фактических данных, статьи с описанием промежуточных опытов без определенных выводов и обобщений, работы: иерархические, описательного или обзорного характера, чисто методические статьи, если предлагаемый метод не является принципиально новым, а также статьи по систематике растений и животных (за исключением описания особо интересных для науки находок).

Статьи, помещаемые в «Докладах» не лишают автора права последующей публикации того же сообщения в развернутом виде в других изданиях.

3. Поступающие в «Доклады» статьи рассматриваются Редакционной коллегией только после представления их академиком по специальности.

Статьи членов-корреспондентов Академии наук Азербайджанской ССР принимаются без представления.

Редакция просит академиков при представлении статьи указывать дату получения ее от автора, а также наименование раздела, в котором статья должна быть помещена.

3. В «Докладах» публикуется не более трех статей одного автора в год. Для академиков устанавливается лимит 8 статей, а для членов-корреспондентов Академии наук Азербайджанской ССР — 4 статьи в год.

4. «Доклады» помещают статьи, занимающие не более четверти авторского листа, около 6—7 страниц машинописью (10 000 печатных знаков), включая рисунки.

5. Статьи, написанные на азербайджанском языке, должны иметь резюме на русском языке и наоборот.

6. В конце статьи должны быть указаны название научного учреждения, в котором произведена работа, и номер телефона автора.

7. Опубликование результатов работ, проведенных в научных учреждениях, должно быть разрешено дирекцией научного учреждения.

8. Статьи (включая и резюме) должны быть написаны на машинке через два интервала на одной стороне листа и представляются в двух экземплярах. Формулы должны быть вписаны четко и ясно, и при этом прописные буквы должны быть подчеркнуты (черным карандашом) двумя черточками снизу, а строчные — сверху; буквы греческого алфавита надо обводить красным карандашом.

9. Цитируемая в статье литература должна приводиться не в виде подстрочных списков, а общим списком (без новостройки), в алфавитном порядке (по фамилии автора), в конце статьи с обозначением ссылки в тексте порядковой цифрой. Список литературы должен быть оформлен следующим образом:

а) для книг: фамилия и инициалы автора, полное название книги, номер тома, город, издательство и год издания;

б) для статей в сборниках (трудах): фамилия и инициалы автора, заглавие статьи, название сборника (трудов), том, выпуск, место издания, издательство, год, страница;

в) для журнальных статей: фамилия и инициалы автора, заглавие статьи, название журнала, год, том, номер (выпуск), страница.

Ссылки на неопубликованные работы не допускаются (за исключением отчетов, диссертаций, хранящихся в научных учреждениях).

10. На обороте рисунков должны быть указаны фамилии автора, название статьи и номер рисунка. Отпечатанные на машинке подпись к рисункам представляются на отдельном листе.

11. Редакция выдает автору бесплатно 25 отдельных оттисков статьи.